

لَنْ يَخْرُجُ مِنْ حَلَّ



دانشکده مهندسی مکانیک  
گروه طراحی کاربردی

پایان نامه جهت اخذ درجه کارشناسی ارشد

آنالیز تماس دینامیکی برای یک تیر غیرخطی اویلر-برنولی تحت کشش، با یک سیستم  
جرم و فنر متحرک

دانشجو:

محمد هروی

استاد راهنما:

اردشیر کرمی محمدی

شهریور ۹۳



شماره:

تاریخ:

ویرایش:

با اسمه تعالی

مدیریت تحصیلات تکمیلی

فرم شماره (۶)

### فرم صورت جلسه دفاع از پایان نامه تحصیلی دوره کارشناسی ارشد

با تأییدات خلاوند متعال و با استعانت از حضرت ولی عصر (عج) نتیجه ارزیابی جلسه دفاع از پایان نامه کارشناسی ارشد آقای محمد هروی رشته مهندسی مکانیک گرایش طراحی کاربردهی تحت عنوان آنالیز تنش دینامیکی یک تیز غیر خطی اوپلر-برنولی تحت کشش، با یک سیستم جرم و فنر متحرک که در تاریخ ۱۳۹۳/۰۶/۲۱ با حضور هیأت محترم داوران در دانشگاه صنعتی شهرورد برگزار گردید به شرح ذیل اعلام می‌گردد:

<input type="checkbox"/> قبول (با درجه: <b>امتیاز ۱۷,۵۸</b> )	<input checked="" type="checkbox"/> دفاع مجدد	<input type="checkbox"/> مردود
۱- عالی (۱۹ - ۲۰) ۲- سیار خوب (۱۸ - ۱۸/۹۹) ۳- خوب (۱۷ - ۱۶) ۴- قابل قبول (۱۵/۹۹ - ۱۴) ۵- نمره کمتر از ۱۴ غیر قابل قبول		

عضو هیأت داوران	نام و نام خانوادگی	مرتبه علمی	امضاء
۱- استاد راهنمای	اردشیر کرمی محمدی	استادیار	
۲- نماینده شورای تحصیلات تکمیلی	رضا طاهریان	استادیار	
۳- استاد ممتحن	مهندی بامداد	استادیار	
۴- استاد ممتحن	حسب احمدی	استادیار	

رئیس دانشکده: محمد محسن شاه مردان



تقدیم به:

پیشگاه مقدس امام زمان (عج) و مقام والای شهدای

هشت سال دفاع مقدس که امنیت جامعه در گرو خون

آن هاست.

شهید مهدی هروی پدر عزیزم، مادر گرانقدر و همسر

فداکارم

تشکر و قدر دانی:

از استاد گرانقدر جناب آقای دکتر  
اردشیر کرمی محمدی به خاطر راهنمایی های  
بی دریغشان.

همسر عزیزم که همواره در این راه یاریم  
کرده است.

# تعهد نامه

اینجانب محمد هروی دانشجوی دوره کارشناسی ارشد رشته مکانیک گرایش طراحی کاربردی دانشکده مکانیک دانشگاه صنعتی شاهرود نویسنده پایان نامه آنالیز تماس دینامیکی برای یک تیر غیرخطی اوپلر-برنولی تحت کشش، با یک سیستم جرم و فنر متحرک تحت راهنمایی دکتر اردشیر کرمی محمدی متعهد می‌شوم.

- تحقيقات در این پایان نامه توسط اینجانب انجام شده است و از صحت و اصالت برخوردار است.
- در استفاده از نتایج پژوهش‌های محققان دیگر به مرجع مورد استفاده استناد شده است.
- مطلوب مندرج در پایان نامه تاکنون توسط خود یا فرد دیگری برای دریافت هیچ نوع مدرک یا امتیازی در هیچ جا ارائه نشده است.
- کلیه حقوق معنوی این اثر متعلق به دانشگاه صنعتی شاهرود می‌باشد و مقالات مستخرج با نام «دانشگاه صنعتی شاهرود» و یا «Shahrood University of Technology» به چاپ خواهد رسید.
- حقوق معنوی تمام افرادی که در به دست آمدن نتایج اصلی پایان نامه تأثیرگذار بوده‌اند در مقالات مستخرج از پایان نامه رعایت می‌گردد.
- در کلیه مراحل انجام این پایان نامه، در مواردی که از موجود زنده (بافت‌های آن‌ها) استفاده شده است ضوابط و اصول اخلاقی رعایت شده است.
- در کلیه مراحل انجام این پایان نامه، در مواردی که به حوزه اطلاعات شخصی افراد دسترسی یافته یا استفاده شده است اصل رازداری، ضوابط و اصول اخلاق انسانی رعایت شده است.

## تاریخ

### امضای دانشجو

### مالکیت نتایج و حق نشر

- کلیه حقوق معنوی این اثر و محصولات آن (مقالات مستخرج، کتاب، برنامه‌های رایانه‌ای، نرم افزارها و تجهیزات ساخته شده است) متعلق به دانشگاه صنعتی شاهرود می‌باشد. این مطلب باید به نحو مقتضی در تولیدات علمی مربوطه ذکر شود.
- استفاده از اطلاعات و نتایج موجود در پایان نامه بدون ذکر مرجع مجاز نمی‌باشد.

### **چکیده:**

در این پایان‌نامه، مسأله ارتعاشات تیر در حال کشش و تماس دینامیکی با سیستم جرم و فنر متحرک مورد بررسی قرار گرفته است. با استفاده از تئوری اویلر برونلی، کرنش‌های فن کارمن و اصل همیلتون معادلات حرکت برای حالت خطی و غیرخطی به‌دست می‌آیند. معادلات حاکم بر مسأله تماس دینامیکی، دو دستگاه معادلات دیفرانسیل می‌باشند، که برای زمان تماس، ضرایب معادلات متغیر ولی در زمان جدایش، ضرایب معادله‌ها ثابت هستند. با استفاده از روش گالرکین معادلات با مشتقات معمولی تابع زمان به‌دست آمده و با در نظر گرفتن جمله اول از روش رانجه کوتا مرتبه ۴ حل می‌گردد. مقدار نیروی تماسی و خیز برای شرایط مرزی تیر در حال کشش در حالت‌های تکیه‌گاه دو سر ساده، دو سر گیردار و یکسر گیردار یکسر ساده محاسبه شده است. تأثیر متغیرهای کشش، سرعت و نسبت ضریب فریت به جرم متحرک، در حالت بی‌بعد بر نیروی تماسی و خیز برای حالت یکسر گیردار یکسر ساده مورد بررسی قرار می‌گیرد. مفهوم پرش بین تیر و سیستم جرم و فنر بررسی شده و نتیجه مسأله در حالت خطی و غیرخطی مقایسه شده است و دقت روش در حالت خطی با نتایج اجزا محدود بررسی می‌گردد.

### **کلمات کلیدی:**

ارتعاشات تیر، جرم و فنر متحرک، تماس دینامیکی، روش گالرکین، دستگاه معادلات با ضرایب متغیر

فهرست مقاله‌های مستخرج شده از پایان‌نامه

تحلیل ارتعاشات و جدایش در سیستم تیر در حال کشش و جرم و فنر متحرک (فرستاده  
شده)

## فهرست مطالب

عنوان	صفحه
فصل اول : تاریخچه و مرور مقالات	۱
۱-۱- مقدمه	۲
۱-۲- اجزای سازه	۳
۱-۳- غیرخطی	۴
۱-۴- تاریخچه	۶
۱-۵- کاربرد مسأله تماس دینامیکی	۶
۱-۵-۱- پانتوگراف	۷
۱-۵-۱-۱- اجزای پانتوگراف	۸
۱-۵-۲- جاروبک	۸
۱-۵-۳- فنر پانتوگراف	۹
۱-۵-۴- ویژگی های پانتوگراف	۱۰
۱-۶- مروری بر مقاله های بررسی شده	۱۰
۱-۷- جمع بندی	۱۲
فصل دوم: استخراج معادلات حرکت	۱۳
۱-۲- مقدمه	۱۴
۲-۲- تعریف مسأله	۱۴
۲-۳- محاسبه انرژی پتانسیل	۱۶
۲-۴- محاسبه انرژی جنبشی	۱۶
۲-۵- کار نیروهای خارجی	۱۷
۲-۶- تعیین معادلات حرکت با استفاده از اصل همیلتون	۱۷
۲-۷- قید تماس دینامیکی	۱۸
۲-۸- جمع بندی	۲۰
فصل سوم: معادلات خطی و حل	۲۱
۳-۱- مقدمه	۲۲
۳-۲- معادلات حرکت خطی	۲۲
۳-۳- بی بعد سازی	۲۴
۳-۴- روش گالرکین	۲۶
۳-۵- شرایط اولیه	۲۸
۳-۶- تابع گالرکین	۲۹
۳-۷- محاسبه ضرایب	۲۹
۳-۸- حل معادلات معمولی	۳۰
۳-۸-۱- کاهش مرتبه معادلات	۳۲
۳-۸-۲- حل دستگاه معادله	۳۳
۳-۹- جمع بندی	۳۴

۳۷.....	فصل چهارم: معادلات غیرخطی و حل آنها
۳۸.....	۱- مقدمه .....
۳۸.....	۲- معادلات حرکت غیرخطی .....
۳۹.....	۳- معادلات بی بعد غیرخطی .....
۴۰.....	۴- روش گالرکین .....
۴۲.....	۵- حل معادلات معمولی .....
۴۳.....	۶- کاهش مرتبه معادلات .....
۴۳.....	۷- حل دستگاه معادله .....
۴۴.....	۸- جمع‌بندی .....
۴۵.....	فصل پنجم: شبیه‌سازی و نتایج .....
۴۶.....	۱- مقدمه .....
۴۶.....	۲- مسئله عددی .....
۴۸.....	۳- نتایج .....
۴۹.....	۱-۱- تحلیل خطی .....
۵۰.....	۱-۱-۱- اعتبار سنجی .....
۵۱.....	۱-۱-۲- شرایط مرزی .....
۵۳.....	۱-۱-۳- پرش .....
۵۴.....	۱-۱-۳-۵- تأثیر متغیرها بر حل مسئله تماس دینامیکی خطی .....
۵۵.....	۱-۱-۴-۱- تغییرات سرعت .....
۵۷.....	۱-۲-۴-۱- تغییرات کشش طولی تیر .....
۵۹.....	۱-۳-۴-۱- تغییرات ضریب فربیت پانتوگراف .....
۶۱.....	۲-۳-۵- تحلیل غیرخطی .....
۶۲.....	۱-۲-۳- شرایط مرزی .....
۶۴.....	۲-۲-۳- پرش .....
۶۵.....	۳-۲-۳- تأثیر متغیرها بر حل مسئله تماس دینامیکی غیرخطی .....
۶۵.....	۱-۳-۲-۳- تغییرات سرعت .....
۶۷.....	۲-۳-۲-۳- تغییرات کشش طولی تیر .....
۶۹.....	۳-۲-۳- تغییرات ضریب فربیت پانتوگراف .....
۷۰.....	۳-۳-۵- مقایسه تحلیل خطی با غیرخطی .....
۷۲.....	۴- جمع‌بندی .....
۷۳.....	فصل ششم: نتیجه‌گیری و پیشنهادها .....
۷۴.....	۱- مقدمه .....
۷۴.....	۲- نتیجه‌گیری .....
۷۵.....	۳- پیشنهادها .....
۷۷.....	منابع .....

## فهرست شکل‌ها

..... شکل (۱-۱) الف) پانتوگراف در شبکه بالاسری ب) ریل سوم	۷
..... شکل (۲-۱) جاروبک زغالی پانتوگراف	۹
..... شکل (۳-۱) قوس الکتریکی در میان شبکه بالاسری و پانتوگراف	۹
..... شکل (۴-۱) فنر پانتوگراف	۱۰
..... شکل (۱-۲) نمای شماتیک مسأله تماس دینامیکی	۱۴
..... شکل (۱-۵) تماس با شبکه بالاسری در خط قطارهای پر سرعت چین همراه با (جنس، سطح مقطع، طول و مقدار حداکثر سرعت)	۴۶
..... شکل (۲-۵) مقدار خیز بی بعد تیر خطی در حالت یکسر گیردار یکسر ساده (c-p) و سیستم جرم و فنر بر حسب مکان بی بعد	۴۹
..... شکل (۳-۵) مقدار پرش بی بعد تیر خطی در حالت یکسر گیردار یکسر ساده (c-p) از سیستم جرم و فنر بر حسب زمان بی بعد	۴۹
..... شکل (۴-۵) مقدار نیروی تماسی بی بعد بین تیر خطی و سیستم جرم و فنر بر حسب مکان بی بعد	۵۰
..... شکل (۵-۵) مقایسه خیز تیر با مرجع [۱۹] در حالت یکسر درگیر یکسر ساده	۵۱
..... شکل (۶-۵) مقایسه نیروی تماسی با مرجع [۱۹] در حالت یکسر درگیر یکسر ساده	۵۱
..... شکل (۷-۵) مقایسه خیز تیر بر حسب مکان بی بعد برای تیر خطی در شرایط مرزی تکیه‌گاه گیردار ساده (c-p)، تکیه‌گاه ساده ساده (p-p) و تکیه‌گاه گیردار-گیردار (c-c)	۵۲
..... شکل (۸-۵) مقایسه نیروی تماسی بر حسب مکان بی بعد برای تیر خطی در شرایط مرزی تکیه‌گاه گیردار ساده (c-p)، تکیه‌گاه ساده ساده (p-p) و تکیه‌گاه گیردار-گیردار (c-c)	۵۲
..... شکل (۹-۵) مقایسه مقدار جدایش بین سیستم جرم و فنر و تیر در حال کشش بر حسب مکان بی بعد در شرایط مرزی تکیه‌گاه گیردار ساده (c-p)، تکیه‌گاه ساده ساده (p-p) و تکیه‌گاه گیردار-گیردار (c-c)	۵۳
..... شکل (۱۰-۵) مقایسه خیز تیر بر حسب مکان بی بعد با جدایش در طول تیر و در حالت تماس دائم در طول تیر با تکیه‌گاه گیردار ساده (c-p)	۵۴
..... شکل (۱۱-۵) مقایسه نیروی تماسی بر حسب مکان بی بعد با جدایش در طول تیر و در حالت تماس دائم در طول تیر خطی با تکیه‌گاه گیردار ساده (c-p)	۵۴
..... شکل (۱۳-۵) اثر تغییرات سرعت بر مقدار نیروی تماسی بی بعد بر حسب مکان بی بعد برای تیر خطی با تکیه‌گاه گیردار ساده (c-p)	۵۶
..... شکل (۱۲-۵) اثر تغییرات سرعت بر خیز تیر بر حسب مکان بی بعد برای تیر خطی با تکیه‌گاه گیردار ساده (c-p)	۵۵
..... شکل (۱۴-۵) اثر تغییرات سرعت بر مقدار جدایش بر حسب مکان بی بعد برای تیر خطی با تکیه‌گاه گیردار ساده (c-p)	۵۶

شكل (۱۵-۵) اثر تغییرات کشش طولی بر مقدار خیز بی بعد تیر بر حسب مکان بی بعد برای تیر خطی با تکیه‌گاه گیردار-ساده (c-p).....	۵۷
شكل (۱۶-۵) اثر تغییرات کشش طولی بر مقدار نیروی تماسی بی بعد بر حسب مکان بی بعد برای تیر خطی با تکیه‌گاه گیردار-ساده (c-p).....	۵۸
شكل (۱۷-۵) اثر تغییرات کشش طولی بر مقدار جدایش بر حسب مکان بی بعد برای تیر در حالت (c-p).....	۵۸
شكل (۱۸-۵) اثر تغییرات نسبت ضریب فنریت بی بعد به جرم محرك بی بعد بر مقدار خیز بی بعد تیر بر حسب مکان بی بعد در حالت (c-p).....	۵۹
شكل (۱۹-۵) اثر تغییرات نسبت ضریب فنریت بی بعد به جرم محرك بی بعد بر مقدار نیروی تماسی بی بعد بر حسب مکان بی بعد برای تیر در حالت (c-p).....	۶۰
شكل (۲۰-۵) اثر تغییرات نسبت ضریب فنریت بی بعد به جرم محرك بی بعد بر مقدار جدایش بر حسب مکان بی بعد برای تیر در حالت (c-p).....	۶۰
شكل (۲۱-۵) مقدار خیز بی بعد تیر غیرخطی در حالت یکسر گیردار یکسر ساده (c-p) و سیستم جرم و فنر بر حسب مکان بی بعد .....	۶۱
شكل (۲۲-۵) مقدار پرش بی بعد تیر غیرخطی در حالت یکسر گیردار یکسر ساده (c-p) از سیستم جرم و فنر بر حسب زمان بی بعد .....	۶۱
شكل (۲۳-۵) مقدار نیروی تماسی بی بعد بین تیر غیرخطی و سیستم جرم و فنر بر حسب مکان بی بعد در حالت یکسر گیردار یکسر ساده (c-p).....	۶۲
شكل (۲۴-۵) مقایسه خیز تیر بر حسب مکان بی بعد در در حالت تکیه‌گاه گیردار - ساده (c-p)، تکیه‌گاه ساده-ساده (p-p) و تکیه‌گاه گیردار-گیردار (c-c).....	۶۳
شكل (۲۵-۵) مقایسه نیروی تماسی بر حسب مکان بی بعد در حالت تکیه‌گاه گیردار - ساده (c-p)، تکیه‌گاه ساده-ساده (p-p) و تکیه‌گاه گیردار-گیردار (c-c).....	۶۳
شكل (۲۶-۵) مقایسه مقدار جدایش بین سیستم جرم و فنر و تیر در حال کشش بر حسب مکان بی بعد در حالت تکیه‌گاه گیردار - ساده (c-p)، تکیه‌گاه ساده-ساده (p-p) و تکیه‌گاه گیردار-گیردار (c-c).....	۶۴
شكل (۲۷-۵) مقایسه خیز تیر بر حسب مکان بی بعد با جدایش در طول تیر و در حالت تماس دائم در طول تیر غیرخطی با تکیه‌گاه گیردار-ساده (c-p).....	۶۴
شكل (۲۸-۵) مقایسه نیروی تماسی بر حسب مکان بی بعد با جدایش در طول تیر و در حالت تماس دائم در طول تیر غیرخطی با تکیه‌گاه گیردار-ساده (c-p).....	۶۵
شكل (۲۹-۵) اثر تغییرات سرعت بر مقدار خیز بی بعد تیر غیرخطی بر حسب مکان بی بعد در حالت یکسر درگیر یکسر ساده (c-p).....	۶۶
شكل (۳۰-۵) اثر تغییرات سرعت بر مقدار نیروی تماسی بی بعد بر حسب مکان بی بعد برای تیر غیرخطی در حالت (c-p).....	۶۶
شكل (۳۱-۵) اثر تغییرات سرعت بر مقدار جدایش بر حسب مکان بی بعد برای تیر غیرخطی در حالت یکسر درگیر یکسر ساده (c-p).....	۶۷

شکل (۳۲-۵) اثر تغییرات کشش طولی بر مقدار خیز بی بعد تیر بر حسب مکان بی بعد در حالت یکسر در گیر یکسر ساده (c-p)	۶۷
شکل (۳۳-۵) اثر تغییرات کشش طولی بر مقدار نیروی تماسی بی بعد بر حسب مکان بی بعد برای تیر غیر خطی در حالت یکسر در گیر یکسر ساده (c-p)	۶۸
شکل (۳۴-۵) اثر تغییرات کشش طولی بر مقدار جدایش بر حسب مکان بی بعد برای تیر غیر خطی در حالت یکسر در گیر یکسر ساده (c-p)	۶۸
شکل (۳۵-۵) اثر تغییرات نسبت ضریب فنریت بی بعد به جرم محرک بی بعد بر مقدار خیز بی بعد تیر غیر خطی بر حسب مکان بی بعد در حالت تکیه گاه گیردار - ساده (c-p)	۶۹
شکل (۳۶-۵) اثر تغییرات نسبت ضریب فنریت بی بعد به جرم محرک بی بعد بر مقدار نیروی تماسی بی بعد بر حسب مکان بی بعد برای تیر غیر خطی در حالت تکیه گاه گیردار - ساده (c-p)	۶۹
شکل (۳۷-۵) اثر تغییرات نسبت ضریب فنریت بی بعد به جرم محرک بی بعد بر مقدار جدایش بر حسب مکان بی بعد برای تیر غیر خطی در حالت تکیه گاه گیردار - ساده (c-p)	۷۰
شکل (۳۸-۵) مقایسه خیز تیر خطی و غیر خطی بر حسب مکان بی بعد با شرط مرزی تکیه گاه گیردار - ساده (c-p)	۷۱
شکل (۳۹-۵) مقایسه نیروی تماسی خطی و غیر خطی بر حسب مکان بی بعد با شرط مرزی تکیه گاه گیردار - ساده (c-p)	۷۱
شکل (۴۰-۵) مقایسه مقدار جدایش بین سیستم جرم و فنر و تیر در حال کشش خطی و غیر خطی بر حسب مکان بی بعد با شرط مرزی تکیه گاه گیردار - ساده (c-p)	۷۱

## فهرست جداول‌ها

جدول (۱-۵) اطلاعات شبکه بالاسری و سیستم جرم و فنر محرک	۴۷
جدول (۲-۵) مقادیر تقریبی ضرایب بی بعد	۴۷
جدول (۳-۵) داده‌های مرجع [۱۹]	۵۰
جدول (۴-۵) تغییرات سرعت	۵۵
جدول (۵-۵) تغییرات کشش طولی تیر	۵۷
جدول (۶-۵) تغییرات ضریب فنریت پانتوگراف	۵۹

## فهرست علائم

$h$	گام مکانی	$A$	مساحت سطح مقطع
$a$	نقطه ابتدایی انتگرال	$v^*$	سرعت جرم و فنر بی بعد
$b$	نقطه انتهایی انتگرال	$K$	انرژی جنبشی
$y_1, y_2$	کاهش مرتبه معادلات معمولی	$U$	انرژی کرنشی
$k_1, k_2,$ $k_3, k_4$	ضرایب رانجه کوتا مرتبه ۴	$T, L$	کشش طولی و طول تیر
$W_{nc}$	کار نیروی حاصل از جرم تیر و نیروی تماسی	$u, w$	مؤلفه های جابه جایی
	علائم یونانی	$x, y, z$	مختصه های کارتزین
$\beta$	کشش طولی بی بعد	$E$	مدول الاستیسیته
$\varphi_i(x^*)$	پارامتر جداساز مکانی	$U^*$	چگالی انرژی کرنشی
$\rho$	چگالی	$m$	جرم محرك
$\alpha$	نسبت سطح مقطع به طول تیر	$k$	ثابت فنر
$\omega$	نسبت ضریب فنریت بی بعد به جرم محرك بی بعد	$Z$	فاصله تا خط مرکزی تیر
$\Phi$	نسبت جرم محرك به جرم تیر	$F_c, f_c$	نیروی تماسی
$\varepsilon_x, \varepsilon_y, \varepsilon_z$	کرنش نرمال	$v$	سرعت جرم و فنر
$\gamma_{xy}, \gamma_{xz},$ $\gamma_{yz}$	کرنش برشی	$g$	گرانش زمین
$\xi$	جابه جایی جرم و فنر	$t$	مختصه زمان
$\sigma_x$	تنش نرمال	$G(x,t)$	فاصله نسبی تیر از سیستم جرم و فنر (قید تماس دینامیکی)
$\delta()$	دلتای دیراک	$[M], [M']$	ماتریس جرم
$\gamma$	پارامتر بی بعد وزن تیر	$[K], [K']$	ماتریس سفتی
		$[S], [S']$	ماتریس غیرخطی
		$[C], [C']$	ماتریس شتاب
		$[P], [P']$	ماتریس وزن تیر
		$F_c^*$	نیروی تماسی بی بعد
		$X^*, t^*$	مختصه مکان و زمان بی بعد
		$q_i(t^*)$	پارامتر جداساز زمانی

## پیشگفتار

در فصل اول، ابتدا به معرفی انواع پیوستارها پرداخته و سپس در مورد تیرها و سازه‌های غیرخطی توضیح داده می‌شود؛ در مورد کاربرد اصلی مسئله تماس دینامیکی در این پایان‌نامه که قطارهای با سرعت‌های بالا می‌باشد؛ توضیح مختصراً بیان می‌گردد. در نهایت به مرور مقالات مرتبط با پایان‌نامه پرداخته می‌شود. در فصل دوم، بر اساس کرنش‌های فن کارمن<sup>۱</sup> و تئوری تیر اویلر برنولی<sup>۲</sup> معادلات حاکم بر ارتعاشات تیر برای زمان تماس و جدایش بر حسب منتجه‌های تنش با استفاده از اصل همیلتون<sup>۳</sup> استخراج و قید تماس دینامیکی به‌دست آورده می‌شود. نیروی تماسی نیز با استفاده از خیز و شتاب سیستم جرم و فنر بیان می‌گردد. این معادلات با مشتقات جزئی نسبت به متغیرهای زمان و مکان بوده که تعیین می‌شوند. در فصل سوم و چهارم به‌ترتیب معادلات خطی و غیرخطی حاکم بر مسئله به‌دست آمده و برای حل این معادلات، از روش گالرکین<sup>۴</sup> استفاده می‌شود. برای این منظور ابتدا معادلات بی‌بعد شده و با استفاده از پارامتر جداساز معادلات دیفرانسیل به حوزه زمان بردشده و این معادلات معمولی بعد از در نظر گرفتن جمله اول روش گالرکین و با به‌دست آوردن تابع گالرکین که همان شکل مد خطی است و تعیین ضرایب، با استفاده از روش (رانجه کوتا مرتبه<sup>۵</sup>)<sup>۶</sup> حل عددی می‌شود. در فصل پنجم، ابتدا الگوریتم حل مسئله بیان شده و به بیان نتیجه‌های مسئله پرداخته می‌شود. اثر پارامترها و شرایط مرزی مختلف همچنین خطی و غیرخطی بودن مسئله بر روند حل، بیان خواهد شد. نتیجه‌ها و پیشنهادها نیز در فصل ششم بیان می‌گردد.

<sup>1</sup> Von karman strain

<sup>2</sup> Euler-Bernoulli beam theory

<sup>3</sup> Hamilton principle

<sup>4</sup> Galerkin method

<sup>5</sup> Runge Kutta order 4

## فصل اول

تاریخچه و معرفہ مقالات

## ۱-۱- مقدمه

تیر یکی از عناصر بنیادی در سازه‌های مهندسی است و در بیشتر سازه‌ها مانند پره‌های بالگرد، آنتن‌های فضاییما، بال‌های هواپیما، لوله تفنگ، ساختمان‌های بلند، پل‌های عریض و اجزای سازنده قطارهای برقی مانند شبکه بالاسری پانتوگراف<sup>۱</sup> و سازه‌های پیچیده دیگر کاربرد دارد. مطالعه پاسخ دینامیکی و استاتیکی تیرها، تحت بارگذاری‌های مختلف می‌تواند به درک بهتر رفتار سازه‌های واقعی تحت شرایط بارگذاری مشابه کمک کند.

بررسی مدل‌های خطی به تنها یی برای درک رفتار سیستم کافی نیست و این مدل‌ها ممکن است نادرست، ناکافی و یا گمراه کننده باشند. زمانی که دامنه نوسان‌ها بزرگ باشد و فرکانس‌های طبیعی افزاینده وابسته به دامنه‌های ایشان باشند؛ پاسخ‌های خطی نادرست هستند و مدل‌های خطی می‌تواند گمراه کننده باشند؛ زیرا ممکن است یک حل خطی پیش‌بینی شود که سیستم پایدار است، در حالی که سیستم ناپایدار می‌باشد.

از طرفی پدیده‌های فیزیکی جالبی در سازه‌های غیرخطی اتفاق می‌افتد که به وسیله مدل‌های خطی نمی‌توان آن‌ها را توضیح داد. این پدیده‌ها شامل پرش<sup>۲</sup>، اشباع<sup>۳</sup>، تشیده‌های ساب هارمونیک<sup>۴</sup> و سوپر هارمونیک<sup>۵</sup>، ترکیبی<sup>۶</sup>، نوسان‌های خود تحریک<sup>۷</sup> و آشوب<sup>۸</sup> هستند. در سیستم‌های پیوسته جمله‌های غیرخطی باعث کوپل شدن مدهای نرمال خطی می‌گردد و این پدیده منجر به انتقال انرژی بین مدها می‌شود. آزمایش‌ها نشان می‌دهند که گاهی انرژی از یک مد با فرکانس بالا به مد با فرکانس پایین منتقل می‌شود که این پدیده می‌توان به شدت خطرناک باشد زیرا دامنه پاسخ مدهای فرکانس پایین در مقایسه با دامنه مدهای فرکانس بالا بسیار بزرگ‌تر است. در واقعیت هیچ سیستم فیزیکی خطی وجود ندارد، همچنین مدل‌های خطی دستگاه‌های فیزیکی دارای محدودیت‌هایی

<sup>1</sup> Pantograph

<sup>2</sup> Jump

<sup>3</sup> Saturation

<sup>4</sup> Sub harmonic

<sup>5</sup> Super harmonic

<sup>6</sup> Combination

<sup>7</sup> Self-excited oscillations

<sup>8</sup> Chaos

هستند. به طور کلی مدل‌های خطی برای محدوده‌های بسیار کوچک کاربرد دارند؛ زمانی که دامنه‌ی ارتعاشات بسیار کوچک است، برای شناخت و درک دقیق‌تر رفتار دینامیکی سازه تحت شرایط بارگذاری عمومی ضروری است که پارامترهای غیرخطی در مدل‌سازی سیستم در نظر گرفته و بررسی شوند [۱].

در این فصل، در ابتدا توضیح مختصری درباره‌ی عناصر ساختاری و تیرها داده شده است. در قسمت بعد به معرفی سیستم‌های غیرخطی پرداخته و درنهایت بهمروز مقاله‌های مرتبط با حوزه‌ی پایان‌نامه پرداخته می‌شود.

## ۱-۲-اجزای سازه

از لحاظ هندسه و شرایط بارگذاری، سازه‌ها را می‌توان به شش گروه تقسیم‌بندی نمود: کابل‌ها، میله‌ها، تیرها، غشاها، ورق‌ها و پوسته‌ها؛ کابل‌ها سازه‌های یکبعدی هستند که تنها بار کششی را تحمل می‌کنند. رشته نوعی کابل است که در ابتدا مستقیم بوده و دارای پیش کشش می‌باشد. میله‌ها سازه‌های یکبعدی هستند که می‌توانند بارهای محوری و پیچشی را تحمل کنند. میله‌ها و ستون‌ها نوعی سازه‌ی دونیرویی هستند و خرپا مجموعه‌ای از میله‌ها است. تیرها سازه‌هایی هستند که یکی از ابعاد آن‌ها به مراتب بزرگ‌تر از دو بعد دیگر است و در معرض بارهای عرضی قرار دارند که منجر به خمس آن‌ها می‌شود. در حالت کلی تیر قادر به تحمل نیروهای کششی، فشاری، خمشی، برش عرضی و پیچشی است؛ به عبارت دیگر کابل‌ها، رشته‌ها، میله‌ها و ستون‌ها نوع خاصی از تیرها هستند. ورق‌ها سازه‌هایی مستقل هستند که دو بعد آن‌ها به مراتب بزرگ‌تر از بعد سوم است و قادرند نیروهای کششی، فشاری، برش صفحه‌ای، خمشی، پیچشی و بارهای برشی عرضی را تحمل کنند. غشا سازه‌هایی دو بعدی است که تنها می‌تواند نیروی کشش و برش صفحه‌ای را تحمل کند. پوسته‌ها سازه‌هایی خمیده هستند که دو بعد آن‌ها به مراتب بزرگ‌تر از بعد سوم است و قادرند نیروهای خارج صفحه<sup>۱</sup> را با

<sup>۱</sup> Out-of-plane

ایجاد نیروهای صفحه‌ای تحمل کنند. پوسته‌ها عمومی‌ترین سازه‌های مهندسی هستند که ورق‌ها و غشاها نوع خاصی از آن‌ها می‌باشند [۲].

### ۱-۳-غیرخطی<sup>۱</sup>

از نظر ریاضی سیستمی غیرخطی است که ضرب متغیرهای وابسته و مشتقات آن‌ها در معادلات حرکت، شرایط مرزی و یا روابط سازگاری داشته باشد. علاوه بر این، وجود هرگونه پرش و یا ناپیوستگی در سیستم می‌تواند سبب غیرخطی شدن معادلات گردد. در طبیعت دستگاه‌های غیرخطی فراوان وجود دارد. در حقیقت دستگاه‌های غیرخطی نه تنها استثنای نیستند بلکه جزء قانون و قاعده طبیعت می‌باشند. سیستم‌های غیرخطی اصل جمع آثار در مورد آن‌ها صادق نیست. ایوان ایوانوسکی [۳]، نایفه و موک [۴] و مون [۵] انواع غیرخطی‌ها را با جزئیات و به وسیله‌ی مثال‌های مختلف توضیح داده‌اند. منشا رفتار غیرخطی در سیستم می‌تواند جنس ماده، هندسه، اینرسی و میرایی باشد؛ که هر یک در ادامه توضیح داده خواهد شد.

میرایی: میرایی یک پدیده غیرخطی است؛ زیرا نیروی میرا تابع غیرخطی، از جایه‌جایی و سرعت است. میرایی ویسکوز خطی نوعی ایده آل سازی سیستم است که اصطکاک خشک و استهلاک هیسترزیس<sup>۲</sup> نمونه‌هایی از میرایی غیرخطی هستند.

هندسه: در سامانه‌هایی که تحت تغییر شکل‌ها و یا جایه‌جایی‌های بزرگ قرار دارد؛ غیرخطی هندسی وجود دارد. این غیرخطی در انرژی پتانسیل سیستم ظاهر می‌شود. در سازه‌ها تغییر شکل‌های بزرگ معمولاً منجر به رابطه‌های غیرخطی کرنش جایه‌جایی می‌شود؛ به عنوان مثال می‌توان به حرکت یک پاندول ساده با در نظر گرفتن زاویه‌های بزرگ و یا یک تیر یکسر گیردار با انحنای بزرگ اشاره نمود.

<sup>1</sup>Nonlinearity

<sup>2</sup>Hysteretic damping

اینرسی: غیرخطی اینرسی ناشی از جمله‌های غیرخطی سرعت و شتاب در معادلات حرکت است.

انرژی جنبشی سیستم منشأ ایجاد غیرخطی‌های اینرسی است به عنوان مثال می‌توان به جمله‌های شتاب کوریولیس و مرکز گرا اشاره نمود. همچنین در معادلات توصیف، حرکت یک پاندول الاستیک و یا در حرکت عرضی یک تیر تحت کشش، غیرخطی‌های اینرسی وجود دارد.

جنس: این نوع غیرخطی زمانی که روابط تنش کرنش غیرخطی باشند، ایجاد می‌شود. لاستیک یک مثال معمولی از این دسته هست.

شرایط مرزی و تحریک خارجی: شامل جمله‌های غیرخطی هست که ممکن است، در شرایط مرزی مسئله ظاهر شوند.

جمله‌های غیرخطی ممکن است؛ در استخراج معادلات دیفرانسیل و شرایط مرزی و یا هر دو ظاهر شوند. در سال‌های اخیر گسترش سریع تحقیق‌های فضایی سبب انجام تحقیق‌های گسترده در دینامیک کنترل سازه‌های فضایی منعطف بزرگ مانند: کنترل کننده‌های خورشیدی، آتن‌ها، رادارها، خرپاهای بزرگ، تلسکوپ‌های فضایی و ایستگاه‌های فضایی شده است. برای طراحی روند مناسب برای کنترل ارتعاشات سازه‌ها با دامنه‌های بزرگ نیاز به درک رفتارهای غیرخطی دینامیکی و استاتیکی دستگاه‌ها شامل کوپلینگ مدار (انتقال انرژی میان مدهای سازه) و ناپایداری دینامیکی و استاتیکی است و این‌ها نیازمند مدل‌سازی سیستم‌های غیرخطی است.

مدل‌سازی دستگاه‌ها را می‌توان به سه گروه تقسیم کرد؛ مدل‌سازی خطی و مدل‌سازی غیرخطی؛ در مدل‌سازی خطی رفتارهای دینامیکی و استاتیکی به وسیله مدل‌های خطی توصیف می‌شود. که دارای پاسخ‌های دینامیکی و استاتیکی منحصر به فرد هستند. یکی از انشعاب‌های استاتیکی به وسیله یک مدل غیرخطی توصیف می‌شود. اما رفتار دینامیکی به کمک مدل خطی توصیف می‌گردد. یک مدل استاتیکی غیرخطی مقدار جابه‌جایی و کمانش سازه‌ها را می‌تواند پیش‌بینی کند؛ سپس تحلیل پایداری دینامیکی حول نقطه‌ی تعادل استاتیکی به وسیله‌ی مد دینامیکی خطی صورت خواهد گرفت.

#### ۴-۱-تاریخچه

مهمترین تئوری‌های تیر که در الاستیسیته کاربرد دارد عبارت‌اند از: معادلات دقیق الاستیسیته، تئوری تیر اویلر برنولی<sup>۱</sup> و تئوری تیر تیموشنکو<sup>۲</sup>. مشکل اساسی در تئوری الاستیسیته این است که تنها برای تعداد کمی از مسائل می‌تواند حل دقیق ارائه دهد؛ از همین رو این تئوری پر کاربرد نیست. در تئوری تیر اویلر برنولی [۶] فرض شده است که صفحه‌های سطح مقطع که پیش از تغییر شکل عمود بر تار خنثی هستند، پس از تغییر شکل نیز همچنان مسطح و عمود بر تار خنثی باقی خواهند ماند و هیچ کرنشی در این صفحه‌ها رخ نخواهد داد؛ به عبارت دیگر از تأثیرات اعوجاج و تغییر شکل برشی و همین طور از کرنش‌های عمودی عرضی چشم پوشی شده است. این فرض‌ها برای تیرهای بلند و باریک معتبر است؛ بنابراین این تئوری برای مدل کردن تماس دینامیکی مورد استفاده قرار می‌گیرد. فرض عدم وجود برش عرضی بدین معناست که چرخش در سطح مقطع تنها به دلیل خمس ایجاد می‌شود؛ اما برای تیرهای ضخیم، مدهای فرکانس بالا و یا در تیرهای کامپوزیتی برش عرضی قابل چشم‌پوشی نیست.

#### ۱-۵-کاربرد مسئله تماس دینامیکی

در مسئله تماس دینامیکی می‌توان به کاربرد آن در جرثقیل‌های ثقی، پل‌های رو گذر، قطارهای با سرعت بالا و... را بیان کرد. مسئله‌ای که در این پایان‌نامه مورد بحث قرار می‌گیرد مربوط به قطارهای برقی با سرعت بالا می‌باشد و اهمیت مقدار نیروی تماسی و جدایش بین پانتوگراف و شبکه بالاسری را نشان می‌دهد.

با توجه به توضیح‌های بیان شده در بخش ۱-۴ می‌توان برای مدل کردن مسئله از تئوری تیر اویلر برنولی برای شبکه بالاسری بهره برد و پانتوگراف را با یک سیستم جرم و فنر مدل نمود. در ادامه به معرفی پانتوگراف و اهمیت بررسی نیروی تماسی و جدایش پرداخته می‌شود.

<sup>1</sup> Euler–Bernoulli beam theory

<sup>2</sup> Timoshenko beam theory

## ۱-۵-۱-پانتوگراف

پانتوگراف نامی است که به بازوهای جمع کننده جریان از شبکه بالاسری داده شده است، این اصطلاح با دستگاههایی که شکلی مشابه با دستگاه فتوکپی دارد گرفته شده است. قطارهای برقی، واگن‌های خود کشش مترو، اتوبوس برقی و یا ترامواها همگی دارای پانتوگراف می‌باشند. انرژی الکتریکی به‌وسیله پانتوگراف از شبکه بالاسری دریافت و به مصرف ترکشن موتورها می‌رسد. کیفیت حرکت پانتوگراف در زیر شبکه بالاسری به ساختمان، نوع پانتوگراف و سیستم شبکه بالاسری بستگی دارد [۷].

پانتوگراف بایستی در هر سرعتی، حتی المکان بدون قوس الکتریکی و قطعی از سیم تماس، انرژی الکتریکی را به‌وسیله نقلیه کشنده انتقال دهد. اکثر وسایل نقلیه، به‌طور معمول دارای دو پانتوگراف بوده که پانتوگراف عقبی به‌کار گرفته شده؛ و پانتوگراف جلویی به‌عنوان جانشین به خدمت گرفته می‌شود.

برحسب اینکه تغذیه از طریق شبکه بالاسری یا ریل سوم انجام شود؛ ساختمان و محل نصب پانتوگراف متفاوت است. شکل (۱-۱) الف و ب به‌ترتیب پانتوگراف در شبکه بالاسری و ریل سوم را نشان می‌دهد. قابل توضیح است ریل سوم وسیله‌ای است شبیه جاروبک و یا کفشک که برق مورد نیاز قطار را از کنار ریل تأمین می‌کند.



شکل (۱-۱) الف) پانتوگراف در شبکه بالاسری ب) ریل سوم

معمولاً در دستگاه با ولتاژ کم از ریل سوم استفاده می‌شود و از شبکه بالاسری در دستگاه‌های متناوب و مستقیم با ولتاژ زیاد استفاده می‌شود.

### ۱-۵-۱-۱-اجزای پانتوگراف

پانتوگراف از چهار قسمت اساسی تشکیل شده است:

- ساختمان اصلی پانتوگراف که در روی سقف قرار دارد.
- سیستم حرکت پانتوگراف که از آلیاژ سبک تهیه می‌شود.
- بلبرینگ و بازوهای متحرک و سیستم تغذیه پانتوگراف
- جاروبک پانتوگراف که از یک یا دو صفحه گرافیتی یا آلیاژهای خاص تشکیل شده است و بهوسیله سیم‌های افشار به سیستم تغذیه متصل می‌گردد.

### ۱-۵-۱-۲-جاروبک

جاروبک از جنس‌های گوناگونی تهیه می‌شود که عبارت‌اند از: مس، طلا، پلاتین، زغال، جاروبک‌های مسی و پلاتینی دارای مقاومت الکتریکی کمتری هستند و فقط در محل تماس با سیستم شبکه بالاسری ایجاد سوختگی می‌کنند ولی جاروبک زغالی یا گرافیتی به علت مقاومت بیشتر نمی‌توانند به راحتی جریان مورد نیاز قطار را از خود عبور بدنهند و باعث تولید حرارت شده و سوختگی در سیم تماس به وجود می‌آید. بدینجهت از این جاروبک‌ها در خطوطی که دارای جریان کمتر و در شبکه‌های با جریان متناوب استفاده می‌شود ولی در شبکه‌های با جریان مستقیم که دارای جریان بیشتر از ۱۵۰۰ آمپر هست استفاده از این جاروبک‌ها غیر منطقی می‌باشد.

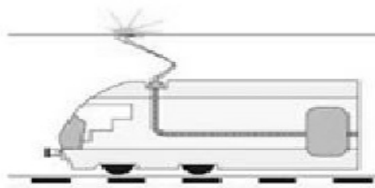
جاروبک زغالی از کربن یا از پودر گرافیت و یا از قیر پیوندی (ضخیم و سفت) تهیه می‌شود، در بعضی موارد پودر کربن نیز به آن اضافه می‌شود. جاروبک زغالی به طور معمول از سه پهلو به قاب فلزی بسته می‌شود و تشک جاروبک زغالی با فلزات حامل جریان آب‌کاری می‌شود و برای تشک و آب‌کاری آن به طور معمول از آلومینیوم استفاده می‌شود که نرم‌تر از سیم شبکه هست تا در موقع

تماس هادی تماس با این تشك (قاب فلزی) به راحتی ساییده شود و تخریبی در هادی تماس به وجود نماید. شکل (۲-۱) نمونه‌ای از این جاروبک را نشان می‌دهد.



شکل (۲-۱) جاروبک زغالی پانتوگراف

تماس بین شبکه بالاسری و پانتوگراف باید بدون وقفه برقرار باشد. فاصله هوایی موجب ایجاد یک قوس الکتریکی در میان شبکه بالاسری و پانتوگراف می‌شود. نمونه‌ای از قوس الکتریکی در شکل (۳-۱) نشان داده شده است. این نقطه جوش‌ها مانع لغزش پانتوگراف روی هادی می‌شود. این امر سطح تماس جاروبک و هادی تماس را کم و بر نوسان‌ها و فاصله‌های هوایی در طول حرکت می‌افزاید. در اثر ایجاد قوس الکتریکی مداوم بین هادی تماس و پانتوگراف گرم شده و هادی تماس در اثر گرم شدن شکل خود را از دست می‌دهد.



شکل (۳-۱) قوس الکتریکی در میان شبکه بالاسری و پانتوگراف

### ۳-۱-۵-۱-فنر پانتوگراف

از آن‌جا که پانتوگراف باید در سطح یکنواخت از ریل قرار گرفته باشد تا با نیروی ثابت در تماس دائم با شبکه برق بالاسری باشد، استفاده از فنرهای با صلبیت یکنواخت اهمیت پیدا می‌کند. مدول

صلبیت فنر پانتوگراف و صلبیت خمشی آن باید برای تمام بازوها یکسان باشد. شکل (۴-۱) فنر پانتوگراف را نشان می‌دهد.



شکل (۴-۱) فنر پانتوگراف

#### ۴-۵-۱-۴- ویژگی‌های پانتوگراف

با توجه به توضیح‌های بیان شده در قسمت‌های قبل ویژگی‌های یک پانتوگراف به صورت زیر بیان می‌گردد.

- در تماس دائم با شبکه بالاسری باشد تا انرژی الکتریکی مورد نیاز لکوموتیو را به صورت یکنواخت تأمین کند.
- باید کمترین ارتعاش را در حرکت داشته باشد.
- نباید سیم تماس را خراش دهد و همچنین سایش بیش از حد ایجاد کند.
- باید مقاومت آبرودینامیکی پایینی داشته باشد.

#### ۶-۱- مروری بر مقاله‌های بررسی شده

آنالیز دینامیکی تماسی برای تیرهای در حال کشش انعطاف‌پذیر تحت حرکت یک جرم یا بار کاربردهای گوناگونی دارد؛ که می‌توان به طناب اتصال؛ در سرعت‌های بالای راه‌آهن (پانتوگراف)، حرکت جرم روی پلهای روگذر، جرثقیل‌های سقفی روی تیر مهار کننده را نام برد؛ اما مطالعه‌های زیادی در سطح گستره موضوع تیر در حال کشش انعطاف‌پذیر تحت حرکت جرم محرک یا بار بوده است؛ که مربوط به سامانه‌های راه‌آهن (mekanisim pantograph) با سرعت‌های بالا می‌باشد.

جی آر ریکر و همکارانش<sup>۱</sup> [۸,۹] آنالیز دینامیکی تیری که در تماس با جرم متحرک است را بررسی کرده‌اند و معادلات استخراج شده را با استفاده از اجزا محدود حل نموده که اتلاف تماس و نیروهای تماسی نشان نشده است. یو لی<sup>۲</sup> [۱۰] و دی استانکو و همکارانش<sup>۳</sup> [۱۱] جدایی بین تیر و جرم محرك را از هم نشان می‌دهند؛ که در مورد نتیجه‌های آزمایشگاهی که مربوط به نیروهای تماسی بین تیر و جرم محرك است بحث و پاسخ بسته‌ای ارائه کرده‌اند. اچ پی لی<sup>۴</sup> [۱۲] آنالیز نیروهای محوری بر تیر را برای زمانی که جرم محرك شروع به جدا شدن از آن می‌کند، بررسی کرده و جرم محرك را مرتبط به سرعت‌های بالای راه‌آهن و سامانه‌های ریلی می‌داند، ایشان جدایی بین جرم و تیر و اثرگذاری نیروی محوری را براین مسأله بررسی می‌کند؛ که معادلات گاورنر<sup>۵</sup> برای تیر در حال کشش را به دست آورده است. وای اچ چو و همکارانش<sup>۶</sup> [۱۳] معادلات گاورنر را برای یک پانتوگراف که به دانه‌های زنجیر شبیه کرده‌اند، بررسی کرده و در حالت خطی و استاتیک معادلات آنها را برای یک خیز بهینه با استفاده از اجزا محدود حل کرده‌اند. کی لی<sup>۷</sup> [۱۴] تماس دینامیکی را بین یک سیستم محرك و کابل در حال کشش را نشان می‌دهد که معادلات خود را با روش اجزا محدود حل کرده است. وای اچ چو<sup>۸</sup> [۱۵] تماس دینامیکی بین پانتوگراف و کابل را مورد بررسی قرار داده است؛ که حل معادلات حاکم با استفاده از روش پنالتی صورت گرفته است، روش پنالتی قیدهای تماسی را به‌طور دقیق حساب نمی‌کند. کی لی و همکارانش<sup>۹</sup> [۱۶] یک تیر در حال کشش را بدون در نظر گرفتن وزن تیر که تحت حرکت جرم و فنر بوده بررسی کرده و ارتعاشات طولی را ناچیز دانسته‌اند. معادلات به‌دست آورده را با استفاده از اجزا محدود تفکیک کرده و با چند جمله‌ای‌های لاگرانژ حل نموده و نیروی تماسی را محاسبه کرده است. کی لی و جی چانگ<sup>۱۰</sup> [۱۷] همان تیر قبلی را این بار

<sup>1</sup> J.R. Rieker, Y.H. Lin, M.W. Trethewey

<sup>2</sup> U. Lee

<sup>3</sup> D. Stancioiu, H. Ouyang, J.E. Mottershead

<sup>4</sup> H.P. Lee

<sup>5</sup> Gaverneur Equation

<sup>6</sup> Y.H. Cho, K. Lee, Y. Park, B. Kang, K. Kim

<sup>7</sup> K. Lee

<sup>8</sup> Y. H. Cho

<sup>9</sup> K. Lee

<sup>10</sup> K. Lee, J. Chung

آویزان شده تحت حرکت یک نوسان‌گر مورد بررسی قرار داده اند. معادلات حرکت را برای زمانی که آویزان باشد به دست آورده و بعد از خطی سازی معادلات و نوشتن شتاب برای نوسان‌گر با استفاده از اجزا محدود محاسبه کرده اند.

#### ۷-۱- جمع‌بندی

در این فصل، در ابتدا به معرفی انواع پیوستارها پرداخته شد، سپس در مورد تیرها و انواع غیر-خطی‌ها توضیح داده شد. در قسمت بعد تاریخچه مختصراً در مورد تئوری‌های تیر بیان گردید و در مورد تئوری اویلر برنولی که شبکه بالاسری را با استفاده از آن مدل کرده توضیحاتی بیان شد. در مورد پانتوگراف و اجزا سازنده‌ی آن و کاربرد مسئله تماس برای نیروی تماسی و زمان جدایش نیز توضیحاتی بیان گردید و درنهایت به مرور مقالات مرتبط با پایان‌نامه پرداخته شد. با توجه به مقالات مرور شده بیشتر شبکه بالاسری را با استفاده از کابل مدل کرده‌اند و تحت حرکت جرم یا بار محرک قرار داده‌اند. در چند مقاله اخیر این شبکه با استفاده از تیر اویلر برنولی مدل شده اما در حالت خطی، معادلات را با استفاده از اجزا محدود و روش آلفا تایم<sup>۱</sup> حل نموده‌اند؛ اما به دلیل اینکه فرم مستطیلی بودن مقطع کابل انرژی الکتریکی از شبکه بالاسری به موتور محرک قطار با کیفیت بهتری منتقل می‌کند، در این پایان‌نامه، تیر اویلر برنولی در حالت غیرخطی که نسبت به حالت خطی دقیق‌تر بوده، در نظر گرفته شده است. برای سیستم پانتوگراف در کارهای اخیر از جرم محرک استفاده شده که در این پایان‌نامه با سیستم جرم و فنر مدل نموده که دقت مدل را بالاتر می‌برد. روش حل یک روش جدید برای این مدل مسئله‌ها است که در قسمت مکانی دقیقاً منطبق با تمام شرایط مرزی مسئله است؛ اما در روش‌ها اجزا محدود قسمت مکانی با دقت کمتری محاسبه می‌شود. در حل معادلات تابع زمان هم روش رانجه کوتا مرتبه ۴ دقت بالایی در حل‌های عددی برای حل مسائل دارد.

---

<sup>۱</sup> Alfa time method

## فصل دوم

استخراج معادلات حرکت

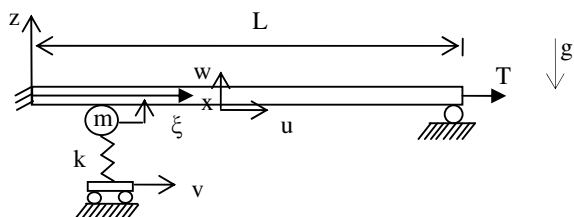
## ۱-۲-مقدمه

در ارتعاشات غیرخطی تیرها معادلات حرکت و شرایط مرزی را می‌توان به کمک قانون دوم نیوتون و یا اصل همیلتون تعیین نمود. در این فصل معادلات حاکم بر ارتعاشات خطی و غیرخطی تیر تحت حرکت یک سیستم جرم و فنر، به کمک اصل همیلتون استخراج شده است. میدان جابه‌جایی مطابق تئوری اویلر برنولی بوده و برای استخراج معادلات حرکت فرض‌های زیر، در نظر گرفته می‌شود.

- تیر همگن و همسان‌گرد است.
- ثابت فنر خطی است.
- جابه‌جایی‌ها نسبتاً بزرگ و رابطه‌های کرنش- جابه‌جایی غیرخطی هستند.
- ارتعاشات عرضی تیر و ارتعاشات عرضی سیستم جرم و فنر بررسی گردیده است.
- از اتلاف تماس و ضربه در هنگام بازگشت جرم و فنر صرف نظر می‌شود.
- سطح مقطع تیر نسبت به طول آن کوچک در نظر گرفته می‌شود.

## ۲-۲-تعريف مسأله

شکل (۱-۲) تیر در حال کشش تحت سیستم جرم و فنر محرك نشان داده است؛ که طول تیر  $L$  مساحت جانبی  $A$ ، مدول الاستیسیته  $E$ ، چگالی  $\rho$ ، کشش در تیر  $T$ ، سرعت  $v$ ، جرم  $m$  و ثابت فنر  $k$  در نظر گرفته شده است.



شکل (۱-۲) نمای شماتیک مسأله تماس دینامیکی

برای فرمول‌بندی از سیستم مختصات کارتزین،  $(x,y,z)$  استفاده شده است.  $x$  جهت محوری تیر،  $y$  در جهت عمق تیر و  $z$  در راستای عرضی بوده که از صفحه میانی اندازه‌گیری می‌شود. برای جابه‌جایی جرم محرك نسبت به زمان  $(t)$  و نیروی تماسی زمانی که جرم با تیر تماس دارد،  $f_c$  در نظر گرفته

شده است. بر طبق این تئوری جابه‌جایی‌ها در جهت‌های  $x$ ,  $y$ ,  $z$  به ترتیب  $v_0(x, y, z, t)$ ,  $u_0(x, y, z, t)$  و  $w_0(x, y, z, t)$  بیان می‌شود، با در نظر گرفتن حرکت به صورت صفحه‌ای، مؤلفه جابه‌جایی در راستای  $y$  صفر خواهد بود.

$$\begin{aligned} u_x &= u_0(x, z, t) = u(x, t) - Z \frac{dw(x, t)}{dx} \\ u_y &= v_0(x, z, t) = 0 \\ u_z &= w_0(x, z, t) = w(x, t) \end{aligned} \quad (1-2)$$

در معادلات (1-2) پارامتر  $Z$  فاصله تا خط مرکزی تیر می‌باشد؛ با تعیین انرژی کرنشی، انرژی جنبشی و کار نیروهای خارجی به کمک این میدان جابه‌جایی و با بهره گرفتن از اصل همیلتون رابطه‌های حاکم بر مسئله استخراج می‌شود. بر اساس روابط کرنش-جانشی-کارمن مؤلفه‌های کرنش عبارت‌اند از [۱۸]:

$$\begin{aligned} \epsilon_x &= \frac{\partial u_0}{\partial x} + \frac{1}{2} \left( \frac{\partial w_0}{\partial x} \right)^2 & \gamma_{xy} &= \frac{1}{2} \left[ \frac{\partial u_0}{\partial y} + \frac{\partial v_0}{\partial x} + \left( \frac{\partial w_0}{\partial x} \frac{\partial w_0}{\partial y} \right) \right] \\ \epsilon_y &= \frac{\partial v_0}{\partial y} + \frac{1}{2} \left( \frac{\partial w_0}{\partial y} \right)^2 & \gamma_{yz} &= \frac{1}{2} \left[ \frac{\partial v_0}{\partial z} + \frac{\partial w_0}{\partial y} \right] \\ \epsilon_z &= \frac{\partial w_0}{\partial z} & \gamma_{xz} &= \frac{1}{2} \left[ \frac{\partial u_0}{\partial z} + \frac{\partial w_0}{\partial x} \right] \end{aligned} \quad (2-2)$$

جمله‌های غیرخطی موجود در رابطه فن-کارمن درنهایت باعث غیرخطی شدن معادله‌ها خواهد شد. به این ترتیب با استفاده از میدان جابه‌جایی (2-2) رابطه‌های میدان کرنش تعیین می‌شود.

$$\begin{aligned} \epsilon_x &= \frac{\partial u}{\partial x} - Z \frac{\partial^2 w}{\partial x^2} + \frac{1}{2} \left( \frac{\partial w}{\partial x} \right)^2 & \gamma_{xy} &= 0 \\ \epsilon_y &= 0 & \gamma_{yz} &= 0 \\ \epsilon_z &= 0 & \gamma_{xz} &= 0 \end{aligned} \quad (3-2)$$

مؤلفه میدان تنش به صورت زیر تعیین می‌شود.

$$\sigma_x = E \epsilon_x \quad (4-2)$$

### ۳-۲-محاسبه انرژی پتانسیل

چگالی انرژی کرنشی تیر به صورت زیر تعریف می‌گردد:

$$U^* = \sigma_x \epsilon_x + \sigma_y \epsilon_y + \sigma_z \epsilon_z + \tau_{xy} \gamma_{xy} + \tau_{xz} \gamma_{xz} + \tau_{yz} \gamma_{yz} \quad (5-2)$$

تغییرات انرژی کرنشی  $U^*$  با جایگزینی مقادیر صفر یکی از مؤلفه‌های تنش باقی می‌ماند که

عبارت‌اند از:

$$\delta U^* = \sigma_x \delta \epsilon_x \quad (6-2)$$

با جایگزینی مؤلفه‌های کرنش (۳-۲) در (۶-۲) و انرژی پتانسیل جرم و فنر، تغییرات انرژی

پتانسیل سیستم به صورت زیر بیان می‌گردد:

$$\delta U = \int_0^L \int_A \sigma_x [\delta \frac{\partial u}{\partial x} - Z \delta \frac{\partial^2 w}{\partial x^2} + \frac{\partial w}{\partial x} \delta (\frac{\partial w}{\partial x})] dA dx + k \xi \delta \xi \quad (7-2)$$

انرژی کرنشی تیر در حال کشش تحت حرکت سیستم جرم و فنر که برای تیر، با انتگرال‌گیری چگالی انرژی کرنشی بر روی حجم به دست می‌آید. المان حجم به صورت ( $dAdx$ ) در نظر گرفته شده

است که در آن محدوده تغییرات مؤلفه‌های محورهای مختصات، به صورت  $0 \leq x \leq L$ ،  $\frac{-b}{2} \leq y \leq \frac{b}{2}$  است که در آن محدوده تغییرات مؤلفه‌های محورهای مختصات، به صورت  $0 \leq x \leq L$ ،  $\frac{-h}{2} \leq z \leq \frac{h}{2}$  می‌باشد.

منتجه‌های تنش به صورت زیر تعریف شده‌اند:

$$N_x = \int_A \sigma_x dA \quad M_x = \int_A \sigma_x Z dA \quad (8-2)$$

با توجه به منتجه‌های تنش، انرژی پتانسیل به صورت زیر محاسبه می‌شود:

$$\delta U = \int_0^L [N_x (\delta \frac{\partial u}{\partial x} + \frac{\partial w}{\partial x} \delta (\frac{\partial w}{\partial x})) - M_x \delta \frac{\partial^2 w}{\partial x^2}] dx + k \xi \delta \xi \quad (9-2)$$

### ۴-۲-محاسبه انرژی جنبشی

انرژی جنبشی تیر در حال کشش تحت حرکت سیستم جرم و فنر به صورت زیر به دست می‌آید:

$$K = \frac{1}{2} \rho A \int_0^L [(\frac{\partial u}{\partial t})^2 + (\frac{\partial w}{\partial t})^2] dx + \frac{1}{2} m (\dot{\xi}^2 + v^2) \quad (10-2)$$

تغییرات انرژی کرنشی به صورت زیر بیان می‌شود:

$$\delta K = \rho A \int_0^L [(\frac{\partial u}{\partial t} \delta \frac{\partial u}{\partial t}) + (\frac{\partial w}{\partial t} \delta \frac{\partial w}{\partial t})] dx + m (\dot{\xi} \delta \dot{\xi}) \quad (11-2)$$

### ۵-۲-کار نیروهای خارجی

کار حاصل از نیروی خارجی بر روی تیر در حال کشش تحت حرکت سیستم جرم و فنر از دو بخش شامل؛ کار انجام شده توسط نیروی محوری (کشش) و کار انجام شده عرضی که حاصل از نیروی تماسی بین تیر و سیستم جرم و فنر و وزن تیر است.

با جایگزینی رابطه (۱-۲) تغییرات کار نیروی خارجی به صورت زیر تعیین می‌گردد.

$$\delta W_{nc} = \int_0^L \{ [-\rho g A + f_c \delta(x - vt)] \delta w + T \delta(x - L) \delta u \} dx - f_c \delta \dot{\xi} \quad (12-2)$$

### ۶-۲-تعیین معادلات حرکت با استفاده از اصل همیلتون

معادلات حاکم بر حرکت تیر در حال کشش تحت حرکت جرم و فنر محرک در بازه زمانی  $[t_1, t_2]$  باید اصل همیلتون را ارضا کند.

بر اساس اصل همیلتون  $[18]:$

$$\delta H = \int_{t_1}^{t_2} [\delta K - \delta U + \delta W_{nc}] dt = 0 \quad (13-2)$$

$\delta K$  تغییرات انرژی جنبشی،  $\delta U$  تغییرات انرژی کرنشی و  $\delta W_{nc}$  تغییرات کار نیروهای خارجی را نشان می‌دهد. با به کار گیری رابطه‌های (۹-۲)، (۱۱-۲) و (۱۲-۲) در اصل همیلتون و محاسبه انتگرال جزء به جزء خواهیم داشت:

$$\begin{aligned} \delta H = & \int_{t_1}^{t_2} \left[ \int_0^L \left[ \left( \frac{dN_x}{dx} - \rho A \frac{d^2 u}{dt^2} + T \delta(x-L) \right) \delta u \right. \right. \\ & + \left( \left( \frac{d^2 M_x}{dx^2} + \frac{d}{dx} \left( N_x \frac{dw}{dx} \right) \right) - \rho A \frac{d^2 w}{dt^2} - \rho g A + f_c \delta(x-vt) \right) \delta w \left. \right] dx \\ & \left. \left. + (-m \ddot{\xi} - k \dot{\xi} - f_c) \delta \xi \right] dt = 0 \right] \end{aligned} \quad (14-2)$$

طبق اصل اساسی حساب تغییرات معادله‌های حرکت بر اساس منتجه‌های تنش به صورت زیر بیان

می‌گردد:

$$\delta u : \quad \rho A \frac{d^2 u}{dt^2} - \frac{dN_x}{dx} = 0 \quad (15-2)$$

$$\delta w : \quad \rho A \frac{d^2 w}{dt^2} - \left( \frac{d^2 M_x}{dx^2} + \frac{d}{dx} \left( N_x \frac{dw}{dx} \right) \right) = -\rho g A + f_c \delta(x-vt) \quad (16-2)$$

$$\delta \xi : \quad m \ddot{\xi} + k \dot{\xi} = -f_c \quad (17-2)$$

معادله‌های (15-2)، (16-2) به ترتیب مربوط به ارتعاشات طولی و ارتعاشات عرضی تیر و معادله (17-2) مربوط به سیستم جرم و فنر می‌باشد؛ شرایط مرزی مسئله نیز برای حالت تکیه‌گاه گیر دار-

تکیه‌گاه ساده بر اساس منتجه‌های تنش به صورت زیر بیان خواهد شد.

$$\begin{aligned} u &= 0 \quad \text{at} \quad x = 0 \quad N_x &= T \quad \text{at} \quad x = L \\ w &= 0 \quad \text{at} \quad x = 0 \quad w &= 0 \quad \text{at} \quad x = L \\ \frac{dw}{dx} &= 0 \quad \text{at} \quad x = 0 \quad \frac{d^2 w}{dx^2} &= 0 \quad \text{at} \quad x = L \end{aligned} \quad (18-2)$$

## ۷-۲- قید تماس دینامیکی

فاصله نسبی بین تیر در حال کشش و سیستم جرم و فنر محرك مسئله بسیار مهمی است که می‌تواند بر رفتارهای دینامیکی مسئله تأثیر بگذارد و قید معادله‌ها برای زمان تماس و هم برای زمان جدایش در نظر گرفته شود، جابه‌جایی‌های جرم محرك و تیر را با یک فاصله بین جرم و تیر G نشان داده می‌شود.

$$G(x, t) = w(x, t)_{x=vt} - \xi(t) \quad (19-2)$$

زمانی که  $G(x,t)$  بزرگ‌تر از صفر باشد تماس اتفاق نخواهد افتاد زیرا تیر در موقعیتی از  $x=vt$  قرار داد؛ که بلندتر از موقعیت جرم محرک است و زمانی که  $G(x,t)$  مساوی صفر است تماس بین تیر و جرم محرک اتفاق خواهد افتاد زیرا جابه‌جایی نسبی بین تیر و جرم محرک صفر خواهد شد و نیروی تماسی بهصورت تابع زیر بیان می‌گردد.

$$f_c = \begin{cases} F_c & G(x,t) = 0 \\ 0 & G(x,t) > 0 \end{cases} \quad (20-2)$$

با بیان معادله (20-2) معادله‌های حرکت بهصورت دو دسته معادله تعریف می‌شود:

۱. زمانی که  $G(x,t)=0$

$$G(x,t) = 0 \rightarrow \xi(t) = w(x,t)_{x=vt} \quad (21-2)$$

با استفاده از معادله (19-2) می‌توان شتاب جرم و فنر را بر حسب  $W$  به دست آورد:

$$\ddot{\xi}(t) = \left( \frac{\partial^2 w}{\partial t^2} + 2v \frac{\partial^2 w}{\partial x \partial t} + v^2 \frac{\partial^2 w}{\partial x^2} \right)_{x=vt} \quad (22-2)$$

با جایگذاری (21-2) و (22-2) در معادله (17-2) :

$$(m \left( \frac{\partial^2 w}{\partial t^2} + 2v \frac{\partial^2 w}{\partial x \partial t} + v^2 \frac{\partial^2 w}{\partial x^2} \right) + kw)_{x=vt} = -F_c \quad (23-2)$$

معادله (23-2) نیروی تماسی را در زمان تماس محاسبه می‌کند.

۲. زمانی که  $G(x,t)>0$

اگر نیروهای تماسی به صفر میل کند بین تیر و سیستم جرم و فنر فاصله ایجاد شده و معادله (17-2) بهصورت زیر بازنویسی خواهد شد.

$$m\ddot{\xi} + k\xi = 0 \quad (24-2)$$

در زمان جدایش چون تیر و سیستم جرم و فنر از هم جدا هستند هر کدام بهصورت مجزا ارتعاش کرده و معادلات آن‌ها نیز بهصورت مجزا بررسی می‌شود. در الگوریتم (1-5) روش حل مسأله تماس بیان شده است.

## ۸-۲- جمع‌بندی

در این فصل، بر اساس تئوری اویلر برنولی معادله‌های حاکم بر مسأله تماس دینامیکی برای تیر تحت کشش با یک سیستم جرم و فنر متحرک بر اساس منتجه‌های تنش استخراج گردیده است. با در نظر گرفتن رابطه‌های کرنش-جایه‌جایی فن کارمن معادله‌ها به صورت دو دستگاه معادله دیفرانسیل با مشتقات جزئی نسبت به متغیرهای زمان و مکان محاسبه می‌شود. نیروی تماسی نیز با استفاده از قید تماس محاسبه گردیده است. در فصل بعد، معادلات خطی به دست آمده، و پس از بی‌بعد سازی معادلات حاکم بر مسأله تماس دینامیکی، از روش گالرکین تفکیک متغیرها انجام می‌شود. معادله‌ها با مشتقات معمولی تابع زمان با ضرایب متغیر به دست آمده نیز با روش (رانجه کوتا مرتبه <sup>۴</sup>)<sup>۱</sup> حل خواهند شد.

---

<sup>۱</sup> Runge kutta order 4

### فصل سوم

## معادلات خطی و حل

### ۱-۳- مقدمه

در فصل قبل، معادلات حاکم بر ارتعاشات تیر تحت کشش با یک سیستم جرم و فنر متحرک بر اساس تئوری اویلر برنولی بر حسب منتجه‌های تنش استخراج گردید. در این فصل، با استفاده از منتجه‌ها، معادلات خطی به دست آمده، که این معادلات به صورت دو دستگاه معادله دیفرانسیل با مشتقات جزئی نسبت به متغیرهای زمان و مکان هستند. یک دستگاه برای زمان تماس سیستم جرم و فنر با تیر و دستگاه بعدی برای زمان جدایش بیان شده است. با توجه به اینکه روش‌های حل تحلیلی روش‌های دقیق‌تری هستند، اما در سال‌های اخیر روش‌های عددی راه حل‌های خوبی برای معادلات با مشتقات جزئی ارائه داده‌اند. بعد از بی‌بعد کردن معادلات، متغیرها با استفاده از روش گالرکین تفکیک شده و معادلات زمانی با ضرایب متغیر به دست آمده با روش (رانجه کوتا مرتبه ۴)<sup>۱</sup> حل گردیده است. برای حل انتگرال‌های حاصل از روش گالرکین<sup>۲</sup> از روش عددی (سیمپسون- $\frac{3}{8}$ )<sup>۳</sup> که از دقت مرتبه ۴ برخوردار است، استفاده شده است.

### ۲-۳- معادلات حرکت خطی

برای معادلات خطی منتجه‌های تنش به صورت زیر محاسبه می‌گردد.

$$\begin{aligned} N_x &= \iint_A \sigma_x dA = \iint_A E \epsilon_x dA = EA \left( \frac{du}{dx} \right) \\ M_x &= \iint_A \sigma_x Z dA = \iint_A E z \epsilon_x dA = -EI \left( \frac{d^2 w}{dx^2} \right) \end{aligned} \quad (1-3)$$

با جای‌گذاری رابطه‌های (۱-۳) در (۱۵-۲) و (۱۶-۲) معادلات خطی حاکم بر مسئله به دست خواهد آمد.

<sup>1</sup> Runge kutta order 4

<sup>2</sup> Galerkin method

<sup>3</sup> Simpson rule $\frac{3}{8}$

$$\rho A \frac{\partial^2 u}{\partial t^2} - EA \left( \frac{\partial^2 u}{\partial x^2} \right) = 0 \quad (2-3)$$

$$\rho A \frac{\partial^2 w}{\partial t^2} + EI \frac{\partial^4 w}{\partial x^4} - EA \frac{\partial}{\partial x} \left( \frac{\partial u}{\partial x} \frac{\partial w}{\partial x} \right) = -\rho g A + f_c \delta(x - vt) \quad (3-3)$$

معادله‌های (۲-۳) و (۳-۳) به ترتیب مربوط به ارتعاشات طولی و ارتعاشات عرضی تیر خطی

می‌باشد؛ شرایط مرزی مسئله نیز برای حالت تکیه‌گاه گیردار-تکیه‌گاه ساده بر اساس خیز طولی و عرضی تیر به صورت زیر بیان خواهد شد.

$$\begin{aligned} u &= 0 \quad \text{at} \quad x = 0 & EA \frac{du}{dx} &= T \quad \text{at} \quad x = L \\ w &= 0 \quad \text{at} \quad x = 0 & w &= 0 \quad \text{at} \quad x = L \\ \frac{dw}{dx} &= 0 \quad \text{at} \quad x = 0 & \frac{d^2 w}{dx^2} &= 0 \quad \text{at} \quad x = L \end{aligned} \quad (4-3)$$

اگر مقدار  $EA \frac{du}{dx} = T$  (کشش طولی تیر) در طول تیر ثابت فرض شود و با جای‌گذاری کشش

طولی تیر در (۳-۳) معادله حرکت سیستم به صورت زیر بازنویسی خواهد شد.

$$\rho A \frac{\partial^2 w}{\partial t^2} + EI \frac{\partial^4 w}{\partial x^4} - T \left( \frac{\partial^2 w}{\partial x^2} \right) = -\rho g A + f_c \delta(x - vt) \quad (5-3)$$

معادله (۵-۳) نشان‌دهنده ارتعاشات تیر در زمان تماس است که با جای‌گذاری معادله (۲۳-۲) در

آن به صورت زیر بازنویسی خواهد شد.

$$\begin{aligned} \rho A \frac{\partial^2 w}{\partial t^2} - T \frac{\partial^2 w}{\partial x^2} + EI \frac{\partial^4 w}{\partial x^4} + [m \left( \frac{\partial^2 w}{\partial t^2} + 2v \frac{\partial^2 w}{\partial x \partial t} + v^2 \frac{\partial^2 w}{\partial x^2} \right) \\ + kw] \delta(x - vt) = -\rho g A \end{aligned} \quad (6-3)$$

با محاسبه مقدار خیز تیر خطی از (۶-۳) و جای‌گذاری آن در (۲۳-۲) مقدار نیروی تماسی و خیز

در زمان تماس محاسبه خواهد شد؛ اما در زمان جدایش سیستم جرم و فنر از تیر بر اساس فرمول

(۲۰-۲) به صورت زیر بیان می‌گردد.

$$\rho A \frac{\partial^2 w}{\partial t^2} + EI \frac{\partial^4 w}{\partial x^4} - T \frac{\partial^2 w}{\partial x^2} = -\rho g A \quad (7-3)$$

با حل دستگاه معادله (۷-۳) و (۲۴-۲) مقدار خیز تیر خطی و سیستم جرم و فنر به صورت مجزا محاسبه شده و اگر اختلاف آن خیلی کم شد، نشانه تماس مجدد سیستم جرم و فنر با تیر می‌باشد. شرایط مرزی مسأله به صورت زیر بازنویسی می‌گردد.

$$\begin{aligned} w = 0 & \quad \text{at } x = 0 & w = 0 & \quad \text{at } x = L \\ \frac{dw}{dx} = 0 & \quad \text{at } x = 0 & \frac{d^2w}{dx^2} = 0 & \quad \text{at } x = L \end{aligned} \quad (8-3)$$

### ۳-۳-بی بعد سازی

از آن جا که در تعیین حل این دستگاه معادلات برای زمان جدایش و تماس، بین سیستم جرم و فنر و تیر در حال کشش از روش گالرکین و رانجه کوتا استفاده شده است. در ابتدا پارامترهای بی بعد زیر معرفی می‌گردد [۱۹].

$$x^* = \frac{x}{L}; t^* = \frac{t}{L^2 \sqrt{\rho A}}; w^* = \frac{w}{L}; \xi^* = \frac{\xi}{L}; \delta^*(t) = L\delta(t); v^* = vL\sqrt{\frac{\rho A}{EI}} \quad (9-3)$$

$x^*$  و  $t^*$  به ترتیب مکان و زمان بی بعد،  $w^*$  جابه‌جایی عرضی بی بعد تیر که مربوط به  $w$  بوده و  $\xi^*$  جابه‌جایی بی بعد سیستم جرم و فنر است.  $\delta^*$  بی بعد تابع دلتای دیراک و  $v^*$  سرعت حرکت سیستم جرم و فنر بی بعد شده را نشان می‌دهد؛ برای بی بعد کردن زمان و سرعت حرکت سیستم جرم و فنر محرک از فرکанс طبیعی اول تیر خطی اویلر برنولی استفاده شده است؛ که به صورت

$$\omega_{EB} = \sqrt{\frac{EI}{\rho AL^4}} \quad (9-4)$$

به صورت زیر تعیین می‌گردد.

$$\begin{aligned} \frac{\partial}{\partial x} &= \frac{1}{L} \frac{\partial}{\partial x^*}; \frac{\partial^2}{\partial x^2} = \frac{1}{L^2} \frac{\partial^2}{\partial x^{*2}}; \frac{\partial^4}{\partial x^4} = \frac{1}{L^4} \frac{\partial^4}{\partial x^{*4}}; \frac{\partial^2}{\partial x \partial t} = L \sqrt{\frac{\rho A}{EI}} \frac{\partial^2}{\partial x^* \partial t^*} \\ \frac{\partial^2}{\partial t^2} &= \frac{\rho AL^4}{EI} \frac{\partial^2}{\partial t^{*2}} \end{aligned} \quad (10-3)$$

با اعمال پارامترها و اپراتورهای بی بعد فوق در معادلات (۶-۳) و (۷-۳) پارامترهای بی بعد زیر نیز

تعریف می گردد.

$$\omega = \frac{\sqrt{\frac{k}{m}}}{\sqrt{\frac{EI}{\rho AL^4}}}; \phi = \frac{\rho AL}{m}; \alpha = \sqrt{\frac{AL^2}{I}}; \gamma = \frac{\rho g AL^3}{EI}; \beta = \sqrt{\frac{TL^2}{EI}}; F_c^* = \frac{FL^2}{EI}$$
(۱۱-۳)

۱۰ نسبت ضریب فریت بی بعد به جرم محرک بی بعد،  $\phi$  نسبت جرم تیر به جرم سیستم جرم و فنر،  $\alpha$  نسبت طول به سطح مقطع تیر،  $\gamma$  جرم تیر،  $\beta$  کشش طولی و  $F_c^*$  نیروی تماسی بی بعد را نشان می دهد. با جایگذاری معادله های (۹-۳)-(۱۱-۳) در معادله (۶-۳) در زمان تماس تیر خطی با سیستم جرم و فنر می توان آن ها را به صورت بی بعد بیان کرد.

$$\phi \frac{\partial^2 w^*}{\partial t^{*2}} - \beta^2 \phi \frac{\partial^2 w^*}{\partial x^{*2}} + \phi \frac{\partial^4 w^*}{\partial x^{*4}} + [\frac{\partial^2 w^*}{\partial t^{*2}} + 2v^* \frac{\partial^2 w^*}{\partial x^* \partial t^*} + v^{*2} \frac{\partial^2 w^*}{\partial x^{*2}} + \omega^2 w^*] \delta^*(x^* - v^* t^*) = -\gamma \phi$$
(۱۲-۳)

با جایگذاری معادله های (۹-۳)-(۱۱-۳) در معادله (۲۳-۲) نیروی تماسی به صورت زیر بیان می شود.

$$-F_c^* \phi = (\frac{\partial^2 w^*}{\partial t^{*2}} + 2v^* \frac{\partial^2 w^*}{\partial x^* \partial t^*} + v^{*2} \frac{\partial^2 w^*}{\partial x^{*2}} + \omega^2 w^*)_{x^* = v^* t^*}$$
(۱۳-۳)

با جایگذاری معادله های (۹-۳)-(۱۱-۳) در معادله (۷-۳) برای تیر خطی در زمان جدایش می توان مدل بی بعد را به صورت زیر بیان نمود.

$$\frac{\partial^2 w^*}{\partial t^{*2}} - \beta^2 \frac{\partial^2 w^*}{\partial x^{*2}} + \frac{\partial^4 w^*}{\partial x^{*4}} = -\gamma$$
(۱۴-۳)

با جایگذاری معادله های (۹-۳)-(۱۱-۳) در معادله (۲۴-۲) ارتعاش سیستم جرم و فنر به صورت زیر بیان می شود.

$$\ddot{\xi}^* + \omega^2 \xi = 0$$
(۱۵-۳)

با حل معادلات به طور همزمان، زمان جدایش، مقدار خیز تیر و مقدار نیروی تماسی محاسبه خواهد شد.

#### ۴-۳-روش گالرکین<sup>۱</sup>

روش گالرکین از معادله‌های حرکت برای حل استفاده کرده وتابع گالرکین نیز باید تمام شرایط مرزی مسئله را ارضانماید. در ابتدا متغیرهای زمان و مکان از هم تفکیک می‌گردد [۲۰].

$$w^*(x^*, t^*) = \sum_{i=1}^n q_i(t^*) \varphi_i(x^*) \quad (16-3)$$

در (۱۶-۳)،  $\varphi_i(x^*)$  تابع شکل و  $q_i(t^*)$  به عنوان پارامتر تابع زمان تعریف می‌گردد. با قرار دادن معادله (۱۶-۳) در معادله (۱۲-۳) برای زمان تماس دینامیکی بین سیستم جرم و فنر و تیر به صورت زیر بیان می‌شود.

$$\begin{aligned} & \phi \sum_{i=1}^n \ddot{q}_i(t^*) \varphi_i(x^*) - \beta^2 \phi \sum_{i=1}^n q_i(t^*) \varphi_i''(x^*) + \phi \sum_{i=1}^n q_i(t^*) \varphi_i^{(4)}(x^*) \\ & + [\sum_{i=1}^n \ddot{q}_i(t^*) \varphi_i(x^*) + 2v^* \sum_{i=1}^n \dot{q}_i(t^*) \varphi_i'(x^*) + v^{*2} \sum_{i=1}^n q_i(t^*) \varphi_i''(x^*) \\ & + \omega^2 \sum_{i=1}^n q_i(t^*) \varphi_i(x^*)] \delta^*(x^* - v^* t^*) = -\gamma \phi \end{aligned} \quad (17-3)$$

با ضرب کردن معادله (۱۷-۳) در تابع  $\varphi_j(x)$  و انتگرال‌گیری در بازه  $x^* = [0, 1]$  در (j=1, 2, ..., N) به صورت زیر بیان خواهد شد.

---

<sup>۱</sup> Galerkin method

$$\begin{aligned}
& \int_0^1 [\phi \sum_{i=1}^n \ddot{q}_i(t^*) \varphi_i(x^*) \varphi_j(x^*)] dx^* - \int_0^1 [\beta^2 \phi \sum_{i=1}^n q_i(t^*) \varphi_i''(x^*) \varphi_j(x^*)] dx^* \\
& + \int_0^1 [\phi \sum_{i=1}^n q_i(t^*) \varphi^{(4)}_i(x^*) \varphi_j(x^*)] dx^* + \int_0^1 [\sum_{i=1}^n \ddot{q}_i(t^*) \varphi_i(x^*) \\
& + 2v^* \sum_{i,j=1}^n \dot{q}_i(t^*) \varphi'_i(x^*) + v^{*2} \sum_{i=1}^n q_i(t^*) \varphi_i''(x^*) \\
& + \omega^2 \sum_{i=1}^n q_i(t^*) \varphi_i(x^*)] \varphi_j(x^*) \delta^*(x^* - v^* t^*) dx^* \\
& = \int_0^1 [-\gamma \phi \varphi_j(x^*)] dx^*
\end{aligned} \tag{18-۳}$$

انتگرال گیری از تابع دلتای دیراک به صورت زیر بیان می‌گردد.

$$\int_0^1 [\varphi_i(x^*) \delta^*(x^* - v^* t^*)] dx^* = \varphi_i(v^* t^*) \tag{19-۳}$$

با توجه به (۱۹-۳) معادله حرکت برای زمان تماس به صورت زیر بیان می‌شود.

$$\sum_{i=1}^n M_i \ddot{q}_i(t^*) + \sum_{i=1}^n C_i \dot{q}_i(t^*) + \sum_{i=1}^n K_i q_i(t^*) = P \tag{20-۳}$$

در (۲۰-۳) ضرایب متغیر معادله تماس دینامیکی تابع زمان، به صورت زیر در نظر گرفته می‌شود.

$$\begin{aligned}
M_i &= \delta_{ij} \int_0^1 \phi [\varphi_i(x^*) \varphi_i(x^*)] dx^* + \varphi_i(v^* t^*) \varphi_j(v^* t^*) \\
C_i &= 2v^* \varphi'_i(v^* t^*) \varphi_j(v^* t^*) \\
K_i &= \int_0^1 \phi [\beta^2 \varphi'_i(x^*) \varphi'_j(x^*) + \varphi''_i(x^*) \varphi''_j(x^*)] dx^* \\
& + v^{*2} \varphi''_i(v^* t^*) \varphi_j(v^* t^*) + \omega^2 \varphi_i(v^* t^*) \varphi_j(v^* t^*) \\
P &= \int_0^1 [-\gamma \phi \varphi_j(x^*)] dx^*
\end{aligned} \tag{21-۳}$$

برای زمان جدایش؛ اگر در معادله (۲۰-۳) اثر حرکت جرم و فنر در نظر گرفته نشود، به صورت زیر

خواهد شد.

$$\sum_{i=1}^n M'_i \ddot{q}_i(t^*) + \sum_{i=1}^n K'_i q_i(t^*) = P' \tag{22-۳}$$

ضریب‌های ثابت معادله (۲۲-۳) به صورت زیر معرفی می‌گردد.

$$\begin{aligned}
 M'_i &= \delta_{ij} \int_0^1 \phi[\varphi_i(x^*) \varphi_j(x^*)] dx^* \\
 K'_i &= \int_0^1 \phi[\beta^2 \varphi'_i(x^*) \varphi'_j(x^*) + \varphi''_i(x^*) \varphi''_j(x^*)] dx^* \\
 P' &= \int_0^1 [-\gamma \varphi_j(x^*)] dx^*
 \end{aligned} \tag{23-3}$$

### ۳-۵- شرایط اولیه

برای حل معادله‌های (۲۰-۳) و (۲۲-۳) نیاز به داشتن شرایط اولیه مسئله در خیز و سرعت می‌باشد؛ شرایط اولیه مسئله تماس در لحظه تماس و جدایش قابل تغییر است. برای لحظه اولیه در  $t^* = 0$  به صورت زیر بیان می‌گردد.

$$w^*(x^*, 0) = \sum_{i=1}^n q_i(0) \varphi_i(x^*) \tag{24-3}$$

$$\dot{w}^*(x^*, 0) = \sum_{i=1}^n \dot{q}_i(0) \varphi_i(x^*) \tag{25-3}$$

معادله‌های (۲۴-۳) و (۲۵-۳) به ترتیب ناشی از خیز و سرعت در نقطه صفر می‌باشد. با ضرب  $q_i(0)$  این معادله‌ها درتابع  $x^* = [0, 1]$  و انتگرال‌گیری در بازه  $[0, 1]$  مقدار  $\int_0^1 w^*(x^*, 0) \varphi_j(x^*) dx^*$  کردن این معادله‌ها در تابع  $\varphi_j(x)$  ( $j = 1, 2, \dots, N$ ) به صورت زیر بیان خواهد شد.

$$q_i(0) = \frac{\int_0^1 w^*(x^*, 0) \varphi_j(x^*) dx^*}{\int_0^1 \varphi_j^2(x^*) dx^*} \tag{26-3}$$

$$\dot{q}_i(0) = \frac{\int_0^1 \dot{w}^*(x^*, 0) \varphi_j(x^*) dx^*}{\int_0^1 \varphi_j^2(x^*) dx^*} \tag{27-3}$$

شرایط اولیه به دست آمده را می‌توان برای حل مسئله تماس و پرس استفاده نمود [۲۰].

### ۶-۳-تابع گالرکین

تابع گالرکین باید تمام شرایط مرزی معادله (۸-۳) را ارضاء نماید. با توجه به شکل مذکون مسئله؛

تابع گالرکین به صورت زیر بیان می‌گردد [۲۱].

• حالت تکیه‌گاه گیردار- ساده

$$B_i = \frac{(4i+1)}{4}\pi$$

$$\varphi_i(x^*) = \cosh(B_i x^*) - \cos(B_i x^*) - \cot(B_i)(\sinh(B_i x^*) - \sin(B_i x^*))$$

$$i = 1, 2, \dots, N \quad (28-3)$$

• حالت تکیه‌گاه ساده- ساده

$$\varphi_i(x^*) = \sin(i\pi x^*) \quad i = 1, 2, \dots, N \quad (29-3)$$

• حالت تکیه‌گاه گیردار- گیردار

$$B_i = \frac{(2i+1)}{2}\pi$$

$$\varphi_i(x^*) = (\cosh(B_i x^*) - \cos(B_i x^*))$$

$$- [\frac{\sinh(B_i) - \sin(B_i)}{\cosh(B_i) - \cos(B_i)}](\sinh(B_i x^*) - \sin(B_i x^*))$$

$$i = 1, 2, \dots, N \quad (30-3)$$

با توجه به معادلات (۲۸-۳)-(۳۰-۳) تابع گالرکین مورد نظر به دست آمده است؛ در ادامه این تابعها

در ضرایب (۲۱-۳) و (۲۲-۳) قرار می‌گیرد تا مقدار انتگرال‌ها محاسبه گردد.

### ۷-۳-محاسبه ضرایب

در بخش قبل تابع گالرکین محاسبه شد؛ انتگرال‌گیری از این توابع به صورت عددی انجام می‌شود

که روش مورد نظر در این پایان‌نامه (سیمپسون<sup>۱</sup>)<sup>۳</sup>/<sub>۸</sub> می‌باشد.

برای بیان حل به صورت زیر استفاده شده است [۲۲].

<sup>1</sup> Simpson rule<sup>3</sup>/<sub>8</sub>

$$I = \int_a^b f(x) dx \quad (31-3)$$

برای محاسبه انتگرال (۳۱-۳) از روش سیمپسون گام و تابع به صورت زیر به دست می آید.

$$h = \frac{b-a}{3} \quad (32-3)$$

$$F(x) = f(x)$$

برای محاسبه انتگرال به صورت زیر بیان می گردد.

$$I \approx \frac{3h}{8} [F(a) + 3F(a+h) + 3F(a+2h) + F(b)] \quad (33-3)$$

مقدار خطا در این روش به صورت زیر محاسبه می گردد.

$$\text{error} = \frac{-3}{80} h^5 \frac{F''(b) - F''(a)}{b-a} \quad (34-3)$$

چون خطا در این روش از (مرتبه ۴)<sup>۱</sup> بوده و بازه حل انتگرال کوچک است؛ لذا دقّت خوبی برای حل عددی انتگرال‌های ضرایب دارد. برای به دست آوردن انتگرال‌های عددی (۲۱-۳)، (۲۳-۳)، (۲۶-۳) و (۲۷-۳) باید ابتدا مقدار (۳۲-۳) محاسبه گردد و در ادامه جواب در (۳۳-۳) قرار گیرد تا مقدار عددی انتگرال محاسبه گردد.

### ۸-۳- حل معادلات معمولی

برای ساده‌سازی فرم ماتریسی معادلات حرکت می‌توان در معادلات حرکت، ضرایب، شرایط اولیه و تابع شکل به دست آمده مقدار ۱ و زرا مساوی ۱ قرار داد؛ که به صورت زیر بیان می‌گردد [۱۹].

معادله حرکت سیستم در زمان تماس برای تیر خطی:

$$M_l \ddot{q}_l(t^*) + C_l \dot{q}_l(t^*) + K_l q_l(t^*) = P \quad (35-3)$$

ضرایب متغیر تابع زمان معادله (۳۵-۳)، به صورت زیر بیان می‌گردد.

---

<sup>۱</sup> Order 4

$$\begin{aligned}
 M_l &= \phi + \varphi_l^2(v^* t^*) \\
 C_l &= 2v^* \varphi'_l(v^* t^*) \varphi_l(v^* t^*) \\
 K_l &= \int_0^1 \phi [\beta^2 \varphi_l'(x^*) + \varphi_l''(x^*)] dx^* + v^{*2} \varphi_l''(v^* t^*) \varphi_l(v^* t^*) + \omega^2 \varphi_l^2(v^* t^*) \\
 P &= \int_0^1 [-\gamma \phi \varphi_l(x^*)] dx^*
 \end{aligned} \tag{36-۳}$$

معادله حرکت سیستم در حالت جدایش برای تیر خطی:

$$M_l \ddot{q}_l(t^*) + K_l q_l(t^*) = P \tag{37-۳}$$

ضرایب ثابت معادله (۳۷-۳)، به صورت زیر بیان می‌شود.

$$\begin{aligned}
 M'_l &= \phi \\
 K'_l &= \int_0^1 \phi [\beta^2 \varphi_l'(x^*) + \varphi_l''(x^*)] dx^* \\
 P' &= \int_0^1 [-\gamma \phi \varphi_l(x^*)] dx^*
 \end{aligned} \tag{38-۳}$$

شرایط اولیه:

$$q_l(0) = \frac{\int_0^1 w^*(x^*, 0) \varphi_l(x^*) dx^*}{\int_0^1 \varphi_l^2(x^*) dx^*} \tag{39-۳}$$

$$\dot{q}_l(0) = \frac{\int_0^1 \dot{w}^*(x^*, 0) \varphi_l(x^*) dx^*}{\int_0^1 \varphi_l^2(x^*) dx^*} \tag{40-۳}$$

تابع به دست آمده گالرکین:

• حالت تکیه‌گاه گیردار-ساده

$$\begin{aligned}
 B_l &= \frac{5}{4}\pi \approx 3.927 & \cot(B_l) &\approx 1.001 \\
 \varphi_l(x^*) &= \cosh(B_l x^*) - \cos(B_l x^*) - \cot(B_l)(\sinh(B_l x^*) - \sin(B_l x^*)) \tag{41-۳}
 \end{aligned}$$

• حالت تکیه‌گاه ساده-ساده

$$\varphi_1(x^*) = \sin(\pi x^*) \quad (42-3)$$

• حالت تکیه‌گاه گیردار-گیردار

$$B_1 = \frac{3}{2}\pi \approx 4.73 \quad \frac{\sinh(B_1) - \sin(B_1)}{\cosh(B_1) - \cos(B_1)} \approx 0.983$$

$$\varphi_1(x^*) = (\cosh(B_1 x^*) - \cos(B_1 x^*))$$

$$- [\frac{\sinh(B_1) - \sin(B_1)}{\cosh(B_1) - \cos(B_1)}] (\sinh(B_1 x^*) - \sin(B_1 x^*)) \quad (43-3)$$

### ۱-۸-۳- کاهش مرتبه معادلات

در روش رانجه کوتا مرتبه ۴ معادله‌های مرتبه بالاتر (۳۵-۳) و (۳۷-۳) به مرتبه ۱ تبدیل می‌شود،

برای این منظور می‌توان از رابطه‌های زیر استفاده کرد [۲۲].

$$y_1 = q_i; y_2 = \dot{q}_i \quad (44-3)$$

با جای‌گذاری رابطه (۴۴-۳) در (۳۵-۳) و (۳۷-۳) دستگاه معادلات تیر خطی و سیستم جرم و فنر

محرك به صورت زیر به دست خواهد آمد.

تماس:

$$\frac{dy_1}{dt} = y_2$$

$$\frac{dy_2}{dt} = \frac{1}{M_i} [P - (C_i y_2 + K_i y_1)] \quad (45-3)$$

پرس:

$$\frac{dy_1}{dt} = y_2$$

$$\frac{dy_2}{dt} = \frac{1}{M'_i} [P' - (K'_i y_1)] \quad (46-3)$$

دستگاه معادلات (۴۵-۳) برای زمان تماس، با ضرایب متغیر و دستگاه (۴۶-۳) برای زمان پرس، با

ضرایب ثابت است؛ که باید به طور همزمان حل گرددند.

### ۲-۸-۳- حل دستگاه معادله

برای حل معادلات ابتدا گام زمانی مشخص می‌شود؛ بنابراین موقعیت حرکت سیستم جرم و فنر

به صورت  $t^* = \frac{x^*}{v}$  مورد بررسی قرار می‌گیرد. نقطه ابتدایی و انتهایی بازه مورد نظر نیز به صورت زیر بیان می‌شود.

با توجه به رابطه (۴۷-۳) گام زمانی به صورت زیر مشخص می‌گردد.

$$a = 0; b = \frac{1}{v} \quad (47-3)$$

$$h = \frac{b - a}{n} \quad (48-3)$$

مقدار  $n$  در معادله (۴۸-۳) در دست کاربر می‌باشد، با افزایش و کاهش آن می‌توان مقدار بازه را تغییر داد تا نقطه بهینه به دست آید. مقدار  $F'(t^*)$  و  $g'(t^*)$  برای دستگاه معادله (۴۵-۳) به صورت زیر بیان می‌شود.

$$\begin{aligned} \frac{dy_1}{dt} &= F(t^*) = y_2 \\ \frac{dy_2}{dt} &= g'(t^*) = \frac{1}{M_i} [P - (C_i y_2 + K_i y_1)] \end{aligned} \quad (49-3)$$

با محاسبه مقدار گام زمانی و تابع‌های (۴۹-۳)، مقدار ضرایب روش رانجه کوتا به صورت زیر بیان می‌شود.

$$\begin{aligned}
& k_1 \left\{ \begin{array}{l} F'_1 = hF'(t^*_{m}, y_{1m}, y_{2m}) \\ g'_1 = hg'(t^*_{m}, y_{1m}, y_{2m}) \end{array} \right\} \\
& k_2 \left\{ \begin{array}{l} F'_2 = hF(t^*_{m} + \frac{h}{2}, y_{1m} + \frac{F'_1}{2}, y_{2m} + \frac{g'_1}{2}) \\ g'_2 = hg(t^*_{m} + \frac{h}{2}, y_{1m} + \frac{F'_1}{2}, y_{2m} + \frac{g'_1}{2}) \end{array} \right\} \\
& k_3 \left\{ \begin{array}{l} F'_3 = hF(t^*_{m} + \frac{h}{2}, y_{1m} + \frac{F'_2}{2}, y_{2m} + \frac{g'_2}{2}) \\ g'_3 = hg(t^*_{m} + \frac{h}{2}, y_{1m} + \frac{F'_2}{2}, y_{2m} + \frac{g'_2}{2}) \end{array} \right\} \\
& k_4 \left\{ \begin{array}{l} F'_4 = hF(t^*_{m} + h, y_{1m} + F'_3, y_{2m} + g'_3) \\ g'_4 = hg(t^*_{m} + h, y_{1m} + F'_3, y_{2m} + g'_3) \end{array} \right\}
\end{aligned} \tag{50-۳}$$

با محاسبه ضرایب و قرار دادن در معادله زیر یک گام زمانی معادله به سمت جلو حرکت می‌کند تا زمانی این کار ادامه پیدا می‌کند که نقطه انتهای بازه به دست آید [۲۲].

$$\begin{aligned}
y_{1m+1} &= y_{1m} + \frac{1}{6}(F'_1 + 2F'_2 + 2F'_3 + F'_4) \\
y_{2m+1} &= y_{2m} + \frac{1}{6}(g'_1 + 2g'_2 + 2g'_3 + g'_4)
\end{aligned} \tag{51-۳}$$

در مقدارهای  $y_{1m}$  و  $y_{2m}$  با استفاده از شرایط اولیه مسئله محاسبه می‌گردد. برای حل دستگاه معادله (۴۶-۳) که برای زمان جدایش است، همه مراحل (۴۷-۳)-(۵۱-۳) تکرار می‌شود. البته در این پایان نامه از دستور ode45 برای حل استفاده شده که این دستور با استفاده از روش رانجه کوتا معادلات را حل می‌کند.

### ۹-۳-جمع‌بندی

در این فصل، ابتدا معادلات حاکم بر مسئله تماس دینامیکی، تیر خطی اویلر برنولی تحت کشش، با سیستم جرم و فنر محرک به‌دست آمد و بعد از بی‌بعد شدن با استفاده از عبارت در نظر گرفته شده متغیرهای مکان و زمان معادله از هم جدا گردید.تابع گالرکین به‌دست آمده شرایط مرزی هندسی و طبیعی را ارضا نمود. شرایط اولیه مسئله تماس دینامیکی به‌دست آورده شد که در زمان تماس و

جدایش منطبق بر آن لحظه می‌باشد. معادله‌ها با مشتق مرتبه دوم زمانی به مرتبه اول تبدیل گردید.  
برای حل از روش رانجه کوتا مرتبه ۴ استفاده شد و نمونه حلی با استفاده از این روش برای مسأله  
تماس تیر تحت کشش با سیستم جرم و فنر متحرک بیان گردید. در فصل آینده معادلات غیرخطی  
حاکم بر مسأله به دست خواهد آمد و آن‌ها را حل خواهد نمود.

((این صفحه خالی گذاشته شده است.))

فصل چهارم

## معادلات غیرخطی و حل آنها

## ۱-۴- مقدمه

در فصل قبل، معادلات حاکم بر ارتعاشات خطی تیر تحت کشش با یک سیستم جرم و فنر متحرک استخراج گردید. در این فصل، با استفاده از منتجه‌های تنش، معادلات غیرخطی به دست آمده، که این معادلات به صورت دو دستگاه معادله دیفرانسیل با مشتقات جزئی نسبت به متغیرهای زمان و مکان هستند. یک دستگاه برای زمان تماس سیستم جرم و فنر با تیر و دستگاه بعدی برای زمان جدایش بیان شده است. با توجه به اینکه روش‌های حل تحلیلی روش‌های دقیق‌تری هستند، اما در سال‌های اخیر روش‌های عددی راه حل‌های خوبی برای معادلات با مشتقات جزئی ارائه داده‌اند. بعد از بی‌بعد کردن معادلات، متغیرها با استفاده از روش گالرکین تفکیک شده و معادلات زمانی با ضرایب متغیر به دست آمده، به روش رانجه کوتا مرتبه ۴ حل گردیده است. برای حل انتگرال‌های حاصل از روش گالرکین<sup>۱</sup> از روش عددی (سیمپسون<sup>۲</sup>)<sup>۳</sup> که دقّت مرتبه ۴ برخوردار است، استفاده شده است.

## ۲-۴- معادلات حرکت غیرخطی

برای معادلات غیرخطی منتجه‌های تنش به صورت زیر محاسبه می‌گردد.

$$\begin{aligned} N_x &= \iint_A \sigma_x dA = \iint_A E\varepsilon_x dA = EA \left( \frac{du}{dx} + \frac{1}{2} \left( \frac{dw}{dx} \right)^2 \right) \\ M_x &= \iint_A \sigma_x Z dA = \iint_A Ez\varepsilon_x dA = -EI \left( \frac{d^2w}{dx^2} \right) \end{aligned} \quad (1-4)$$

با جای‌گذاری رابطه‌های (۱-۴) در (۱۵-۲) و (۱۶-۲) معادلات غیرخطی حاکم بر مسئله به دست خواهد آمد.

$$\rho A \frac{\partial^2 u}{\partial t^2} - EA \left( \frac{\partial^2 u}{\partial x^2} + \frac{\partial w}{\partial x} \left( \frac{\partial^2 w}{\partial x^2} \right) \right) = 0 \quad (2-4)$$

$$\rho A \frac{\partial^2 w}{\partial t^2} + EI \frac{\partial^4 w}{\partial x^4} - EA \frac{\partial}{\partial x} \left( \frac{\partial u}{\partial x} \frac{\partial w}{\partial x} + \frac{1}{2} \left( \frac{\partial w}{\partial x} \right)^3 \right) = -\rho g A + f_c \delta(x - vt) \quad (3-4)$$

<sup>1</sup> Galerkin method

<sup>2</sup> Simpson rule<sub>8</sub><sup>3</sup>

معادله‌های (۲-۴) و (۳-۴) به ترتیب مربوط به ارتعاشات طولی و ارتعاشات عرضی تیر غیرخطی

هستند؛ شرایط مرزی مسأله به صورت معادله (۴-۳) بیان می‌شود. مقدار  $\frac{du}{dx}$  (کشش طولی

تیر) در طول تیر ثابت فرض می‌شود و با جایگذاری کشش طولی تیر در (۳-۴) معادله حرکت تیر

غیرخطی به صورت زیر بازنویسی خواهد شد.

$$\rho A \frac{d^2w}{dt^2} + EI \frac{d^4w}{dx^4} - T \left( \frac{d^2w}{dx^2} \right) - \frac{3}{2} EA \left( \frac{d^2w}{dx^2} \right) \left( \frac{dw}{dx} \right)^2 = -\rho g A + f_c \delta(x - vt) \quad (4-4)$$

در معادله (۴-۴) جمله  $\frac{3}{2} EA \left( \frac{d^2w}{dx^2} \right) \left( \frac{dw}{dx} \right)^2$  معادلات را در زمان تماس به حالت غیرخطی بیان

می‌کند، با جایگذاری معادله (۲۳-۲) در آن به صورت زیر بازنویسی خواهد شد.

$$\begin{aligned} \rho A \frac{d^2w}{dt^2} + EI \frac{d^4w}{dx^4} - T \frac{\partial^2 w}{\partial x^2} - \frac{3}{2} EA \left( \frac{d^2w}{dx^2} \right) \left( \frac{dw}{dx} \right)^2 \\ + [m \left( \frac{\partial^2 w}{\partial t^2} + 2v \frac{\partial^2 w}{\partial x \partial t} + v^2 \frac{\partial^2 w}{\partial x^2} \right) + kw] \delta(x - vt) = -\rho g A \end{aligned} \quad (5-4)$$

با محاسبه مقدار خیز تیر غیرخطی از (۵-۴) و جایگذاری آن در (۲۳-۲) مقدار نیروی تماسی و خیز در زمان تماس محاسبه خواهد شد؛ اما در زمان پوش سیستم جرم و فنر از تیر بر اساس فرمول

(۲۰-۲) به صورت زیر بیان می‌گردد.

$$\rho A \frac{d^2w}{dt^2} + EI \frac{d^4w}{dx^4} - T \frac{d^2w}{dx^2} - \frac{3}{2} EA \left( \frac{d^2w}{dx^2} \right) \left( \frac{dw}{dx} \right)^2 = -\rho g A \quad (6-4)$$

با حل دستگاه معادله (۶-۴) و (۲۴-۲) مقدار خیز تیر غیرخطی و سیستم جرم و فنر به صورت مجزا محاسبه شده و اگر اختلاف آن خیلی کم شد نشانه تماس مجدد سیستم جرم و فنر با تیر می‌باشد؛ شرایط مرزی مسأله مانند (۸-۳) بیان می‌گردد.

### ۴-۳-۴- معادلات بی بعد غیرخطی

با جایگذاری معادله‌های (۱۱-۳)-(۹-۳)-(۵-۴) در معادله (۱۱-۳) در زمان تماس تیر غیرخطی با سیستم

جرم و فنر می‌توان آن‌ها را به صورت بی بعد بیان کرد.

$$\begin{aligned} \phi \frac{d^2 w^*}{dt^{*2}} + \phi \frac{d^4 w^*}{dx^{*4}} - \alpha^2 \phi \left( \frac{3}{2} \left( \frac{d^2 w^*}{dx^{*2}} \right) \left( \frac{dw^*}{dx^*} \right)^2 \right) - \beta^2 \phi \frac{d^2 w^*}{dx^{*2}} \\ + \left( \frac{\partial^2 w^*}{\partial t^{*2}} + 2v^* \frac{\partial^2 w^*}{\partial x^* \partial t^*} + v^{*2} \frac{\partial^2 w^*}{\partial x^{*2}} + \omega^2 w^* \right) \delta^*(x^* - v^* t^*) = -\gamma \phi \end{aligned} \quad (7-4)$$

معادله نیروی تماسی (۱۳-۳) است و با جایگذاری معادله‌های (۹-۳)-(۱۱-۳) در معادله (۶-۴) برای

تیر غیرخطی در زمان جدایش می‌توان مدل بی‌بعد را به صورت زیر بیان نمود.

$$\frac{d^2 w^*}{dt^{*2}} + \frac{d^4 w^*}{dx^{*4}} - \beta^2 \frac{\partial^2 w^*}{\partial x^{*2}} - \alpha^2 \left( \frac{3}{2} \left( \frac{d^2 w^*}{dx^{*2}} \right) \left( \frac{dw^*}{dx^*} \right)^2 \right) = -\gamma \quad (8-4)$$

معادله (۱۵-۳) ارتعاش سیستم جرم و فنر می‌باشد؛ با حل معادلات به طور همزمان، زمان جدایش،

مقدار خیز تیر و مقدار نیروی تماسی محاسبه خواهد شد.

#### ۴-۴-روش گالرکین<sup>۱</sup>

روش گالرکین از معادله‌های حرکت برای حل استفاده کرده و تابع گالرکین نیز باید تمام شرایط مرزی مسئله را ارضاء نماید. با قرار دادن معادله (۱۶-۳) در معادله (۷-۴) برای زمان تماس، بین سیستم جرم و فنر و تیر به صورت زیر بیان می‌شود.

$$\begin{aligned} \phi \sum_{i=1}^n \ddot{q}_i(t^*) \varphi_i(x^*) - \beta^2 \phi \sum_{i=1}^n q_i(t^*) \varphi_i''(x^*) + \phi \sum_{i=1}^n q_i(t^*) \varphi_i^{(4)}(x^*) \\ + \alpha^2 \phi \left( \frac{3}{2} \sum_{i=1}^n \sum_{k=1}^{n_k} \sum_{m=1}^{n_m} q_i(t^*) q_k(t^*) q_m(t^*) \varphi_i''(x^*) \varphi_k'(x^*) \varphi_m'(x^*) \right) \\ + \left[ \sum_{i=1}^n \ddot{q}_i(t^*) \varphi_i(x^*) + 2v^* \sum_{i=1}^n \dot{q}_i(t^*) \varphi_i'(x^*) + v^{*2} \sum_{i=1}^n q_i(t^*) \varphi_i''(x^*) \right. \\ \left. + \omega^2 \sum_{i=1}^n q_i(t^*) \varphi_i(x^*) \right] \delta^*(x^* - v^* t^*) = -\gamma \phi \end{aligned} \quad (9-4)$$

با ضرب کردن معادله (۹-۴) در تابع  $\varphi_j(x)$  و انتگرال‌گیری در بازه  $[0,1]$  (ج=۱, ۲, ..., N) در صورت زیر بیان خواهد شد.

---

<sup>۱</sup> Galerkin method

$$\begin{aligned}
& \int_0^1 [\phi \sum_{i=1}^n \dot{q}_i(t^*) \varphi_i(x^*) \varphi_j(x^*)] dx^* - \int_0^1 [\beta^2 \phi \sum_{i=1}^n q_i(t^*) \varphi_i''(x^*) \varphi_j(x^*)] dx^* \\
& + \int_0^1 [\phi \sum_{i=1}^n q_i(t^*) \varphi_i^{(4)}(x^*) \varphi_j(x^*)] dx^* \\
& + \int_0^1 [\alpha^2 \phi (\frac{3}{2} \sum_{i=1}^n \sum_{k=1}^{n_k} \sum_{m=1}^{n_m} q_i(t^*) q_k(t^*) q_m(t^*) \varphi_i''(x^*) \varphi_k'(x^*) \varphi_m'(x^*)) \varphi_j(x^*)] dx^* \\
& + \int_0^1 [\sum_{i=1}^n \dot{q}_i(t^*) \varphi_i(x^*) + 2v^* \sum_{i,j=1}^n \dot{q}_i(t^*) \varphi_i'(x^*) + v^{*2} \sum_{i=1}^n q_i(t^*) \varphi_i''(x^*) \\
& + \omega^2 \sum_{i=1}^n q_i(t^*) \varphi_i(x^*)] \varphi_j(x^*) \delta^*(x^* - v^* t^*) dx^* = \int_0^1 [-\gamma \phi \varphi_j(x^*)] dx^* \\
\end{aligned} \tag{10-4}$$

انتگرال گیری از تابع دلتای دیراک به صورت (۱۰-۳) بیان می‌گردد. با توجه به (۱۰-۴) معادله

حرکت برای زمان تماس به صورت زیر بیان می‌شود.

$$\begin{aligned}
& \sum_{i=1}^n M_i \ddot{q}_i(t^*) + \sum_{i=1}^n C_i \dot{q}_i(t^*) + \sum_{i=1}^n \sum_{k=1}^{n_k} \sum_{m=1}^{n_m} S_{ikm} q_i(t^*) q_k(t^*) q_m(t^*) \\
& + \sum_{i=1}^n K_i q_i(t^*) = P
\end{aligned} \tag{11-4}$$

در (۱۱-۴) ضرایب متغیر تابع زمان معادله زمانی مانند معادله (۲۱-۳) بیان شده و ضریب غیر-

خطی، به صورت زیر در نظر گرفته می‌شود.

$$S_{ikm} = \int_0^1 [\alpha^2 \phi (\frac{3}{2} \varphi_i''(x^*) \varphi_k'(x^*) \varphi_m'(x^*)) \varphi_j(x^*)] dx^* \tag{12-4}$$

برای زمان جدایش در (۱۱-۴) اثر حرکت جرم و فر در نظر گرفته نمی‌شود؛ که به صورت زیر بیان

خواهد شد.

$$\sum_{i=1}^n M'_i \ddot{q}_i(t^*) + \sum_{i=1}^n \sum_{k=1}^{n_k} \sum_{m=1}^{n_m} S'_{ijm} q_i(t^*) q_k(t^*) q_m(t^*) + \sum_{i=1}^n K'_i q_i(t^*) = P' \tag{13-4}$$

ضریب‌های ثابت معادله (۱۳-۴) مانند (۲۳-۳) بیان شده و ضریب غیرخطی پرش به صورت زیر معرفی می‌گردد.

$$S'_{ikm} = \int_0^1 [\alpha^2 \phi(\frac{3}{2} \varphi''_i(x^*) \varphi'_k(x^*) \varphi'_m(x^*)) \varphi_j(x^*)] dx^* \quad (14-4)$$

شرایط اولیه، تابع گالرکین و محاسبه ضرایب به ترتیب مانند بخش‌های ۳-۶، ۵-۳ و ۷-۳ به دست می‌آید.

#### ۴-۵- حل معادلات معمولی

برای ساده‌سازی فرم ماتریسی معادلات حرکت می‌توان در معادلات حرکت، ضرایب، شرایط اولیه و در تابع شکل به دست آمده مقدار  $j, k, i, m$  را مساوی ۱ قرار داد؛ که به صورت زیر بیان می‌گردد

[۱۹]

معادله حرکت تماس برای تیر غیرخطی:

$$M_l \ddot{q}_l(t^*) + C_l \dot{q}_l(t^*) + S_l q_l^3(t^*) + K_l q_l(t^*) = P \quad (15-4)$$

ضرایب متغیر تابع زمان معادله (۱۵-۴) مانند (۳۶-۳) بوده و ضریب غیرخطی، به صورت زیر بیان می‌گردد.

$$S_l = \int_0^1 [\alpha^2 \phi(\frac{3}{2} \varphi''_l(x^*) \varphi'_l(x^*)) \varphi_l(x^*)] dx^* \quad (16-4)$$

معادله حرکت جدایش برای تیر غیرخطی:

$$M'_l \ddot{q}_l(t^*) + S'_l q_l^3(t^*) + K'_l q_l(t^*) = P' \quad (17-4)$$

ضرایب ثابت معادله (۱۷-۴) مانند (۳۸-۳) بیان شده و ضریب غیرخطی، به صورت زیر بیان می‌شود.

$$S'_l = \int_0^1 [\alpha^2 \phi(\frac{3}{2} \varphi''_l(x^*) \varphi'_l(x^*)) \varphi_l(x^*)] dx^* \quad (18-4)$$

شرایط اولیه به صورت فرمول‌های (۳۹-۳) و (۴۰-۳) بیان شده و تابع گالرکین مانند (۴۱-۳)-(۴۳-۳) به دست می‌آید.

#### ۴-۵-۱- کاهش مرتبه معادلات

در روش رانجه کوتا مرتبه ۴ معادله‌های مرتبه بالاتر (۱۵-۴) و (۱۷-۴) به مرتبه ۱ تبدیل می‌شود، برای این منظور می‌توان با جایگذاری رابطه (۴۴-۳) در (۱۵-۴) و (۱۷-۴) دستگاه معادلات بین تیر غیرخطی و سیستم جرم و فنر محرک به صورت زیر به دست خواهد آمد.

تماس:

$$\begin{aligned}\frac{dy_1}{dt} &= y_2 \\ \frac{dy_2}{dt} &= \frac{1}{M_1} [P - (C_1 y_2 + S_1 y_1^3 + K_1 y_1)]\end{aligned}\quad (۱۹-۴)$$

پرش (جدایش):

$$\begin{aligned}\frac{dy_1}{dt} &= y_2 \\ \frac{dy_2}{dt} &= \frac{1}{M'_1} [P' - (K'_1 y_1 + S'_1 y_1^3)]\end{aligned}\quad (۲۰-۴)$$

دستگاه معادلات (۱۹-۴) و (۲۰-۴) باید به طور همزمان حل گردد.

#### ۴-۵-۲- حل دستگاه معادله

برای حل معادلات گام زمانی با فرمول (۴۸-۳) مشخص می‌شود و مقدار  $F'(t^*)$  و  $g'(t^*)$  برای دستگاه معادله (۱۹-۴) به صورت زیر بیان می‌شود.

$$\begin{aligned}\frac{dy_1}{dt} &= F'(t^*) = y_2 \\ \frac{dy_2}{dt} &= g'(t^*) = \frac{1}{M_1} [P - (C_1 y_2 + S_1 y_1^3 + K_1 y_1)]\end{aligned}\quad (۲۱-۴)$$

با محاسبه مقدار گام زمانی و تابع‌های (۲۱-۴) مقدار ضرایب روش رانجه کوتا مرتبه ۴ به صورت (۵۰-۳) بیان می‌شود. با محاسبه ضرایب و قرار دادن در معادله (۵۱-۳) یک گام زمانی معادله به سمت جلو حرکت می‌کند. آنقدر این کار ادامه پیدا می‌کند که تا نقطه انتهای بازه به دست آید. برای

حل دستگاه معادله (۴-۲۰) که برای زمان جدایش می‌باشد، همه مراحل بیان شده در قسمت بالا، تکرار می‌شود.

#### ۶-۴-جمع‌بندی

در این فصل، ابتدا معادلات حاکم بر مسأله تماس دینامیکی، تیر غیرخطی اویلر برنولی تحت کشش، با سیستم جرم و فنر محرك به‌دست آمد و بعد از بی‌بعد شدن با استفاده از عبارت در نظر گرفته شده متغیرهای مکان و زمان معادله از هم جدا گردید.تابع گالرکین به‌دست آمده شرایط مرزی هندسی و طبیعی را ارضا نمود. شرایط اولیه مسأله تماس دینامیکی به‌دست آورده شد؛ که در زمان تماس و جدایش منطبق بر آن لحظه می‌باشد. معادله‌ها با مشتق مرتبه دوم زمانی به مرتبه اول تبدیل گردید. برای حل از روش رانجه کوتا مرتبه ۴ استفاده گردید. نمونه حلی با استفاده از این روش برای مسأله تماس تیر تحت کشش با سیستم جرم و فنر متحرک بیان گردید. در فصل آینده، ابتدا مسأله عددی بیان شده و در ادامه در حالت خطی و غیر خطی الگوریتم، راه حل بیان می‌شود. نتایج حاصل از این تحقیق مانند مقایسه نیروی تماسی، خیز و جدایش معادلات حرکت در حالت خطی و غیرخطی و تأثیر متغیرهای کشش، سرعت و نسبت ضریب فنریت بی‌بعد شده نسبت به جرم محرك بی‌بعد بر مقدار جدایش و حداکثری نیروی تماسی مورد بررسی قرار می‌گیرد.

فصل پنجم

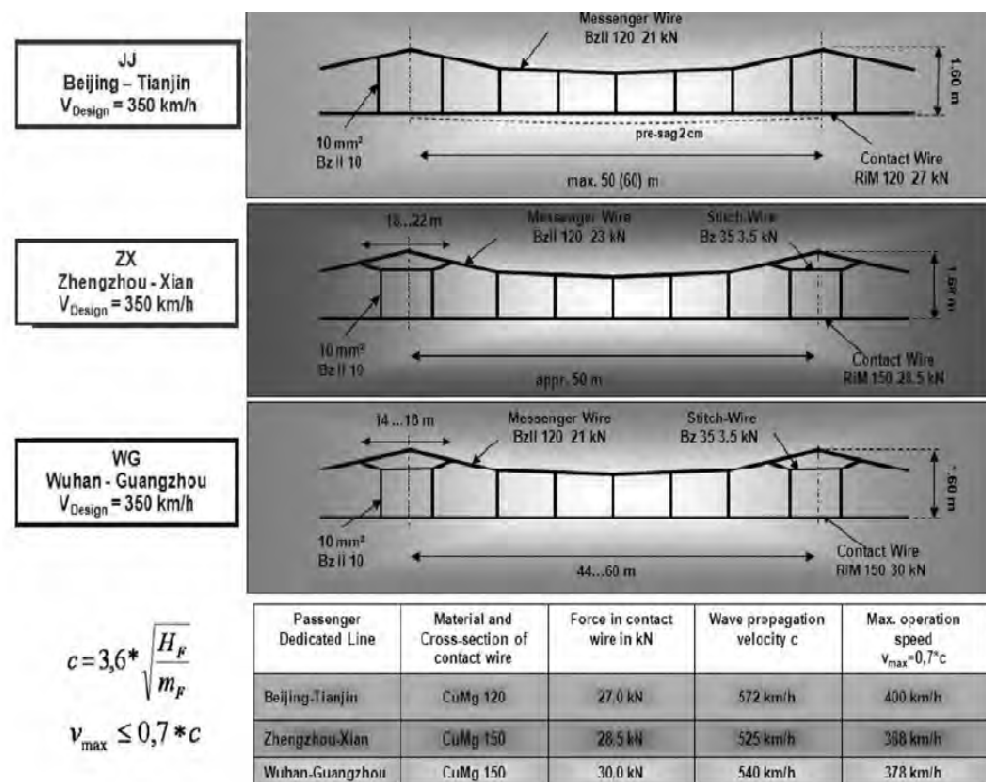
## شبیه‌سازی و نتایج

## ۱-۵- مقدمه

در دو فصل قبل، معادلات حاکم بر ارتعاشات خطی و غیرخطی تیر تحت کشش، با سیستم جرم و فنر متحرک به دست آمد و بعد از بی بعد سازی با استفاده از روش رانجه کوتاه حل گردید. در این فصل، ابتدا مقادیر پارامتری سیستم بیان می‌گردد. در حالت خطی الگوریتم، حل مسئله تماس دینامیکی با در نظر گرفتن شرط پرش و تماس بین تیر و سیستم جرم و فنر بیان می‌شود. مسئله تماس دینامیکی برای حالت خطی و غیرخطی مورد بررسی قرار گرفته و در ادامه با هم مقایسه خواهد شد.

## ۲-۵- مسئله عددی

با توجه به شکل (۱-۵) مشخصات شبکه بالاسری را می‌توان استخراج نمود [۲۳].



شکل (۱-۵) تماس با شبکه بالاسری در خط قطارهای پر سرعت چین با جنس، سطح مقطع، طول و مقدار حداقل سرعت

اطلاعات پانتوگرافی (DSA 350s) که سرعت مورد نظر را تأمین می‌کند. همچنین وزن، سختی فنر و سرعت جرم محرك با استفاده از گزارش‌های سی ان جنسن<sup>۱</sup> [۲۴] برای سیستم جرم و فنر محرك به همراه اطلاعات شبکه بالاسری در قالب جدول بیان می‌گردد.

جدول (۱-۵) اطلاعات شبکه بالاسری و سیستم جرم و فنر محرك

مرجع	اندازه	نوع پارامتر
۲۳	$۵۰\text{ (m)}$	طول تیر L
۲۳	$۱.۵ \times 10^{-۴}\text{ (m}^2)$	سطح مقطع جانبی تیر A
۲۳	$۹.۶۴ \times 10^{-۱}\text{ (m}^4)$	ممان اینرسی سطح مقطع I
۲۳	$۲.۸ \times 10^{-۴}\text{ (N)}$	کشش طولی تیر T
۱۷	$۸۹۰۰\text{ (kgm}^{-۳})$	چگالی $\rho$
۱۷	$۱.۳۴ \times 10^{-۱۱}\text{ (Nm}^{-۲})$	مدول الاستیسیته E
۲۴	$۱\text{ (kg)}$	جرم محرك m
۲۴	$۹۶۳\text{ (Nm}^{-۱})$	سختی فنر k
۲۴	$۵۰.۸\text{ (ms}^{-۱})$	سرعت v
-	$۹.۸۱\text{ (ms}^{-۲})$	شتاب جاذبه زمین g

داده‌های ذکر شده در جدول (۱-۵) اطلاعات مربوط به حل مسئله تماس دینامیکی را بیان می‌کند. با استفاده از این داده‌ها و جایگذاری در معادله‌های (۹-۳)-(۱۱-۳) مقادیر ضرایب بی‌بعد معادلات با تقریب به صورت زیر بیان می‌گردد.

جدول (۲-۵) مقادیر تقریبی ضرایب بی‌بعد

اندازه	نام ضریب
۶۷	نسبت وزن تیر به جرم محرك $\phi$
۱۹۷۲۳	نسبت طول تیر به سطح مقطع آن $\alpha$
۱۲۶۷۳	نسبت بی‌بعد شده جرم تیر $\gamma$
۷۳۶	کشش بی‌بعد $\beta$
۲۵۸	سرعت جرم و فنر بی‌بعد $v^*$
۷۸۸۶	نسبت ضریب فنریت بی‌بعد به جرم محرك بی‌بعد $\omega$

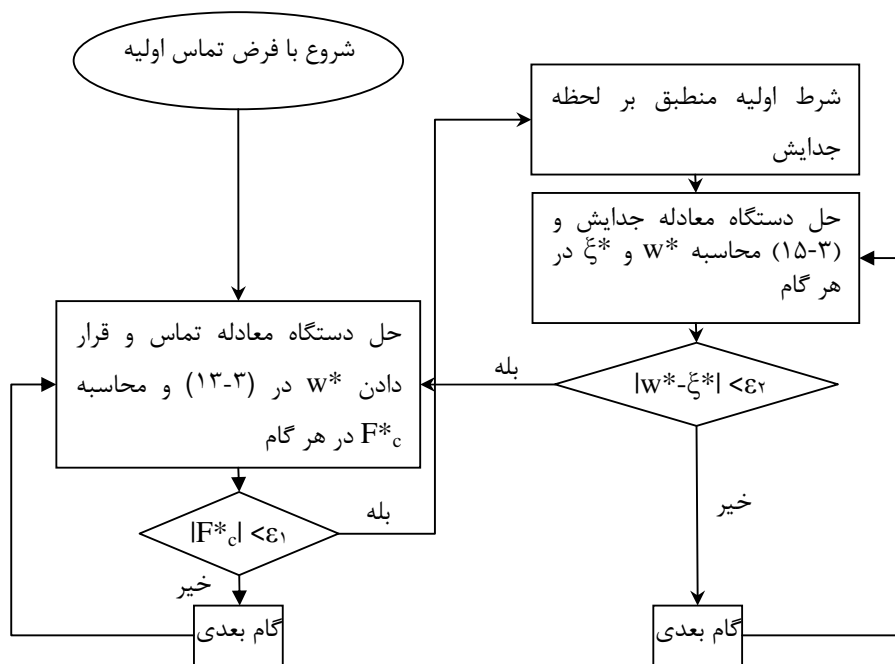
<sup>۱</sup> Carston Nordston Jensen

در جدول (۲-۵) مقادیر بی بعد شده با توجه به داده های جدول (۱-۵) بیان گردیده است. با در نظر گرفتن مقادیر این ضرایب در مسأله تماس دینامیکی، برای معادلات خطی و غیرخطی نتایجی به دست خواهد آمد.

### ۳-۵-نتایج

برای حل مسأله به صورت عددی ابتدا نیاز به نوشتن الگوریتمی برای آن است؛ که به صورت زیر بیان می گردد.

الگوریتم (۱-۵) روش حل مسأله تماس دینامیکی با در نظر گرفتن جدایش

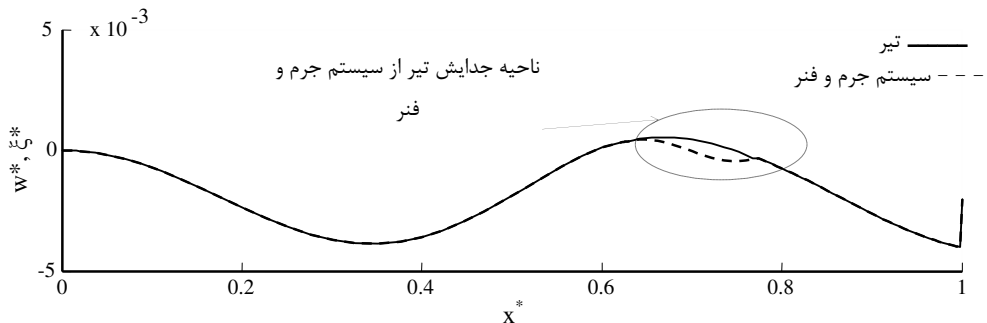


برای زمان جدایش و تماس مجدد در الگوریتم (۱-۵) عبارت شرط اولیه منطبق بر لحظه جدایش و تماس مجدد، بیان شده است.

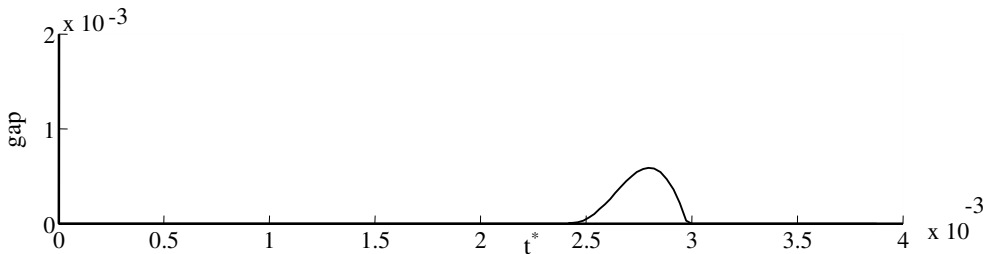
### ۱-۳-۵- تحلیل خطی

برای حل معادلات خطی باید در الگوریتم (۱-۵) برای زمان تماس از دستگاه (۴۵-۳) و زمان جدایش از دستگاه (۴۶-۳) استفاده نمود. با توجه به جدول (۲-۵) نتایج برای خیز، پرش، نیروی تماس بین تیر خطی در حالت یکسر گیر ساده و سیستم جرم و فنر به صورت زیر نشان داده می‌شود.

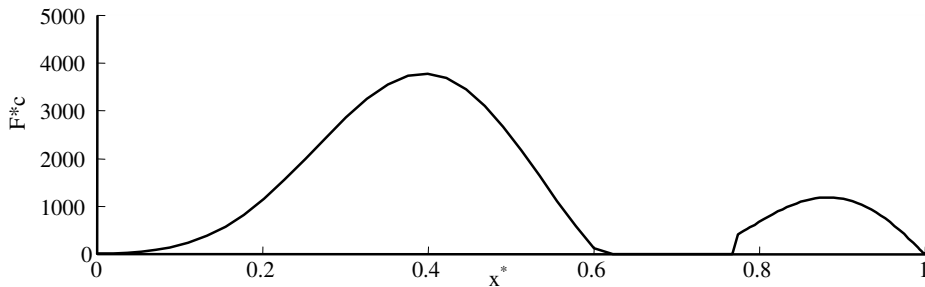
شکل (۲-۵) مقدار خیز تیر خطی و سیستم جرم و فنر را نشان می‌دهد که در طول تیر سیستم جرم و فنر از هم جدا شده و دوباره به آن باز می‌گردد. شکل (۳-۵) مقدار و زمان جدایش (پرش) تیر از سیستم جرم و فنر را نشان می‌دهد.



شکل (۲-۵) مقدار خیز بی بعد تیر خطی در حالت یکسر گیردار یکسر ساده (c-p) و سیستم جرم و فنر بر حسب مکان بی بعد



شکل (۳-۵) مقدار پرش بی بعد تیر خطی در حالت یکسر گیردار یکسر ساده (c-p) از سیستم جرم و فنر بر حسب زمان بی بعد



شکل (۴-۵) مقدار نیروی تماسی بی بعد بین تیر خطی و سیستم جرم و فنر بر حسب مکان بی بعد در حالت یکسر گیردار یکسر ساده (c-p)

با توجه به شکل (۴-۵) مقدار نیروی تماسی بین تیر خطی و سیستم جرم و فنر در حالت یکسر درگیر یکسر ساده محاسبه گردیده است.

### ۴-۱-۳-اعتبار سنجه

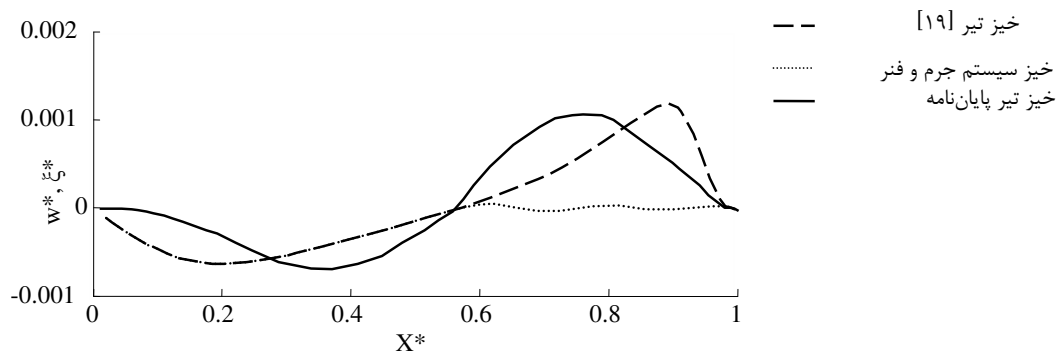
حل معادلات برای یک تیر خطی در حالت یکسر درگیر یکسر ساده با سیستم جرم و فنر حرک، ابتدا معادلات (۵-۳) و (۷-۳) بی بعد شده، سپس از روش اجزا محدود تفکیک گردیده و از روش آلفا تایم<sup>۱</sup> معادلات زمانی به دست آمده را، حل کرده است. داده‌های به صورت جدول زیر بیان می‌گردد [۱۹].

جدول (۳-۵) داده‌های مرجع [۱۹]

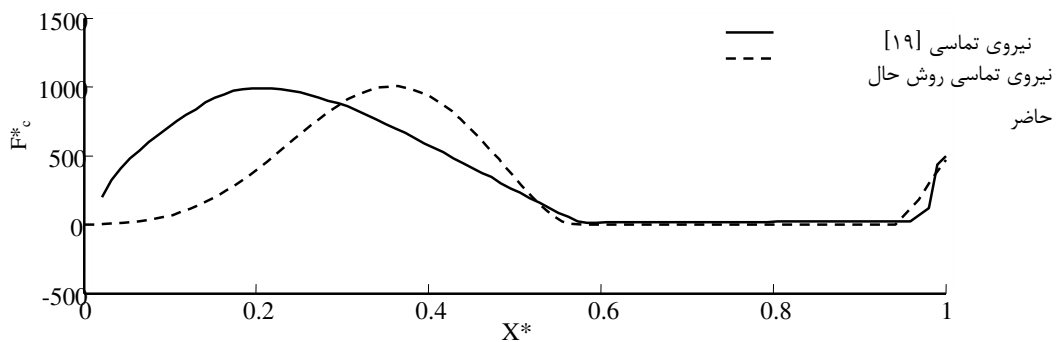
اندازه	نام ضریب
۵۰	نسبت وزن تیر به جرم حرک $\phi$
۵۲۷۰	نسبت طول تیر به سطح مقطع آن $\alpha$
۳۷.۲۷	نسبت بی بعد شده جرم تیر $\gamma$
$3 \times 10^{-3}$	کشش بی بعد $\beta$
۲۵۰	سرعت جرم و فنر بی بعد $v^*$
۹۰۰۰	نسبت ضریب فنریت بی بعد به جرم حرک بی بعد $\omega$

نتایج به صورت نموداری برای مقدار خیز و نیروی تماسی مورد بررسی قرار گرفته که به صورت زیر با روش موجود مقایسه می‌گردد.

<sup>۱</sup> Alfa time method



شکل (۵-۵) مقایسه خیز تیر با خیز تیر مرجع [۱۹] در حالت یکسر درگیر یکسر ساده



شکل (۶-۵) مقایسه نیروی تماسی با نیروی تماسی مرجع [۱۹] در حالت یکسر درگیر یکسر ساده

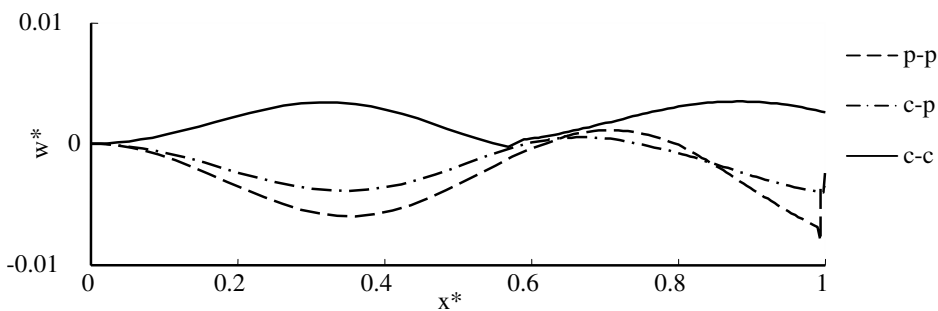
شکل (۵-۵) و شکل (۶-۵) نتایج این پایاننامه و مرجع [۱۹] را نشان می‌دهد، در مسأله تماس دینامیکی مقدار بیشینه و کمینه خیز و همچنین جدایش بسیار مهم است که در حل پایاننامه حاضر، به این مهم دست پیدا شده است و از ویژگی‌های روشن حل، رسیدن سریع به جواب با دقیقت خوب است.

### ۲-۱-۳-۵- شرایط مرزی

تیر در حال کشش در حالت خطی می‌تواند در شرایط مرزی مختلف مورد بررسی قرار گیرد، تأثیر شرایط مرزی بر مقدار حداکثری نیروی تماسی، جدایش و خیز مورد بررسی قرار داده شود. در این

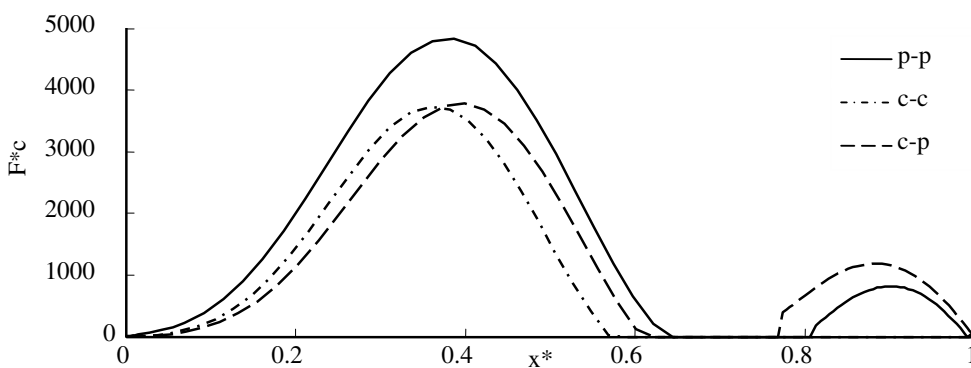
قسمت تیر در حالت‌های تکیه‌گاه گیردار-ساده، تکیه‌گاه ساده-ساده و تکیه‌گاه گیردار-گیردار که به ترتیب تابع گالرکین این شرایط مرزی در معادلات (۴۱-۳)-(۴۳-۳) به دست آورده شده است. مقدارهای عددی با استفاده از جدول (۲-۵) مورد بررسی قرار می‌گیرد.

مقدار خیز در شکل (۷-۵) برای شرایط مرزی مختلف نشان می‌دهد. در حالت تکیه‌گاه گیردار-ساده نسبت به دو سر ساده و دو سر گیردار؛ مقدار بیشینه خیز کمتر نشان داده شده است.



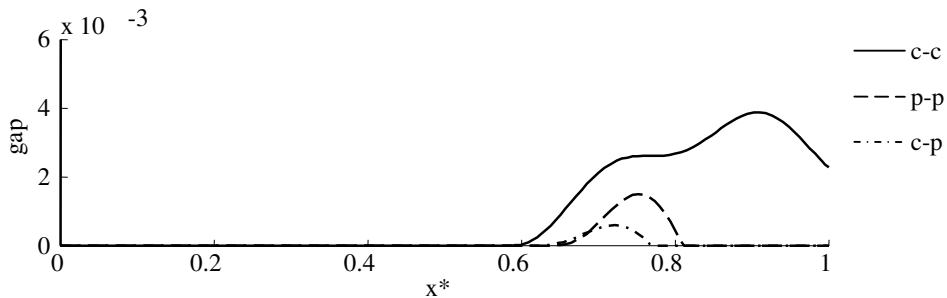
شکل (۷-۵) مقایسه خیز تیر بر حسب مکان بی بعد برای تیر خطی در شرایط مرزی تکیه‌گاه گیردار-ساده (c-p)، تکیه‌گاه ساده-ساده (p-p) و تکیه‌گاه گیردار-گیردار (c-c).

مقدار نیروی تماسی در شکل (۸-۵) مقدار متوسطی شرط تکیه‌گاه گیردار در ابتدای تیر و تکیه‌گاه ساده در انتهای تیر نسبت به دو شرط مرزی دیگر را نشان می‌دهد و این مقدار نیرو با توجه به گیردار بودن تیر در ابتدای آن اتفاق افتاده است.



شکل (۸-۵) مقایسه نیروی تماسی بر حسب مکان بی بعد برای تیر خطی در شرایط مرزی تکیه‌گاه گیردار-ساده (c-p)، تکیه‌گاه ساده-ساده (p-p) و تکیه‌گاه گیردار-گیردار (c-c).

با توجه به مقدار جدایش بین سیستم جرم و فنر و تیر در حال کشش که با شکل (۹-۵) نشان داده شده است. مقدار جدایش تیر در حالت تکیه‌گاه گیردار در ابتدای تیر و تکیه‌گاه ساده در انتهای تیر نسبت به دو شرط مرزی دیگر کمتر و به مقدار واقعی نزدیک‌تر هست.

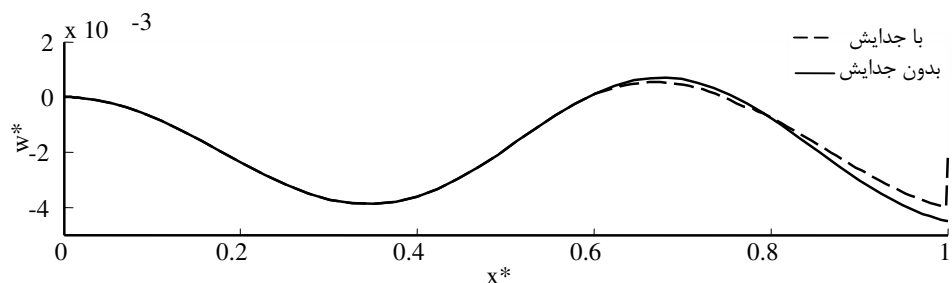


شکل (۹-۵) مقایسه مقدار جدایش بین سیستم جرم و فنر و تیر در حال کشش بر حسب مکان بی بعد در شرایط مرزی تکیه‌گاه گیردار- ساده (c-p)، تکیه‌گاه ساده- ساده (p-p) و تکیه‌گاه گیردار- گیردار (c-c)

با توجه به نتیجه‌های به دست آمده در شکل (۹-۵)- شکل (۷-۵) شرط مرزی تکیه‌گاه گیردار در ابتدای تیر و تکیه‌گاه ساده در انتهای تیر برای آنالیز مسئله تماس دینامیکی بهتر بوده و در ادامه برای آنالیز مسئله تماس از این شرط مرزی استفاده می‌شود.

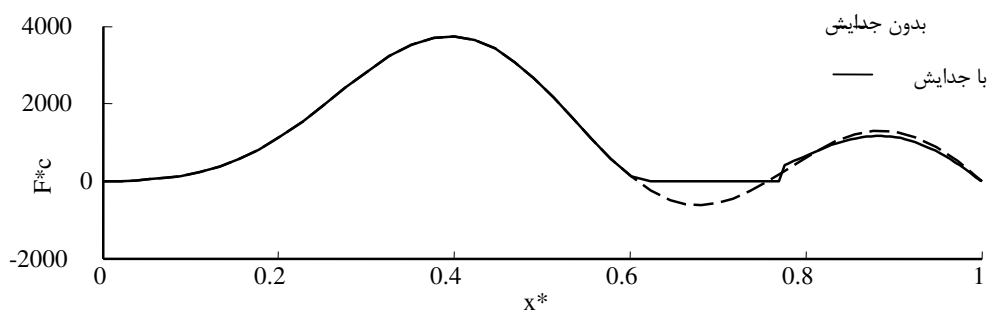
### ۱-۳-۵-پرش

با توجه به الگوریتم (۱-۵) مسئله با جدایش و تماس مجدد توضیح داده شده است. در این قسمت خیز و نیروی تماسی تیر و سیستم جرم و فنر در تمام طول حرکت با هم تماس داشته با زمانی که جدایش بین سیستم باشد، مقایسه خواهد شد. برای زمان تماس باید دستگاه معادله (۴۵-۳) حل گردد، اما زمانی که جدایش باشد باید دستگاه معادله (۴۵-۳) و (۴۶-۳) به طور همزمان بر طبق الگوریتم (۱-۵) حل شوند؛ نمودار خیز تیر خطی به صورت زیر بیان می‌شود.



شکل (۱۰-۵) مقایسه خیز تیر بر حسب مکان بی بعد با جدایش در طول تیر و در حالت تماس دائم در طول تیر خطی با تکیه‌گاه گیردار-ساده (c-p)

در شکل (۱۰-۵) خیز تیر در حالت تماس دائم با طول تیر و وجود جدایش در طول تیر را نشان می‌دهد. در زمانی که جدایش، بیشینه خیز کمتر از تماس دائم هست. نمودار نیروی تماسی در حالت تماس دائم و با جدایش به صورت زیر بیان می‌گردد.



شکل (۱۱-۵) مقایسه نیروی تماسی بر حسب مکان بی بعد با جدایش در طول تیر و در حالت تماس دائم در طول تیر خطی با تکیه‌گاه گیردار-ساده (c-p)

با توجه به شکل (۱۱-۵) نیروی تماسی برای زمانی که تیر با سیستم جرم و فنر در تماس دائم باشد، منفی شده و در ادامه مثبت می‌شود. این همان زمان جدایش بین تیر و سیستم جرم و فنر می‌باشد.

#### ۵-۱-۴- تأثیر متغیرها بر حل مسئله تماس دینامیکی خطی

با در نظر گرفتن پانتوگراف مدل (DSA 350s) مقدار کشش طولی تیر با افزایش سرعت افزایش پیدا می‌کند. مقدارهای در نظر گرفته شده برای حداقل تغییرات سرعت و کشش طولی تیر بر اساس [۲۳] به ترتیب تا ۹۷ متر بر ثانیه و از ۴۰KN - ۱۵ KN در نظر گرفته می‌شود. تغییرات ضریب فنریت پانتوگراف را با استفاده از [۲۴] بین  $675 \text{ Nm}^{-1}$  -  $975 \text{ Nm}^{-1}$  قابل تغییر می‌باشد. حال با توجه

به داده‌های در نظر گرفته شده و جدول (۲-۵)، به تحلیل متغیرهای مسأله تماس دینامیکی پرداخته می‌شود.

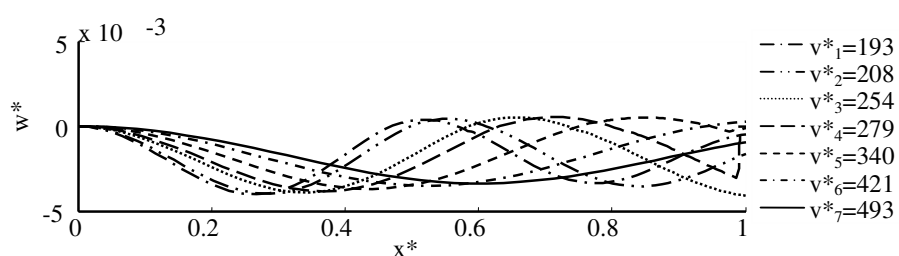
#### ۱-۳-۴-۱- تغییرات سرعت

در قطارهای با سرعت بالا مقدار جدایش بین پانتوگراف و شبکه بالاسری و حداکثر نیروی تماسی بسیار مهم می‌باشد، پس به همین دلیل تغییرات سرعت به صورت جدول زیر بیان می‌شود.

جدول (۴-۵) تغییرات سرعت

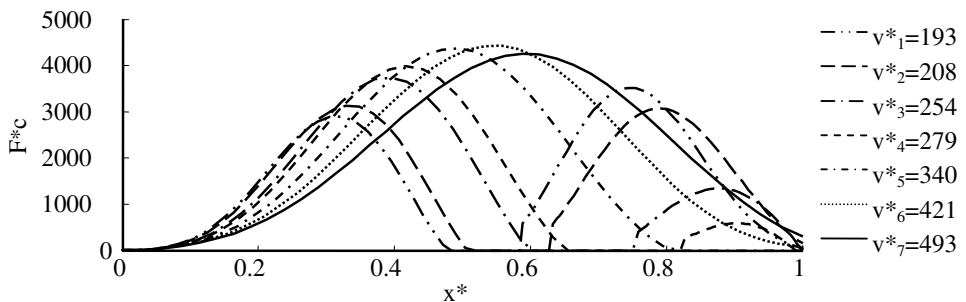
حالت	سرعت جرم و فنر بی بعد $v^*$	مقدار سرعت با بعد $(ms^{-1})$
۱	۳۸	۱۹۳
۲	۴۱	۲۰۸
۳	۵۰	۲۵۴
۴	۵۵	۲۷۹
۵	۶۷	۳۴۰
۶	۸۳	۴۲۱
۷	۹۷	۴۹۳

پارامترهای دیگر مانند جدول (۲-۵) بیان می‌گردد. با توجه به جدول (۴-۵) در ادامه اثر تغییرات سرعت بر بیشینه خیز، نیروی تماسی و مقدار جدایش بین سیستم جرم و فنر محرك بر حسب مکان بی بعد بیان می‌گردد. با بررسی شکل (۱۲-۵) مقدار بیشینه خیز تیر در حال کشش با افزایش سرعت تغییر زیادی نمی‌کند و فقط موجب به وجود آمدن جدایش کمتر در طول تیر می‌شود. از سرعت ۴۲۱ که معادل  $(ms^{-1}) 83$  به بالاتر می‌رود سیستم جرم و فنر از تیر در حال کشش جدا نمی‌گردد.



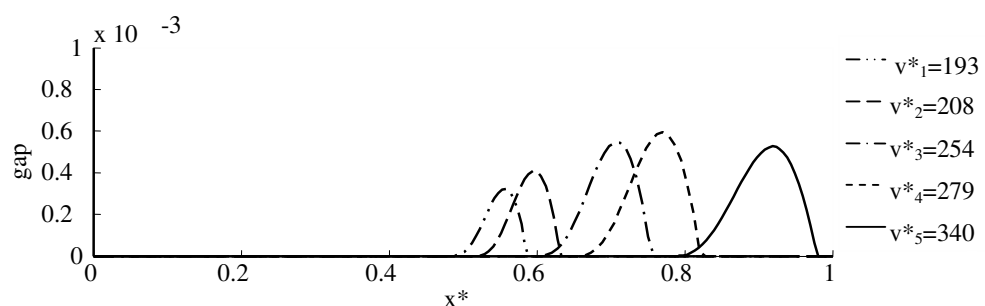
شکل (۱۲-۵) اثر تغییرات سرعت بر خیز تیر بر حسب مکان بی بعد برای تیر خطی با تکیه‌گاه گیردار-ساده (c-p)

بر اساس شکل (۱۳-۵) مقدار بیشینه‌ی نیروی تماسی با افزایش سرعت، افزایش پیدا می‌کند. سرعت برای زمانی که مقدارش از ۴۲۱ که معادل  $(ms^{-1})^{83}$  به بالاتر می‌رود سیستم جرم و فنر از تیر در حال کشش جدا نمی‌گردد.



شکل (۱۳-۵) اثر تغییرات سرعت بر مقدار نیروی تماسی بی بعد بر حسب مکان بی بعد برای تیر خطی با تکیه‌گاه گیردار-ساده (c-p)

زمان و مقدار جدایش بین سیستم جرم و فنر و تیر در حال کشش با شکل (۱۴-۵) نشان داده شده است. با افزایش سرعت، مقدار جدایش بین سیستم جرم و فنر و تیر به انتهای تیر نزدیک‌تر خواهد شد. از سرعت ۴۲۱ که معادل  $(ms^{-1})^{83}$  هست؛ سیستم جرم و فنر در طول تیر جدایش نخواهد داشت.



شکل (۱۴-۵) اثر تغییرات سرعت بر مقدار جدایش بر حسب مکان بی بعد برای تیر خطی با تکیه‌گاه گیردار-ساده (c-p) بنابراین بر اساس شکل (۱۴-۵)-شکل (۱۲-۵) مسئله جدایش در سرعت‌های پایین‌تر از ۴۲۱ مطرح شده ولی نیروی تماسی در سرعت‌های بالا افزایش زیادی داشته است.

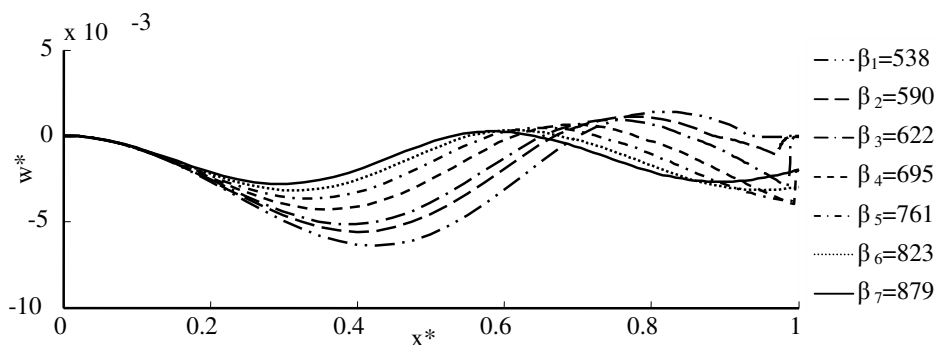
### ۲-۴-۱-۳-۵- تغییرات کشش طولی تیر

کابل اتصال پانتوگراف در شبکه بالاسری که با استفاده از فاصله‌هایی از یکدیگر قرار گرفته‌اند. با قرار دادن وزنه‌هایی که به آن‌ها آویزان می‌شود، مقدار کشش طولی را در کابل ایجاد می‌شود. مقدار کشش طولی در کابل یک مقدار بسیار مهم است؛ که برای مقدارهایی از کشش طولی در سیم اتصال که بیشتر مورد استفاده قرار گرفته بر طبق جدول زیر بیان می‌شود.

جدول (۵-۵) تغییرات کشش طولی تیر

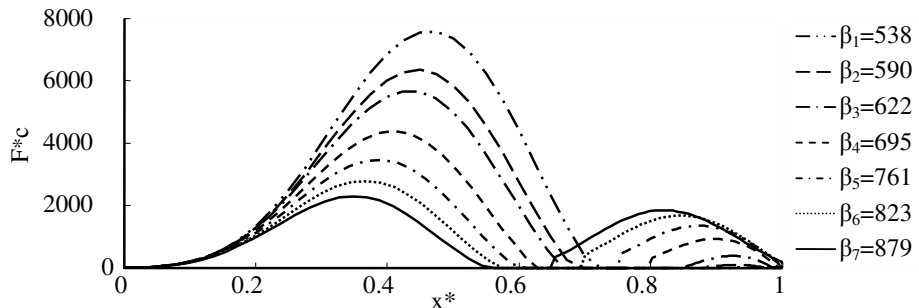
$\beta$	مقدار کشش طولی (KN)	T	حالت
۵۳۸	۱۵		۱
۵۹۰	۱۸		۲
۶۲۲	۲۰		۳
۶۹۵	۲۵		۴
۷۶۱	۳۰		۵
۸۲۳	۳۵		۶
۸۷۹	۴۰		۷

ولی پارامترهای دیگر مانند جدول (۲-۵) بیان شده و با توجه به جدول (۵-۵) در ادامه اثر کشش طولی تیر بر خیز تیر، نیروی تماسی و مقدار جدایش بین سیستم جرم و فنر محرک بر حسب مکان بی بعد بررسی می‌شود.



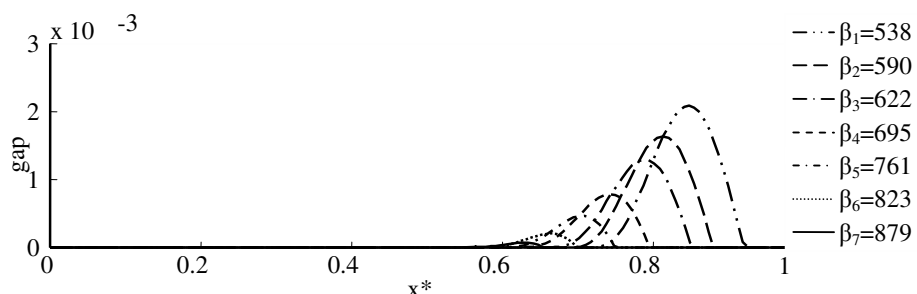
شکل (۱۵-۵) اثر تغییرات کشش طولی بر مقدار خیز بی بعد تیر بر حسب مکان بی بعد برای تیر خطی با تکیه‌گاه گیردار-ساده (c-p)

با توجه به شکل (۱۵-۵) کشش طولی بر مقدار خیز تیر تأثیر بسزایی دارد بهطوریکه با افزایش کشش مقدار خیز کاهش می‌یابد.



شکل (۱۶-۵) اثر تغییرات کشش طولی بر مقدار نیروی تماسی بی بعد بر حسب مکان بی بعد برای تیر خطی با تکیه‌گاه گیردار ساده (c-p)

بر اساس شکل (۱۶-۵) مقدار نیروی تماسی بین تیر در حال کشش و سیستم جرم و فنر با افزایش کشش طولی مقدار نیروی تماسی کمتر می‌شود. این عامل بسیار خوب برای کنترل حداکثری نیروی تماسی می‌باشد. شکل (۱۷-۵) مقدار جدایش بین سیستم جرم و فنر و تیر خطی را نشان می‌دهد.



شکل (۱۷-۵) اثر تغییرات کشش طولی بر مقدار جدایش بر حسب مکان بی بعد برای تیر در حالت (c-p)

شکل (۱۷-۵) مقدار جدایش بین سیستم جرم و فنر محرك و تیر را نشان می‌دهد. با توجه به مقدار جدایش بین سیستم جرم و فنر محرك و تیر تحت کشش با افزایش کشش، مقدار جدایش کاهش می‌یابد؛ بنابراین متغیر کشش بر مقدار جدایش و مقدار بیشینه‌ی نیروی تماسی اثر می‌گذارد و می‌تواند به عنوان یک متغیر تأثیر گذار از آن استفاده نمود.

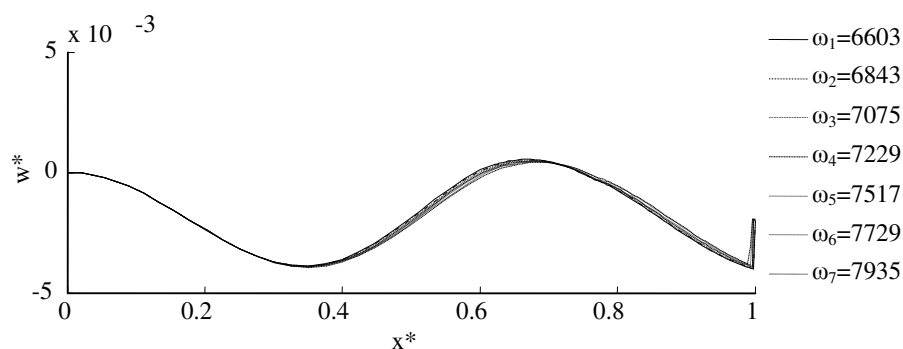
### ۳-۴-۱-۳-۵- تغییرات ضریب فنریت پانتوگراف

مقدار ضریب فنریت پانتوگراف با توجه به نوع آن می‌تواند تغییر کند؛ با استفاده از این ضریب فنریت‌ها و قرار دادن مقادیر دیگر از جدول (۲-۵) اثر این ضریب بر روی بیشینه نیروی تماسی و مقدار جدایش بین سیستم جرم و فنر و تیر در جدولی بررسی می‌گردد.

جدول (۶-۵) تغییرات ضریب فنریت پانتوگراف

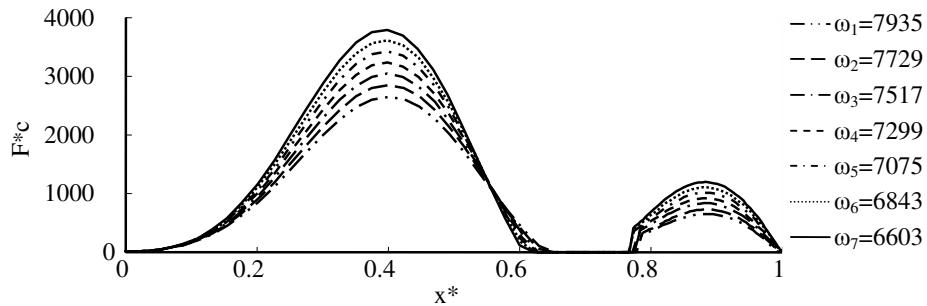
حالت	$K$ ثابت فنر ( $Nm^{-1}$ )	نسبت ضریب فنریت بی‌بعد به جرم محرک بی‌بعد $\omega$
۱	۶۷۵	۶۶۰۳
۲	۷۲۵	۶۸۴۳
۳	۷۷۵	۷۰۷۵
۴	۸۲۵	۷۲۹۹
۵	۸۷۵	۷۵۱۷
۶	۹۲۵	۷۷۲۹
۷	۹۷۵	۷۹۳۵

بر اساس جدول (۶-۵) اثر تغییرات نسبت ضریب فنریت بی‌بعد به جرم محرک بی‌بعد بر روی خیز بر اساس شکل (۱۸-۵) بسیار ناچیز می‌باشد.



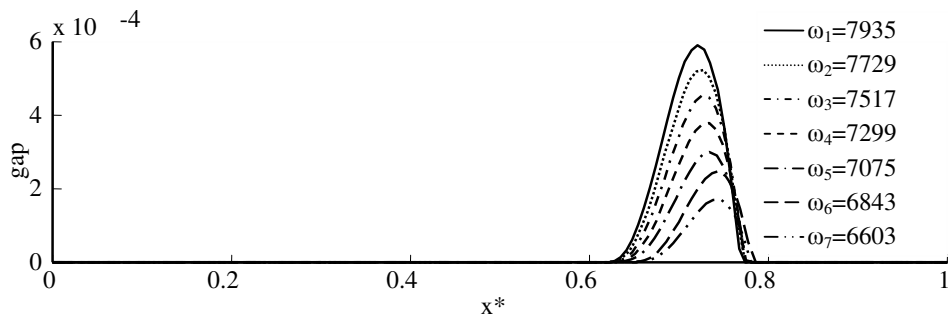
شکل (۱۸-۵) اثر تغییرات نسبت ضریب فنریت بی‌بعد به جرم محرک بی‌بعد بر مقدار خیز بی‌بعد تیر بر حسب مکان بی‌بعد در حالت (c-p)

نیروی تماسی مطابق شکل (۱۹-۵) نشان داده شده است. با توجه به وجود این نسبت در معادله (۱۳-۳) نیروی تماسی بی بعد، بنابراین با افزایش آن مقدار بیشینه نیروی تماسی افزایش پیدا می کند.



شکل (۱۹-۵) اثر تغییرات نسبت ضریب فنریت بی بعد به جرم محرک بی بعد بر مقدار نیروی تماسی بی بعد بر حسب مکان بی بعد برای تیر در حالت (c-p)

بر اساس شکل (۲۰-۵) مقدار جدایش بین سیستم جرم و فنر محرک و تیر خطی، افزایش نسبت ضریب فنریت بی بعد به جرم محرک بی بعد باعث افزایش بیشنه جدایش در این مسئله می گردد.

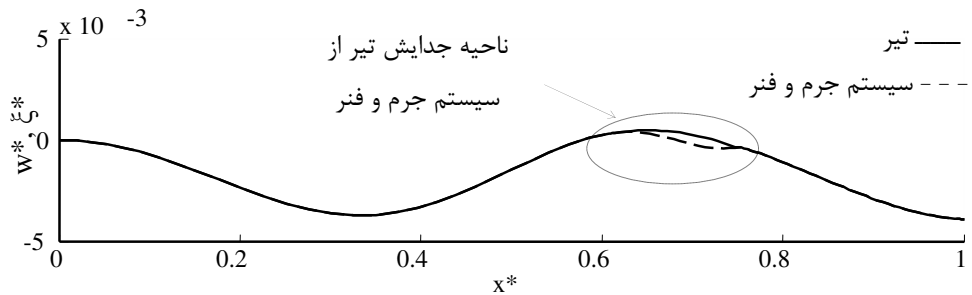


شکل (۲۰-۵) اثر تغییرات نسبت ضریب فنریت بی بعد به جرم محرک بی بعد بر مقدار جدایش بر حسب مکان بی بعد برای تیر در حالت (c-p)

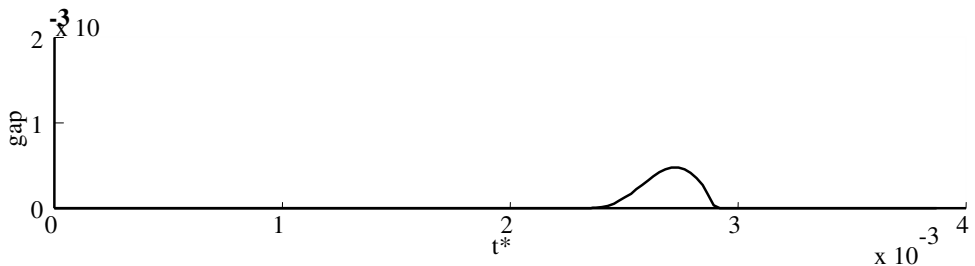
با توجه به شکل (۱۸-۵)-شکل (۲۰-۵) که به ترتیب برای خیز تیر، نیروی تماسی و جدایش بین سیستم جرم و فنر و تیر در حال کشش تحت اثر ضریب فنریت بی بعد به جرم محرک بی بعد رسم گردیده است. مقدار افزایش این نسبت باعث افزایش نیروی تماسی و جدایش بین سیستم جرم و فنر و تیر می گردد.

### ۲-۳-۵- تحلیل غیرخطی

برای حل معادلات غیرخطی باید در الگوریتم (۱-۵) برای زمان تماس از دستگاه (۱۹-۴) و زمان جدایش از دستگاه (۲۰-۴) استفاده نمود. با توجه به جدول (۲-۵) نتایج برای خیز، پرش و نیروی تماس بین تیر غیرخطی در حالت یکسر گیر ساده و سیستم جرم و فنر به صورت زیر نشان داده می‌شود.

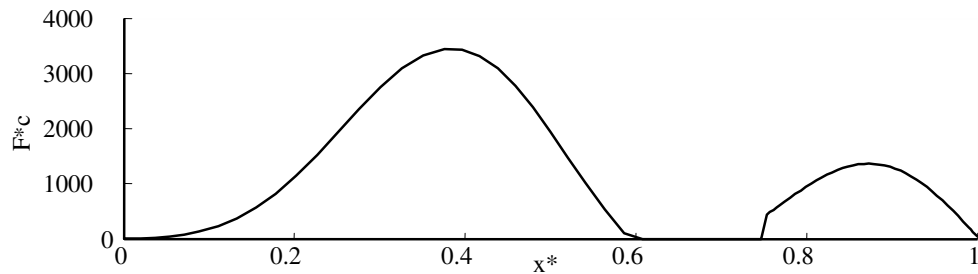


شکل (۲۱-۵) مقدار خیز بی بعد تیر غیرخطی در حالت یکسر گیردار یکسر ساده (c-p) و سیستم جرم و فنر بر حسب مکان بی بعد



شکل (۲۲-۵) مقدار پرش بی بعد تیر غیرخطی در حالت یکسر گیردار یکسر ساده (c-p) از سیستم جرم و فنر بر حسب زمان بی بعد

شکل (۲۱-۵) مقدار خیز تیر غیرخطی و سیستم جرم و فنر را نشان می‌دهد که در طول تیر سیستم جرم و فنر از هم جدا شده و دوباره به آن باز می‌گردد. در شکل (۲۲-۵) مقدار و زمان جدایش (پرش) تیر را از سیستم جرم و فنر را نشان می‌دهد.

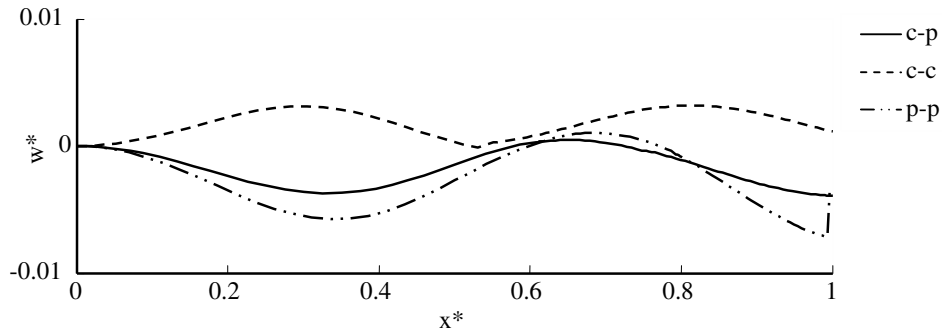


شکل (۲۳-۵) مقدار نیروی تماسی بی بعد بین تیر غیرخطی و سیستم جرم و فنر بر حسب مکان بی بعد در حالت یکسر گیردار یکسر ساده (c-p)

با توجه به شکل (۲۳-۵) مقدار نیروی تماسی بین تیر غیرخطی و سیستم جرم و فنر در حالت یکسر درگیر یکسر ساده محاسبه گردیده است. بهدلیل کار نشدن مسئله در حالت غیرخطی نموداری برای اعتبار سنجی ارائه نگردیده است.

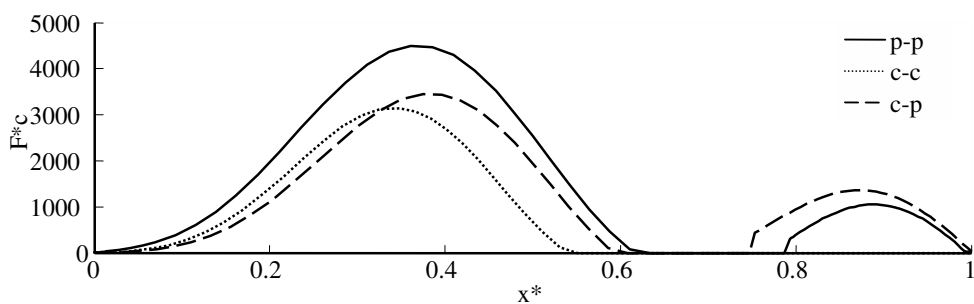
### ۱-۲-۳-۵- شرایط مرزی

تیر در حال کشش در حالت غیرخطی می تواند در شرایط مرزی مختلف مورد بررسی قرار گیرد. تأثیر شرایط مرزی بر مقدار حداکثری نیروی تماسی، جدایش و خیز مورد بررسی قرار داده شود. در این قسمت تیر در حالت های تکیه گاه گیردار-ساده، تکیه گاه ساده-ساده و تکیه گاه گیردار-گیردار که به ترتیبتابع گالرکین این شرایط مرزی در معادلات (۴۱-۳)-(۴۳-۳) به دست آورده شده است. مقدارهای عددی با استفاده از جدول (۲-۵) مورد بررسی قرار می گیرد. مقدار خیز در شکل (۲۴-۵) برای شرایط مرزی مختلف نشان می دهد. مقدار بیشینه خیز تیر در حالت یکسر درگیر یکسر ساده نسبت به دو سر ساده و دو سر گیردار کمتر است.

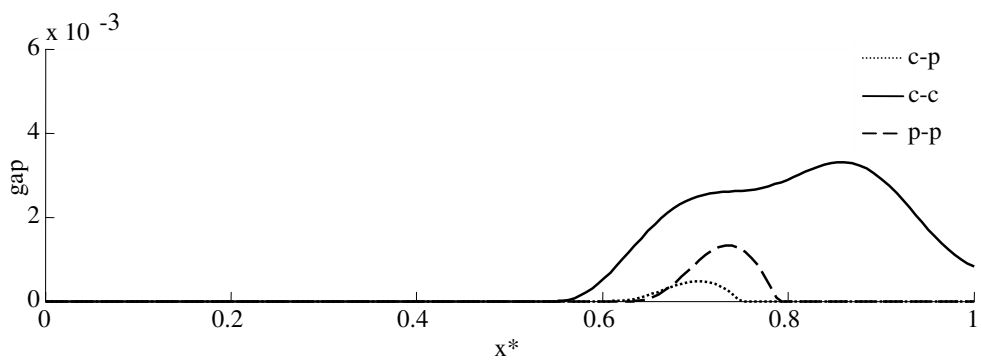


شکل (۲۴-۵) مقایسه خیز تیر بر حسب مکان بی بعد در حالت تکیه‌گاه گیردار - ساده (c-p)، تکیه‌گاه ساده-ساده (p-p) و تکیه‌گاه گیردار-گیردار (c-c)

مقدار نیروی تماسی در شکل (۲۵-۵) برای تیر در حالت یکسر درگیر یکسر ساده نسبت به دوسر ساده و دوسر گیردار مقدار متوسطی دارد؛ با توجه به مقدار جدایش بین سیستم جرم و فنر و تیر در حال کشش که با شکل (۲۶-۵) نشان داده شده است. مقدار جدایش تیر در حالت تکیه‌گاه گیردار در ابتدای تیر و تکیه‌گاه ساده در انتهای تیر نسبت به دوسر ساده و دوسر گیردار کمتر می‌باشد.



شکل (۲۵-۵) مقایسه نیروی تماسی بر حسب مکان بی بعد در حالت تکیه‌گاه گیردار - ساده (c-p)، تکیه‌گاه ساده-ساده (p-p) و تکیه‌گاه گیردار-گیردار (c-c)

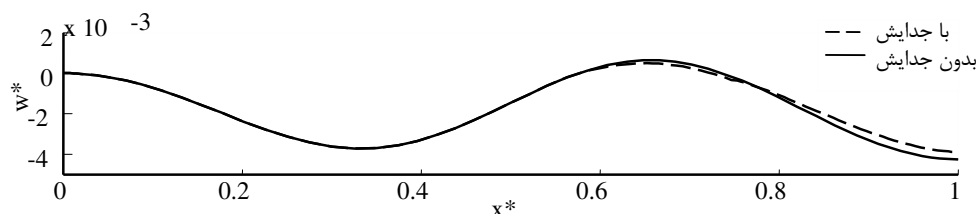


شکل (۲۶-۵) مقایسه مقدار جدایش بین سیستم جرم و فنر و تیر در حال کشش بر حسب مکان بی بعد در حالت تکیه‌گاه گیردار - ساده (c-p)، تکیه‌گاه ساده-ساده (p-p) و تکیه‌گاه گیردار-گیردار (c-c)

با توجه به نتیجه‌های به دست آمده در شکل (۲۴-۵)-شکل (۲۶-۵) تیر یکسر گیردار یکسر ساده مانند حالت خطی برای آنالیز مسئله تماس دینامیکی به دلیل جدایش متناسب و نیروی تماسی متوسط بهتر بوده و در ادامه برای آنالیز مسئله تماس از این شرط مرزی استفاده می‌شود.

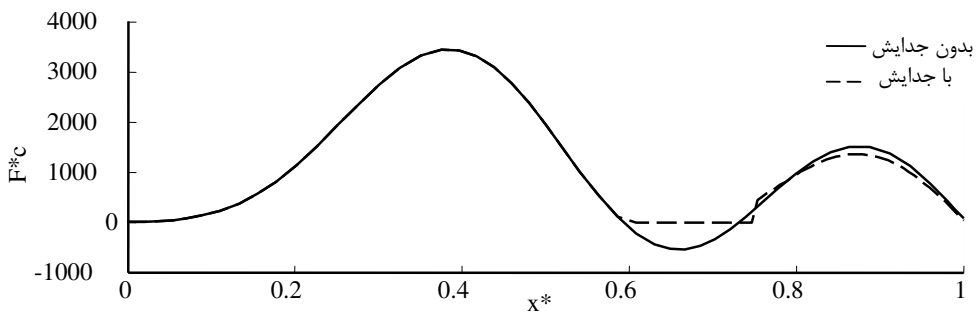
### ۲-۳-۵ پرش

با توجه به الگوریتم (۱-۵) مسئله با جدایش و تماس مجدد توضیح داده شده است. در این قسمت خیز و نیروی تماسی تیر و سیستم جرم و فنر در تمام طول حرکت با هم تماس داشته با زمانی که جدایش بین سیستم باشد، مقایسه خواهد شد. برای زمان تماس باید دستگاه معادله (۱۹-۴) حل گردد اما زمانی که جدایش باشد؛ باید دستگاه معادله (۱۹-۴) و (۲۰-۴) به طور همزمان بر طبق الگوریتم (۱-۵) حل شوند، نمودار خیز تیر غیرخطی برای یکسر درگیر یکسر ساده، به صورت زیر بیان می‌شود.



شکل (۲۷-۵) مقایسه خیز تیر بر حسب مکان بی بعد با جدایش در طول تیر و در حالت تماس دائم در طول تیر غیرخطی با تکیه‌گاه گیردار-ساده (c-p)

شکل (۲۷-۵) خیز تیر در حالت تماس دائم و با وجود جدایش در طول تیر را با هم مقایسه می-کند. زمانی که جدایش باشد، بیشینه خیز کمتر از تماس دائم می‌باشد. نمودار نیروی تماسی در حالت تماس دائم و با جدایش به صورت زیر بیان می‌گردد.



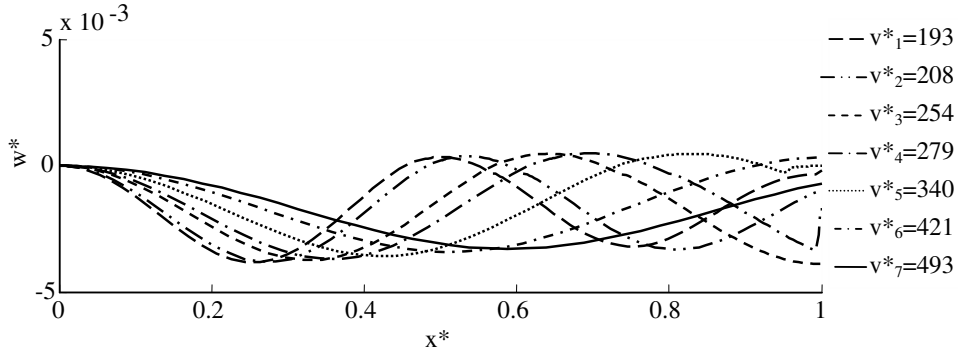
شکل (۲۸-۵) مقایسه نیروی تماسی بر حسب مکان بی بعد با جدایش در طول تیر و در حالت تماس دائم در طول تیر غیرخطی با تکیه‌گاه گیردار ساده (c-p)

با توجه به شکل (۲۸-۵) نیروی تماسی برای زمانی که تیر تحت کشش با سیستم جرم و فنر در تماس دائم باشد، منفی شده و در ادامه مثبت می‌شود. این همان جدایش بین تیر و سیستم جرم و فنر می‌باشد.

**۳-۲-۳-۵- تأثیر متغیرها بر حل مسئله تماس دینامیکی غیرخطی**  
با در نظر گرفتن پانتوگراف مدل (DSA 350S) مقدار کشش طولی تیر با افزایش سرعت افزایش پیدا می‌کند. مقدارهای در نظر گرفته شده برای حداکثر تغییرات سرعت و کشش طولی تیر بر اساس قسمت ۴-۴ و جدول (۲-۵) بیان می‌گردد. در ضمن تیر در حالت یکسر گیردار یکسر ساده مورد بررسی قرار می‌گیرد.

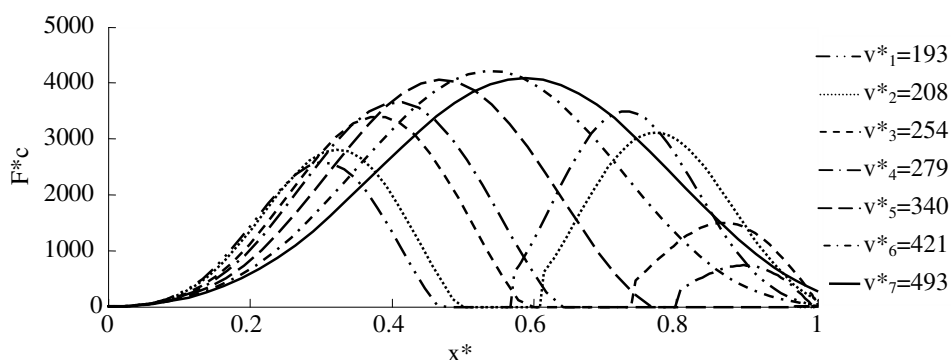
**۳-۲-۳-۱- تغییرات سرعت**  
در قطارهای با سرعت بالا مقدار جدایش بین پانتوگراف و شبکه بالا سری و حداکثر نیروی تماسی بسیار مهم می‌باشد. با توجه به جدول (۴-۵) و جدول (۲-۵) در ادامه اثر تغییرات سرعت بر بیشینه خیز، نیروی تماسی و مقدار جدایش بین سیستم جرم و فنر محرك بر حسب مکان بی بعد بیان

می‌گردد. با بررسی شکل (۲۹-۵) مقدار بیشینه خیز تیر با افزایش سرعت تغییر زیادی نمی‌کند؛ فقط موجب به وجود آمدن جدایش کمتر در طول تیر می‌شود. از سرعت ۴۲۱ که معادل ((ms<sup>-1</sup>) ۸۳) به بالاتر می‌رود سیستم جرم و فنر از تیر تحت کشش جدا نمی‌گردد؛ به دلیل جدا نشدن سیستم جرم و فنر از تیر نوسانات خیز کمتر است.



شکل (۲۹-۵) اثر تغییرات سرعت بر مقدار خیز بی بعد تیر غیرخطی بر حسب مکان بی بعد در حالت یکسر درگیر یکسر ساده (c-p)

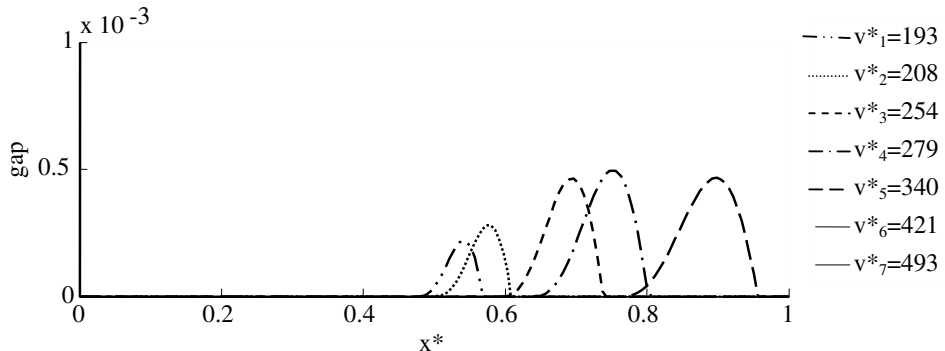
بر اساس شکل (۳۰-۵) مقدار بیشینه نیروی تماسی با افزایش سرعت، افزایش پیدا می‌کند. سرعت برای زمانی که مقدارش از ۴۲۱ که معادل ((ms<sup>-1</sup>) ۸۳) به بالاتر می‌رود، سیستم جرم و فنر از تیر در حال کشش جدا نمی‌گردد. مقدار بیشینه نیروی تماسی نیز به تقریب در طول تیر ثابت باقی می‌ماند.



شکل (۳۰-۵) اثر تغییرات سرعت بر مقدار نیروی تماسی بی بعد بر حسب مکان بی بعد برای تیر غیرخطی در حالت (c-p)

زمان و مقدار جدایش بین سیستم جرم و فنر و تیر با شکل (۳۱-۵) نشان داده شده است. با افزایش

سرعت؛ مقدار جدایش بین سیستم جرم و فنر و تیر به انتهای تیر نزدیکتر خواهد شد ولی از سرعت که معادل  $(83) \text{ ms}^{-1}$  دیگرسیستم جرم و فنر در طول تیر جدایش نخواهد داشت.

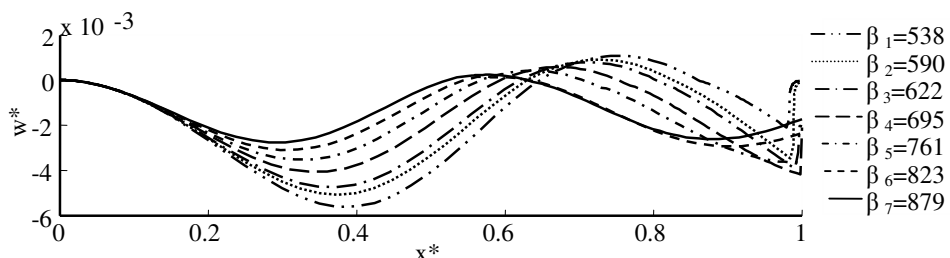


شکل (۳۱-۵) اثر تغییرات سرعت بر مقدار جدایش بر حسب مکان بی بعد برای تیر در حالت (c-p)

بنابراین بر اساس شکل (۲۹-۵)-شکل (۳۱-۵) مسئله جدایش در سرعت‌های پایین‌تر از  $421 \text{ m/s}$  مطرح شده ولی نیروی تماسی در سرعت‌های بالا افزایش داشته است.

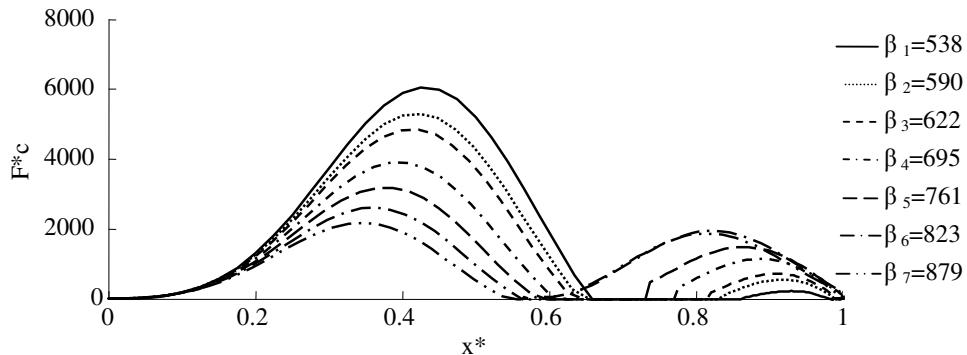
### ۲-۳-۲-۳-۵- تغییرات کشش طولی تیر

کابل اتصال پانتوگراف در شبکه بالاسری که با استفاده از فاصله‌هایی از یکدیگر قرار گرفته‌اند، با قرار دادن وزنه‌هایی که به آن‌ها آویزان می‌شود مقدار کشش طولی را در کابل ایجاد می‌شود. مقدار کشش طولی در کابل یک مقدار بسیار مهم است. با توجه به جدول (۵-۵) و جدول (۲-۵) در ادامه اثر کشش طولی تیر برخیز تیر غیرخطی، نیروی تماسی و مقدار جدایش بین سیستم جرم و فنر محکم بر حسب مکان بی بعد بررسی می‌شود.



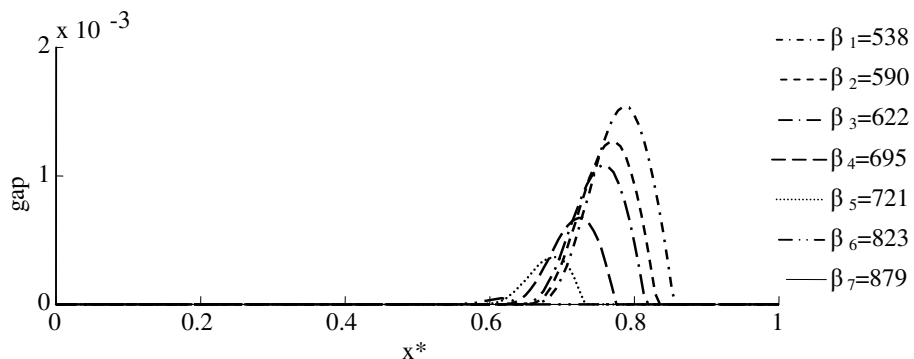
شکل (۳۲-۵) اثر تغییرات کشش طولی بر مقدار خیز بی بعد تیر بر حسب مکان بی بعد در حالت یکسر گیر یکسر ساده (c-p)

با توجه به شکل (۳۲-۵) کشش طولی بر مقدار خیز تیر تأثیر بسزایی دارد بهطوریکه با افزایش کشش مقدار خیز تیر غیرخطی کاهش می‌یابد.



شکل (۳۳-۵) اثر تغییرات کشش طولی بر مقدار نیروی تماسی بی بعد بر حسب مکان بی بعد برای تیر در حالت یکسر درگیر یکسر ساده (c-p)

بر اساس شکل (۳۳-۵) مقدار نیروی تماسی بین تیر غیر خطی و سیستم جرم و فنر با افزایش کشش طولی مقدار نیروی تماسی کمتر می‌شود. شکل (۳۴-۵) مقدار جدایش (پرش)، بین سیستم جرم و فنر و تیر را نشان می‌دهد.

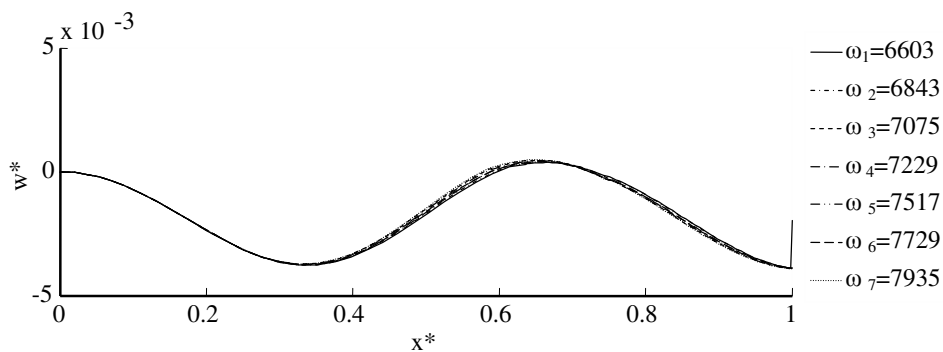


شکل (۳۴-۵) اثر تغییرات کشش طولی بر مقدار جدایش بر حسب مکان بی بعد برای تیر غیر خطی در حالت یکسر درگیر یکسر ساده (c-p)

شکل (۳۴-۵) مقدار جدایش بین سیستم جرم و فنر محرك و تیر غیرخطی نشان داده است؛ با توجه به مقدار جدایش بین سیستم جرم و فنر محرك و تیر، با افزایش کشش، مقدار جدایش کاهش می‌یابد؛ بنابراین متغیر کشش بر مقدار جدایش و مقدار نیروی تماسی اثر می‌گذارد.

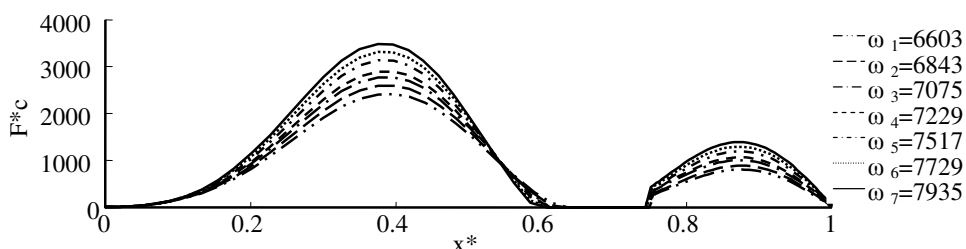
### ۳-۲-۳-۵- تغییرات ضریب فنریت پانتوگراف

مقدار ضریب فنریت پانتوگراف با توجه به نوع آن می‌تواند تغییر کند؛ با توجه به جدول (۶-۵) و جدول (۲-۵) اثر تغییرات نسبت ضریب فنریت بی‌بعد به جرم محرک بی‌بعد بر روی خیز بر اساس شکل (۳۵-۵)، با افزایش این ضریب بر روی خیز تیر در حالت یکسر درگیر یکسر ساده تأثیر نمی‌گذارد.



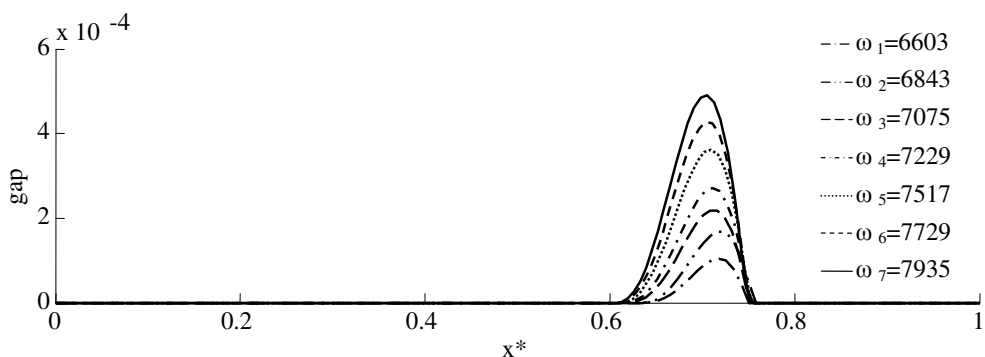
شکل (۳۵-۵) اثر تغییرات نسبت ضریب فنریت بی‌بعد به جرم محرک بی‌بعد بر مقدار خیز بی‌بعد تیر غیر خطی بر حسب مکان بی‌بعد در حالت تکیه‌گاه گیردار-ساده (c-p)

نیروی تماسی مطابق شکل (۳۶-۵) نشان داده شده است. با توجه به وجود این ضریب در نیروی تماسی، با افزایش آن مقدار نیروی تماسی افزایش پیدا می‌کند.



شکل (۳۶-۵) اثر تغییرات نسبت ضریب فنریت بی‌بعد به جرم محرک بی‌بعد بر مقدار نیروی تماسی بی‌بعد بر حسب مکان بی‌بعد برای تیر غیر خطی در حالت تکیه‌گاه گیردار-ساده (c-p)

بر اساس شکل (۳۷-۵) مقدار جدایش بین سیستم جرم و فنر محرک و تیر در حال کشش، افزایش ضریب فنریت بی‌بعد به جرم محرک بی‌بعد باعث افزایش بیشنه جدایش در این سیستم می‌گردد.

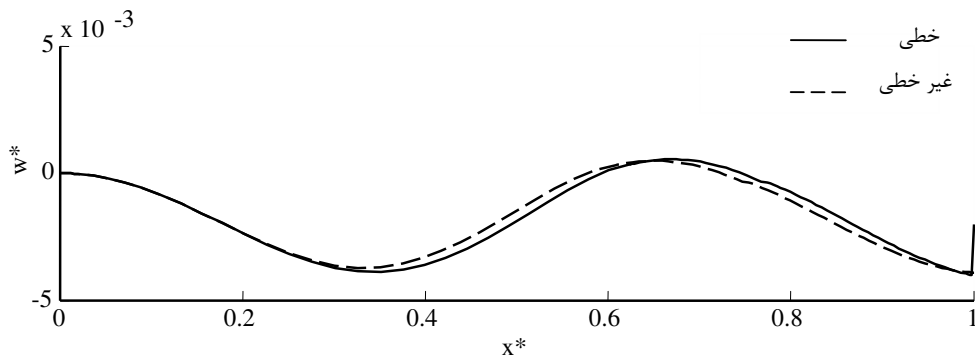


شکل (۳۷-۵) اثر تغییرات نسبت ضریب فنریت بی بعد به جرم محرک بی بعد بر مقدار جدایش بر حسب مکان بی بعد برای تیر غیر خطی در حالت تکیه گاه گیردار ساده (c-p ساده)

با توجه به شکل (۳۵-۵)-شکل (۳۷-۵) که به ترتیب برای خیز تیر، نیروی تماسی و جدایش بین سیستم جرم و فنر و تیر که برای تغییرات ضریب فنریت بی بعد به جرم محرک بی بعد رسم گردیده است. مقدار افزایش این ضریب باعث افزایش نیروی تماسی و جدایش بین سیستم جرم و فنر و تیر تحت کشش می گردد؛ مقدار جدایش زیاد و نیروی تماسی بالا با کاهش نسبت ضریب فنریت بی بعد به جرم محرک بی بعد قابل کنترل می باشد.

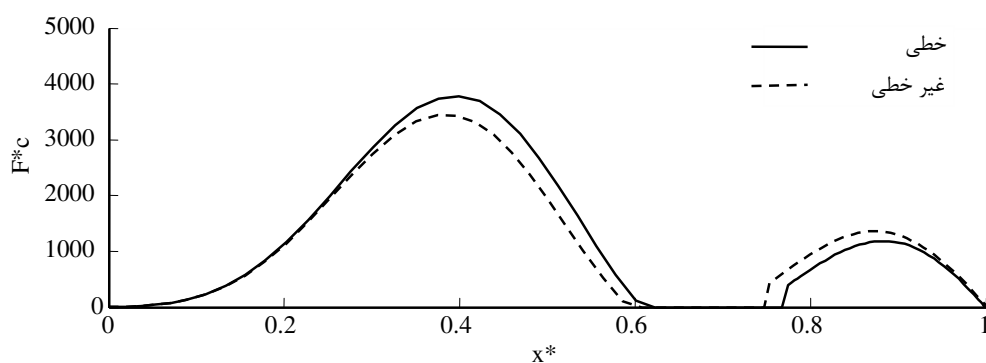
### ۳-۳-۵ مقایسه تحلیل خطی با غیرخطی

برای بررسی تأثیر غیرخطی شدن مسئله بر روند حل آن می توان با حل های ارائه شده بین حالت خطی و غیرخطی مقدار خیز تیر، نیروی تماسی و جدایش بین سیستم جرم و فنر و تیر در حال کشش، مورد بررسی قرار گیرد؛ در شکل (۳۸-۵) و شکل (۳۹-۵) به ترتیب مقدار خیز و نیروی تماسی برای حالت غیرخطی و خطی مقایسه گردیده است. به دلیل وجود جمله غیرخطی کننده مسئله تماس دینامیکی مقدار خیز کمتر بوده ولی مقدار بیشینه نیروی تماسی در ابتدای تیر تا قبل از جدایش کمتر ولی در انتهای تیر و بعد از تماس مجدد مقدار بیشینه نیروی تماسی نسبت به حالت خطی افزایش می یابد.



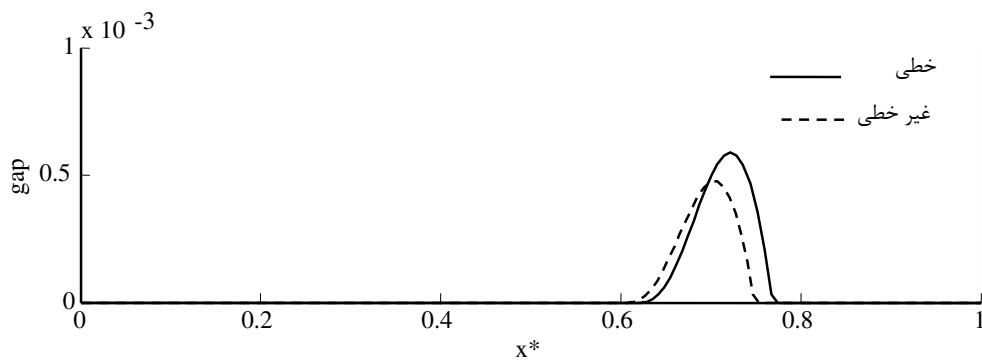
شکل (۳۸-۵) مقایسه خیز تیر خطی و غیر خطی بر حسب مکان بی بعد با شرط مرزی تکیه گاه گیردار- ساده

(c-p)



شکل (۳۹-۵) مقایسه نیروی تماسی خطی و غیر خطی بر حسب مکان بی بعد با شرط مرزی تکیه گاه گیردار-

ساده (c-p)



شکل (۴۰-۵) مقایسه مقدار جدایش بین سیستم جرم و فنر و تیر در حال کشش خطی و غیر خطی بر حسب  
مکان بی بعد با شرط مرزی تکیه گاه گیردار- ساده (c-p)

مقدار جدایش که در شکل (۴۰-۵) نشان داده شده در حالت غیرخطی نسبت به خطی در مکان زودتر و با بیشینه کمتر اتفاق می‌افتد. با توجه به شکل (۳۸-۵)-شکل (۴۰-۵) نشان داده شده در حالت غیرخطی نسبت به خطی مقادیر عددی به تقریب کمتر بوده است.

#### ۴-۵-جمع‌بندی

در این فصل، ابتدا الگوریتم حل مسأله تماس دینامیکی بیان گردید. در ادامه نتایج تیر خطی اعتبار سنجی شده و نتیجه‌ی قابل قبولی از نظر بیشینه و کمینه خیز و نیروی تماسی ارائه گردیده است. شرط مرزی‌های مختلف برای تیر خطی و غیرخطی مورد بررسی قرار گرفت؛ که شرط مرزی تکیه‌گاه گیردار-ساده نسبت به شرط مرزی‌های تکیه‌گاه گیردار-گیردار و تکیه‌گاه ساده-ساده نتایجی ارائه کرده است. مسأله جدایش را زمانی که تماس دائم باشد مقایسه گردید. معادلات خطی و غیرخطی مسأله تماس دینامیکی تحلیل پارامتری شد. اثر سرعت، کشش تیر و نسبت ضربت فنریت بی‌بعد به جرم محرک بی‌بعد بر رفتار مسأله مشخص شد. در نهایت مسأله در حالت خطی و غیرخطی با هم مقایسه گردید.

## فصل ششم

### نتیجه‌گیری و پیشنهادها

## ۱-۶-مقدمه

در این پایان نامه به حل عددی معادلات تماس دینامیکی برای یک تیر غیرخطی اویلر برنولی تحت کشش با سیستم جرم و فنر محرك پرداخته شد. در ابتدا، بر اساس کرنش‌های فن کارمن برای تغییر شکل‌های بزرگ، معادلات حاکم مسأله بر حسن منتجه‌های تنش استخراج شد. در ادامه معادلات خطی و غیرخطی به دست آمد که این معادلات با مشتقات جزئی شامل متغیرهای زمان و مکان بوده که به کمک اصل همیلتون تعیین شدند. معادلات حاکم بر مسأله برای زمان تماس و جدایش بین سیستم جرم و فنر و تیر در حال کشش به صورت دو دستگاه معادله جدا از هم تعیین گردیدند که با توجه به این که ارتعاشات طولی ناچیز بود از آن صرف نظر شد و مقدار کشش طولی تیر در ارتعاشات عرضی جای‌گزین گردید. در تعیین حل این دو دستگاه معادله، از روش گالرکین و رانجه کوتا مرتبه ۴ استفاده شد. برای این منظور ابتدا معادلات بی‌بعد شده و سپس با استفاده از پارامتر جداساز متغیرها از هم تفکیک گردیدند؛ که با استفاده از این کار معادلات با مشتقات جزئی به معادلات معمولی با متغیر زمان تبدیل شدند. در ادامه با توجه به این که مسأله شرط اولیه بود، با استفاده از روش رانجه کوتا مرتبه ۴ در مطلب ۲۰۱۲ کد نویسی شد. پاسخ مسأله با توجه به الگوریتم در نظر گرفته شده برای زمان تماس و جدایش حل گردید. ضمناً متغیر مکان با استفاده ازتابع گالرکین در شکل مد خطی در نظر گرفته شد؛ که هم شرایط مرزی هندسی و هم شرایط طبیعی را ارضا می‌نمود. در پایان حل معادلات حرکت در حالت خطی و غیرخطی مورد بررسی قرار گرفت و اثر پارامترهای تأثیرگذار بر آن‌ها بررسی شد.

## ۲-۶-نتیجه‌گیری

نتیجه‌های این پایان نامه به صورت زیر بیان می‌گردد.

- نتایج به دست آمده در این پایان نامه از لحاظ مقدار بیشینه خیز و نیروی تماسی و مقدار جدایش به حل اجزا محدود نزدیک می‌باشد.
- مقدار خیز تیر در شرایط یکسان برای حالت غیرخطی کمتر از حالت خطی است.

- مقدار نیروی تماسی از ابتدا تا قبل از جدایش در حالت غیرخطی کمتر بوده، اما بعد از تماس مجدد از حالت خطی بیشتر می‌شود؛ ولی در کل مقدار بیشینه نیروی تماسی در حالت غیرخطی از خطی کمتر می‌باشد.
- مقدار جدایش بین سیستم جرم و فنر و تیر در حالت غیرخطی نسبت به خطی در مکانی عقبتر از انتهای تیر و با بیشینه‌ی کمتری اتفاق می‌افتد.
- با افزایش کشش در تیر می‌توان خیز تیر، نیروی تماسی و جدایش بین تیر و سیستم جرم و فنر را کم نمود.
- افزایش سرعت بر مقدار کمینه و بیشینه‌ی خیز اثر ندارد؛ ولی نوسانات کم می‌شود.
- با افزایش سرعت مقدار نیروی تماسی افزایش می‌یابد.
- با افزایش مقدار سرعت زمان جدایش در طول تیر بیشتر شده و به انتهای تیر نزدیک‌تر می‌گردد.
- ولی در سرعت بی‌بعد ۴۲۱ به بالا به دلیل طی کردن طول تیر در زمان کم دیگر جدایش بین سیستم جرم و فنر و تیر به وجود نمی‌آید.
- با افزایش نسبت ضریب فنریت بی‌بعد به جرم محرک بی‌بعد، اثر مهمی بر مقدار خیز تیر ندارد.
- با افزایش نسبت ضریب فنریت بی‌بعد به جرم محرک بی‌بعد، مقدار نیروی تماسی و فاصله جدایش زیاد می‌شود.
- جدایش بین سیستم جرم و فنر و تیر زمانی به وجود می‌آید که نیروی تماسی منفی شود.

### ۶-۳-پیشنهادها

جهت مطالعه کامل‌تر در مورد تماس دینامیکی موارد زیر قابل بررسی هستند:

- استفاده از معادلات غیرخطی برای سیستم جرم و فنر؛
- در نظر گرفتن ضربه در هنگام بازگشت جرم و فنر؛
- مدل کردن پانتوگراف با جرم، فنر و دمپر؛
- بررسی تیر با ضخامت متغیر (خیز- نیروی تماسی – جدایش)؛

- تعیین حل با در نظر گرفتن چند جمله از تابع گالرکین؛
- در نظر گرفتن ماده به صورت ویسکوالاستیک؛
- در نظر گرفتن ماده به صورت FG؛
- در نظر گرفتن زمانی که نیروی تماسی عرضی عمود باقی نمی‌ماند.
- استفاده از کنترل گر در مسئله؛

مناج

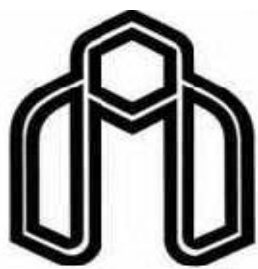
- [1] **Malatkar P., (2003)**, PhD. thesis, “**Nonlinear Vibrations of Cantilever Beams and Plates**”, Virginia Polytechnic Institute and State University, Blacksburg, Virginia.
- [2] Nayfeh A.H., Pai P.F., (2004), “**Linear and Nonlinear Structural Mechanics**”, John Wiley & Sons, Hoboken, New Jersey.
- [3] Evan-Iwanowski R.M., (1976), “**Resonance Oscillations in Mechanical Systems**”, {Volume, Edition}, {Press}, {City}, pp. {page(s)}
- [4] Nayfeh A.H., Mook D.T., (1979), “**Nonlinear Oscillations**”, John Wiley & Sons, New York.
- [5] Moon F.C., (1987), “**Chaotic Vibrations: An Introduction for Applied Scientists and Engineers**”, John Wiley & Sons, New York.
- [6] Meirovitch L., (1970), “**Analytical Methods in Dynamics**”, McGraw-Hill, New York
- [7] Nazare J., (2012), “Types Pantograph”, Tabriz Urban Railway Organization, Code: 128. (In Persian)
- [8] Rieker J. R. and Lin Y. H. and Trethewey M. W. (1996) “Discretization considerations in moving load finite element beam models”, **F.M.E. in Analysis and Design**, **21**, pp. 129–144.
- [9] Rieker J. R. and Trethewey M. W., (1999) “Finite element analysis of an elastic beam structure subjected to a moving distributed mass train”, **Mechanical Systems and Signal Processing**, **13**, pp. 31–51.
- [10] Lee U., (1998) “Separation between the flexible structure and the moving mass sliding on it”, **J. Sound and Vibration**, **209**, pp. 867–877.
- [11] Stancioiu D. and Ouyang H. and Mottershead J. E., (2008) “Dynamics of a beam and a moving two-axle system with separation”, **J. Mechanical Science**, **222**, pp. 1947–1956.
- [12] Lee H. P., (1995) “On the separation of a mass travelling on a beam with axial forces”, **Mechanics Research Communications**, **22**, **4**, pp. 371–376.
- [13] Cho Y. H. and Lee K. and Park Y. and Kang B. and Kim K., (2010) “Influence of contact wire pre-sag on the dynamics of pantograph-railway catenary”, **I. J. of Mechanical Science**, **52**, pp. 1471–1490.
- [14] Lee K., (2007) “Analysis of dynamic contact between overhead wire and pantograph of a high-speed electric train”, **J. of Rail and Rapid Transit**, **221**, pp. 157–166.
- [15] Cho Y. H., (2008) “Numerical simulation of the dynamic responses of railway overhead contact lines to a moving pantograph”, **J. of Sound and Vibration**, **315**, pp. 433–454.
- [16] Lee K. and Cho Y. and Chung J., (2012) “Dynamic contact analysis of a tensioned beam with a moving mass-spring system”, **J. of Sound and Vibration**, **331**, pp. 2520–2531.
- [17] Lee K. and Chung J., (2013) “Dynamic analysis of a hanger-supported beam with a moving oscillator”, **J. of Sound and Vibration**, **332**, pp. 3177–3189.

- [18] Reddy J. N., (1999), “**Energy principles and variational method in applied mechanics**”, Department mechanic and engineering, Texas am university.
- [19] Lee K. and Chung J., (2013) “Dynamic models for the contact analysis of a tensioned beam with a moving oscillator”, **Proc. of the Ins. of Mech. Enginers PartC: Journal of Mechanical Engineering Science published**, pp.1-14.
- [20] Wang L. and Hu Z. and Zhong Z., (2013) “Non-linear dynamical analysis for an axially moving beam with finite deformation”, **International Journal of Non-Linear Mechanics**, **54**, pp. 5–21.
- [21] Fryba L., (1996), “**Dynamics of Railway Bridges**”, Academi Apaha,czech Republic.
- [22] Burden R. L. and Faires J. D., (2011), “**Numerical Analysis**”, Ninth Edition, Boston, USA, ISBN-13: 978-0-538-73351-9.
- [23] G. Zimmert, (2011) “Overview of HSR in China with a Focus on the OverheadContact Line System for the Wuhan Guangzhou HSR, the Fastest Railwayin the World”, **A technical journal by Parsons Brinckerhof employees and coleagues**, **73**, pp. 37-41.
- [24] Jensen C. N., (1997), **PhD. Thesis**, “**Nonlinear systems with discrete and continuous elements**”, Technical University, IMM, Denmark.

## **Abstract**

At the research, vibration and dynamic contact between tensioned beam under moving mass-spring system have been studied. beam is flexible, homogeneous, isotropic and the length greater the cross-sectional area. Using Euler Bernoulli theory, von Karman strain and Hamilton principle equations of motion linear and nonlinear of the system have been obtained. equations of motion, the two sets of differential equations for the contact coefficients of the variable time, but the time separation are set equations coefficients constant. Using Galerkin method, ordinary differential equations have been obtained and have been solved by the forth order Runge kutta method. The contact force and deflection for tensioned beam in the case of simply supported ends, clamped ends and clamped- simply supported ends is calculated and influence of tension, speed, and spring to mass ratio, in dimensionless form for beam clamped- simply supported ends have been studied. checking for separation of a beam and mass-spring and comparison problem for linear and nonlinear obtained; endorse linear problem with F.E.M.

**Keywords:** Beam vibration, moving mass-spring system, Dynamic contact, Galerkin procedure



Shahrood University of Technology  
Faculty of Mechanical Engineering

**Dynamic contact analysis of a tensioned non linear Euler  
Bernoulli beam subject to a moving mass–spring system**

**Mohammad Heravi**

**Supervisor:**

**Dr. Ardeshir Karami Mohammady**

**2014**